



การเตรียมโครงร่างเซลล์กระดูกจากโพลิคัปโพรแลคโคน/ไฮดรอกซีอะพาไทต์

ไตรแคลเซียมฟอสเฟตและแคลเซียมซิลิเกต

Preparation of Bone Scaffolds from Polycaprolactone/Hydroxyapatite/

Tricalcium Phosphate and Calcium Silicate

สนธยา หนูเกื้อ

Sontaya Nookuar

วิทยานิพนธ์นี้เป็นส่วนหนึ่งของการศึกษาตามหลักสูตรปริญญา

วิศวกรรมศาสตรมหาบัณฑิต สาขาวิชาวิศวกรรมเคมี

มหาวิทยาลัยสงขลานครินทร์

A Thesis Submitted in Partial Fulfillment of the Requirements for the Degree of

Master of Engineering in Chemical Engineering

Prince of Songkla University

2554

ลิขสิทธิ์ของมหาวิทยาลัยสงขลานครินทร์

(1)

ชื่อวิทยานิพนธ์ การเตรียมโครงเลี้ยงเซลล์กระดูกจากพอลิคาโร่แลคโต่น/
ไฮดรอกซีอะพาไทต์/ไตรแคลเซียมฟอสเฟตและแคลเซียมซิลิเกต
ผู้เขียน นายสนธยา หนูเกื้อ
สาขาวิชา วิศวกรรมเคมี

อาจารย์ที่ปรึกษาวิทยานิพนธ์หลัก คณะกรรมการสอบ
..... ประธานกรรมการ
(ผู้ช่วยศาสตราจารย์ ดร.ลือพงศ์ แก้วศรีจันทร์) (ผู้ช่วยศาสตราจารย์ ดร.กุลชนาฎ ประเสริฐสิทธิ์)

..... กรรมการ
อาจารย์ที่ปรึกษาวิทยานิพนธ์ร่วม (ผู้ช่วยศาสตราจารย์ ดร.ลือพงศ์ แก้วศรีจันทร์)

..... กรรมการ
(ผู้ช่วยศาสตราจารย์ ดร.เจษฎี แก้วศรีจันทร์) (ผู้ช่วยศาสตราจารย์ ดร.เจษฎี แก้วศรีจันทร์)

..... กรรมการ

(ผู้ช่วยศาสตราจารย์ ดร.สุกฤทธิรา รัตนวิໄโล)

..... กรรมการ
(รองศาสตราจารย์ ดร.นุรักษ์ ฤทธิ์นาครักษ์)

บัณฑิตวิทยาลัย มหาวิทยาลัยสงขลานครินทร์ อนุมัติให้นับวิทยานิพนธ์ฉบับนี้
เป็นส่วนหนึ่งของการศึกษา ตามหลักสูตรปริญญาวิศวกรรมศาสตรบัณฑิต สาขาวิชาวิศวกรรม
เคมี

.....
(ศาสตราจารย์ ดร.อมรรัตน์ พงศ์ dara)
คณบดีบัณฑิตวิทยาลัย

| | |
|-----------------|--|
| ชื่อวิทยานิพนธ์ | การเตรียมโครงเลี้ยงเซลล์กระดูกจากโพลิคาโร่แพร์โตน/ ไฮดรอกซีอะพาไทต์/ไตรแคลเซียมฟอสเฟตและแคลเซียมซิลิเกต |
| ผู้เขียน | นายสนธยา หนูเกื้อ |
| สาขาวิชา | วิศวกรรมเคมี |
| ปีการศึกษา | 2554 |

บทคัดย่อ

ความต้องการใช้วัสดุทดแทนกระดูกในทางการแพทย์เพิ่มมากขึ้นทุกปี จากงานวิจัยที่ผ่านมาพบว่าวัสดุในรูปของแคลเซียมฟอสเฟต (calcium phosphate) โดยเฉพาะอย่างยิ่งไฮดรอกซีอะพาไทต์ (hydroxyapatite, HA) ซึ่งมีองค์ประกอบคล้ายกับองค์ประกอบแร่ธาตุของกระดูกมนุษย์ และเหมาะสมที่จะนำไปใช้ในร่างกายของสัตว์มีชีวิต จุดมุ่งหมายของการวิจัยนี้ คือผลิตโครงเลี้ยงเซลล์ชั้นใน ที่มีไฮดรอกซีอะพาไทต์ เป็นตัวไตรแคลเซียมฟอสเฟต (β -tricalcium phosphate, β -TCP) และแคลเซียมซิลิเกต (calcium silicate, CS) ละลายในสารละลายโพลิไวนิล แอลกอฮอล์ 6% (PVA) เพื่อเป็นสารเคลือบเซรามิกส์ นำไปบนที่ตัดตามขนาดที่กำหนดจุ่มเคลือบ (dipping method) และซินเทอริ่งที่อุณหภูมิสูงเพื่อเอาไขบวนออกพร้อมกับเพาสารเคลือบเซรามิกส์ ให้รวมตัวกัน นำโครงเลี้ยงเซลล์ชั้นในจุ่มเคลือบด้วยสารเคลือบโพลิเมอร์ที่ผสมโพลิคาโร่แพร์โตน (polycaprolactone, PCL) ศักยภาพของแคลเซียมซิลิเกต อุณหภูมิซินเทอริ่งและเปอร์เซ็นต์ของโพลิคาโร่แพร์โตนในสารเคลือบโพลิเมอร์ที่มีต่อลักษณะโครงสร้าง สมบัติเชิงกลและสมบัติทางชีวภาพเบื้องต้นของโครงเลี้ยงเซลล์ พบว่าค่าความพรุนจะลดลงเมื่ออุณหภูมิซินเทอริ่งสูงขึ้น แต่จะเพิ่มขึ้นเมื่อเปอร์เซ็นต์ของแคลเซียมซิลิเกตเพิ่มขึ้น การรับแรงอัดมีค่าสูงขึ้นเมื่อเปอร์เซ็นต์ของโพลิคาโร่แพร์โตนในสารเคลือบโพลิเมอร์เพิ่มขึ้น หลังจากในสารละลาย phosphate buffered saline (PBS) หลังจากได้มากรีเซ็ตเมื่อเปอร์เซ็นต์ของแคลเซียมซิลิเกตเพิ่มขึ้น

| | |
|----------------------|---|
| Thesis Title | Preparation of Bone Scaffolds from Polycaprolactone/ Hydroxyapatite/ Tricalcium Phosphate and Calcium Silicate |
| Author | Mr.Sontaya Nookuar |
| Major Program | Chemical Engineering |
| Academic Year | 2011 |

ABSTRACT

The rate of bone replacement material needs to increase more and more every year. From the past research, it was found that calcium phosphate; in particular, hydroxyapatite (HA) is suited to bring the materials to use in a living body, since it is the component similar to the mineral component of human bones. The aim of this work was to produce bone scaffolds using HA and tricalcium phosphate (TCP), supplemented with calcium silicate (CS) as scaffold cores. The ceramic cores were coated by ceramic-polycaprolactone mixture. Luffa was used as an inner template. The suspensions of HA, TCP and CS with varying weight ratios were prepared using 6% polyvinyl alcohol (PVA) as a suspending solution. To obtain ceramic cores, the luffa was dipped into the suspension and then heated at high temperatures to remove luffa fibers, while simultaneously sintering the coated ceramic. The mixed ceramic-PCL slurry was used to cover surfaces of ceramic cores. Morphology, mechanical properties, and bioactivity of the scaffolds were evaluated based on differing CS content, sintering temperature and %PCL in the coated suspension. The higher sintering temperature gave less porosity due to the formation of glassy composite. However, the higher amounts of CS increased the degree of porosity. The compressive strength of the coated scaffolds increased proportionally to %PCL. Bioactive property was observed from apatite layer that formed on scaffolds after soaked in PBS. The more CS amounts they contained, the more apatite layer formed on them.

กิตติกรรมประกาศ

ขอขอบพระคุณ ผู้ช่วยศาสตราจารย์ ดร.ลีอองศ์ แก้วศรีจันทร์ อาจารย์ที่ปรึกษาหลัก และผู้ช่วยศาสตราจารย์ ดร.เจยฎี แก้วศรีจันทร์ อาจารย์ที่ปรึกษาร่วม ที่กรุณาให้คำปรึกษา อย่างดี แนะนำแนวทางการแก้ปัญหา และให้กำลังใจในการทำวิทยานิพนธ์ตลอดมา อีกทั้งยังช่วยตรวจทานและแก้ไขวิทยานิพนธ์ให้มีความถูกต้องและสมบูรณ์

ขอขอบพระคุณ ผู้ช่วยศาสตราจารย์ ดร.กุลชนากุ๊ะ ประเสริฐสิทธิ์ และ ผู้ช่วยศาสตราจารย์ ดร.สุกฤทธิ์รา รัตนวิไล กรรมการผู้แทนคณะวิศวกรรมศาสตร์ และ รองศาสตราจารย์ ดร.นุรักษ์ กฤษดานุรักษ์ กรรมการผู้แทนบัณฑิตวิทยาลัย ที่กรุณาให้คำแนะนำและตรวจทานแก้ไขวิทยานิพนธ์ให้ถูกต้องสมบูรณ์ยิ่งขึ้น

ขอขอบพระคุณ คณะวิศวกรรมศาสตร์ บัณฑิตวิทยาลัย ที่จัดสรรเงินทุนในการวิจัย ภาควิชาวิศวกรรมเคมี คณะวิศวกรรมศาสตร์ และภาควิชาเภสัชเคมี คณะเภสัชศาสตร์ มหาวิทยาลัยสงขลานครินทร์ ที่ให้ความอนุเคราะห์ สารเคมี สถานที่และอุปกรณ์ในการปฏิบัติงานวิจัย

ขอขอบพระคุณ ภาควิชาบรรจุภัณฑ์ คณะอุตสาหกรรมเกษตร และภาควิชาพิสิกส์ คณะวิทยาศาสตร์ มหาวิทยาลัยสงขลานครินทร์ ที่อนุเคราะห์เครื่องมือวิเคราะห์และทดสอบชิ้นงานวิจัยตลอดการทำวิทยานิพนธ์

ขอกราบขอบพระคุณ คุณพ่อและคุณแม่ที่ให้กำลังใจในการทำวิทยานิพนธ์ ขอบคุณพี่ๆ เพื่อนๆ และน้องๆ ทุกคน ที่มีส่วนช่วยเหลือและเป็นกำลังใจให้การทำวิทยานิพนธ์ ในครั้งนี้เสร็จลุล่วงไปได้ด้วยดี

สนธยา หนูเกื้อ

สารบัญ

| เรื่อง | หน้า |
|--|------|
| รายการตาราง | (8) |
| รายการภาพประกอบ | (10) |
| บทที่ 1 บทนำและทฤษฎีที่เกี่ยวข้อง | |
| 1.1 บทนำต้นเรื่อง | 1 |
| 1.2 ทฤษฎีที่เกี่ยวข้อง | 3 |
| 1.2.1 กระดูก (bone) | 3 |
| 1.2.2 โครงเลี้ยงเซลล์ (scaffold) | 11 |
| 1.2.3 วัสดุทดแทนกระดูก | 12 |
| 1.2.4 วัสดุชีวภาพ (biomaterials) | 15 |
| 1.3 วัตถุประสงค์ของงานวิจัย | 23 |
| 1.4 ขอบเขตการวิจัย | 23 |
| 1.4 ประโยชน์ที่คาดว่าจะได้รับ | 23 |
| บทที่ 2 ตรวจสอบเอกสาร | 24 |
| งานวิจัยที่เกี่ยวข้อง | 24 |
| บทที่ 3 วัสดุ อุปกรณ์ และวิธีการทดลอง | 31 |
| 3.1 วัสดุและสารเคมี | 31 |
| 3.2 อุปกรณ์และเครื่องมือวิเคราะห์ | 31 |
| 3.3 วิธีการดำเนินการทดลอง | 33 |
| 3.4 การวิเคราะห์ตัวอย่าง | 37 |
| บทที่ 4 ผลการทดลองและวิจารณ์ผลการทดลอง | 38 |
| 1. ผลการทดลอง | 38 |
| 2. วิจารณ์ผลการทดลอง | 54 |
| บทที่ 5 สรุปผลและข้อเสนอแนะ | 57 |
| เอกสารอ้างอิง | 59 |

สารบัญ (ต่อ)

| เรื่อง | หน้า |
|-------------------------------------|------|
| ภาคผนวก | 63 |
| ภาคผนวก ก ทฤษฎีเพิ่มเติม | 64 |
| ภาคผนวก ข ข้อมูลการทดลองและการคำนวณ | 71 |
| ประวัติผู้เขียน | 92 |

รายการตาราง

| ตารางที่ | หน้า |
|---|------|
| 1.1 ส่วนประกอบของกระดูกเปลือกนอกในผู้ใหญ่ | 7 |
| 1.2 เทคโนโลยีที่ใช้ผลิตโครงเลี้ยงเซลล์ | 12 |
| 1.3 องค์ประกอบทางเคมีของแคลเซียมซิลิเกตชนิด wollastonite | 19 |
| 2.1 องค์ประกอบของ HA และ TCP หลังจากการซินเทอริ่งที่อุณหภูมิ $1000 - 1300^{\circ}\text{C}$ ที่เตรียมจาก HA และ TCP หลายอาทราส่วน | 25 |
| 3.1 อัตราส่วนโดยน้ำหนักของสารที่ใช้เตรียมโครงเลี้ยงเซลล์ | 34 |
| 3.2 ส่วนประกอบของสารเคลือบผสมพอลิเมอร์ที่ HA: β -TCP=2:1, (HA+ β -TCP):CS=4:1 | 36 |
| 4.1 ค่าความพรุนเฉลี่ยของโครงเลี้ยงเซลล์ซินเทอริ่งที่ 1150°C และ 1250°C | 41 |
| 4.2 ผล EDX แสดงชาตุองค์ประกอบบนพื้นผิวโครงเลี้ยงเซลล์ชั้นใน (A) สูตร HTC1, (B) สูตร HTC2, (C) สูตร HTC3 และ (D) สูตร HTC4 ซินเทอริ่งที่อุณหภูมิ 1150°C ภายหลังการแช่ในสารละลาย PBS เป็นเวลา 4 สัปดาห์ | 46 |
| 4.3 ผล EDX แสดงชาตุองค์ประกอบบนพื้นผิวโครงเลี้ยงเซลล์ชั้นใน (A) สูตร HTC1, (B) สูตร HTC2, (C) สูตร HTC3 และ (D) สูตร HTC4 ซินเทอริ่งที่อุณหภูมิ 1250°C ภายหลังการแช่ในสารละลาย PBS เป็นเวลา 4 สัปดาห์ | 47 |
| 4.4 อัตราส่วนของแคลเซียมต่อฟอสฟอรัสของโครงเลี้ยงเซลล์ที่แช่ใน สารละลาย PBS เป็นเวลา 4 สัปดาห์ | 47 |
| خ.1 ขนาดรูพรุนในโครงเลี้ยงเซลล์ HTC1, HTC2, HTC3 และ HTC4 ซินเทอริ่งที่ 1150°C เป็นเวลา 2 ชั่วโมง | 81 |
| خ.1 ขนาดรูพรุนในโครงเลี้ยงเซลล์ HTC1, HTC2, HTC3 และ HTC4 ซินเทอริ่งที่ 1250°C เป็นเวลา 2 ชั่วโมง | 82 |
| ข.3 ค่าแรงอัด (compression test) ของโครงเลี้ยงเซลล์ที่เคลือบด้วย พอลิคาโรปรแลค โตกน 30 % wt | 84 |
| ข.4 ค่าแรงอัด (compression test) ของโครงเลี้ยงเซลล์ที่เคลือบด้วย พอลิคาโรปรแลค โตกน 50 % wt | 88 |
| ข.5 ค่าแรงอัด (compression test) ของโครงเลี้ยงเซลล์ที่เคลือบด้วย พอลิคาโรปรแลค โตกน 70 % wt | 92 |

รายการตาราง (ต่อ)

| ตารางที่ | หน้า |
|---|------|
| ข.6 ค่ามูนสัมผัสของโครงเลี้ยงเซลล์ชั้นในเคลือบด้วยสารเคลือบพอลิเมอร์ที่มี PCL 30, 50 และ 70 %wt | 95 |

รายการภาพประกอบ

| ภาพประกอบที่ | หน้า |
|--|------|
| 1.1 โครงกระดูกของมนุษย์ | 5 |
| 1.2 โครงสร้างกระดูกเปลือกนอกและกระดูกร่างแท้ | 7 |
| 1.3 กระบวนการสร้างกระดูกใหม่ | 10 |
| 1.4 โครงสร้างของไซดรอกซีอะพาไทต์ | 11 |
| 1.5 โครงสร้างผลึก wallastonite | 20 |
| 1.6 สูตรโมเลกุลของโพลิค้าโปรดแลค โต่น | 22 |
| 2.1 ผล SEM ของโครงเลี้ยงเซลล์ 20%HA–80%TCP (A) ชิ้นเทอร์ริ่งที่ 1000°C 5 h, (B) ชิ้น เทอร์ริ่งที่ 1300°C 5 h | 26 |
| 2.2 ผล SEM ของโครงเลี้ยงเซลล์ 70%HA–30%TCP (A) เพาเซินเตอร์ที่ 1000°C 5 h, (B) เพาเซินเตอร์ที่ 1300°C 5 h | 26 |
| 3.1 ไขบวนที่ตัดให้ได้ขนาดและรูปทรงตามที่กำหนด | 33 |
| 3.2 การเตรียมสารแ xenon ลอยสำหรับเตรียมโครงเลี้ยงเซลล์ชั้นใน | 34 |
| 3.3 การเตรียมโครงเลี้ยงเซลล์ด้วยวิธีการจุ่มเคลือบ (Dipping Method) | 35 |
| 3.4 อุณหภูมิและเวลาที่ใช้ชิ้นเทอร์ริ่ง T=1150 °C หรือ 1250 °C | 36 |
| 3.5 โครงเลี้ยงเซลล์หลังการเคลือบด้วยสารเคลือบโพลิเมอร์ | 37 |
| 4.1 ลักษณะทางจุลภาคของโครงเลี้ยงเซลล์ที่เตรียมได้ในแต่ละส่วนประกอบ และชิ้นเทอร์ริ่งที่อุณหภูมิ 1150 °C (A) สูตร HTC1, (B) สูตร HTC2, (C) สูตร HTC3 และ (D) สูตร HTC4 วิเคราะห์ด้วยเทคนิค SEM | 39 |
| 4.2 ลักษณะทางจุลภาคของโครงเลี้ยงเซลล์ที่เตรียมได้ในแต่ละส่วนประกอบ และชิ้นเทอร์ริ่งที่อุณหภูมิ 1250 °C (A) สูตร HTC1, (B) สูตร HTC2, (C) สูตร HTC3 และ (D) สูตร HTC4 วิเคราะห์ด้วยเทคนิค SEM | 40 |
| 4.3 ลักษณะทางจุลภาคของโครงเลี้ยงเซลล์ที่เตรียมได้ในแต่ละส่วนประกอบและชิ้นเทอร์ริ่ง ที่อุณหภูมิ 1150 °C (A) สูตร HTC1, (B) สูตร HTC2, (C) สูตร HTC3 และ (D) สูตร HTC4 ภายหลังแช่ในสารละลาย PBS เป็นเวลา 2 สัปดาห์ วิเคราะห์ด้วยเทคนิค SEM | 42 |

รายการภาพประกอบ (ต่อ)

| ภาพประกอบที่ | หน้า |
|--|------|
| 4.4 ลักษณะทางจุลภาคของ โครงเลี้ยงเซลล์ที่เตรียมได้ในแต่ละส่วนประกอบและชิ้นเทอริ่ง ที่อุณหภูมิ 1150°C (A) สูตร HTC1, (B) สูตร HTC2, (C) สูตร HTC3 และ (D) สูตร HTC4 ภายหลังแช่ในสารละลาย PBS เป็นเวลา 4 สัปดาห์ วิเคราะห์ด้วยเทคนิค SEM | 43 |
| 4.5 ลักษณะทางจุลภาคของ โครงเลี้ยงเซลล์ที่เตรียมได้ในแต่ละส่วนประกอบและชิ้นเทอริ่ง ที่อุณหภูมิ 1250°C (A) สูตร HTC1, (B) สูตร HTC2, (C) สูตร HTC3 และ (D) สูตร HTC4 ภายหลังแช่ในสารละลาย PBS เป็นเวลา 2 สัปดาห์ วิเคราะห์ด้วยเทคนิค SEM | 44 |
| 4.6 ลักษณะทางจุลภาคของ โครงเลี้ยงเซลล์ที่เตรียมได้ในแต่ละส่วนประกอบและชิ้นเทอริ่ง ที่อุณหภูมิ 1250°C (A) สูตร HTC1, (B) สูตร HTC2, (C) สูตร HTC3 และ (D) สูตร HTC4 ภายหลังแช่ในสารละลาย PBS เป็นเวลา 4 สัปดาห์ วิเคราะห์ด้วยเทคนิค SEM | 45 |
| 4.7 ลักษณะทางจุลภาคของ โครงเลี้ยงเซลล์ HTC3 ที่เคลือบด้วยสารพสมโพลิค้าโปรแลค โถน (A) PCL 30 wt.%, (B) PCL 50 wt.%, (C) PCL wt.70 % ภายหลังแช่ในสารละลาย PBS เป็นเวลา 2 สัปดาห์ วิเคราะห์ด้วยเทคนิค SEM | 48 |
| 4.8 ค่าความเค้นแรงอัด (MPa) ของ โครงเลี้ยงเซลล์ชั้น ในชิ้นเทอริ่งที่ 1150°C และเคลือบด้วยสารเคลือบพอลิเมอร์ | 49 |
| 4.9 ค่าความเค้นแรงอัด (MPa) ของ โครงเลี้ยงเซลล์ชั้น ในชิ้นเทอริ่งที่ 1250°C และเคลือบด้วยสารเคลือบพอลิเมอร์ | 50 |
| 4.10 ค่ามอดูลัสของยังของ โครงเลี้ยงเซลล์ชั้น ในชิ้นเทอริ่งที่ 1150°C และเคลือบด้วยสารเคลือบพอลิเมอร์ | 50 |
| 4.11 ค่ามอดูลัสของยังของ โครงเลี้ยงเซลล์ชั้น ในชิ้นเทอริ่งที่ 1250°C และเคลือบด้วยสารเคลือบพอลิเมอร์ | 51 |
| 4.12 ค่ามุมสัมผัสของโครงเลี้ยงเซลล์ที่เคลือบด้วยสารเคลือบพอลิเมอร์ ที่มีพอลิค้าโปรแลค 30 %wt | 52 |
| 4.13 ค่ามุมสัมผัสของโครงเลี้ยงเซลล์ที่เคลือบด้วยสารเคลือบพอลิเมอร์ ที่มีพอลิค้าโปรแลค 50 %wt | 52 |
| 4.14 ค่ามุมสัมผัสของโครงเลี้ยงเซลล์ที่เคลือบด้วยสารเคลือบพอลิเมอร์ ที่มีพอลิค้าโปรแลค 70 %wt | 53 |

รายการภาพประกอบ (ต่อ)

| ภาพประกอบที่ | หน้า |
|---|------|
| 4.15 กระบวนการเกิดผลึก apatite | 55 |
| ก.1 ความสัมพันธ์ระหว่างแรงดึงกับความยาวของเส้นโลหะที่ยืดออก | 64 |
| ก.2 แรงที่ทำให้วัตถุผิดรูป (ก) แรงดึง (ข) แรงอัด (ค) แรงเฉือน | 65 |
| ก.3 ความเค็นดึง | 66 |
| ก.4 ความเค้นอัด | 66 |
| ก.5 ภาพจำลองการทดสอบแรงอัด | 67 |
| ก.6 ภาพจำลองการทำงานของกล้องจุลทรรศน์อิเล็กตรอน | 68 |
| ก.7 การเกิดรังสีเอกซ์ | 69 |
| ข.1 ผลการวิเคราะห์ SEM ของโครงสร้างหลังเผาต่อริ่งที่ 1150°C เป็นเวลา 2 ชั่วโมง | 71 |
| ข.2 ผลการวิเคราะห์ SEM ของโครงสร้างหลังเผาต่อริ่งที่ 1250°C เป็นเวลา 2 ชั่วโมง | 72 |
| ข.3 ผลการวิเคราะห์ SEM หลังแช่ในสารละลาย PBS เป็นเวลา 2 สัปดาห์ ของโครงสร้างหลังเผาต่อริ่งที่ 1150°C เป็นเวลา 2 ชั่วโมง | 73 |
| ข.4 ผลการวิเคราะห์ SEM หลังแช่ในสารละลาย PBS เป็นเวลา 2 สัปดาห์ ของโครงสร้างหลังเผาต่อริ่งที่ 1250°C เป็นเวลา 2 ชั่วโมง | 74 |
| ข.5 ผลการวิเคราะห์ SEM หลังแช่ในสารละลาย PBS เป็นเวลา 4 สัปดาห์ ของโครงสร้างหลังเผาต่อริ่งที่ 1150°C เป็นเวลา 2 ชั่วโมง | 75 |
| ข.6 ผลการวิเคราะห์ SEM หลังแช่ในสารละลาย PBS เป็นเวลา 4 สัปดาห์ ของโครงสร้างหลังเผาต่อริ่งที่ 1250°C เป็นเวลา 2 ชั่วโมง | 76 |
| ข.7 ผล EDX ของชาตุองค์ประกอบบนพื้นผิวโครงสร้างหลังเผาต่อริ่งที่อุณหภูมิ 1150°C (A) สูตร HTC1, (B) สูตร HTC2, (C) สูตร HTC3 และ (D) สูตร HTC4 ตามลำดับ | 77 |
| ข.8 ผล EDX ของชาตุองค์ประกอบบนพื้นผิวโครงสร้างหลังเผาต่อริ่งที่อุณหภูมิ 1250°C (A) สูตร HTC1, (B) สูตร HTC2, (C) สูตร HTC3 และ (D) สูตร HTC4 ตามลำดับ | 79 |
| ข.9 ขนาดครุพัฒนของโครงสร้างหลังเผาต่อริ่งที่ 1150°C เป็นเวลา 2 ชั่วโมง | 81 |

รายการภาพประกอบ (ต่อ)

| ภาพประกอบที่ | หน้า |
|--|------|
| ข.10 ขนาดพื้นของโครงเรียงเซลล์ชั้นใน HTC1, HTC2, HTC3 และ HTC4 ชิ้นเทอริงที่ 1250 °C เป็นเวลา 2 ชั่วโมง | 82 |
| ข.11 ขนาดของ Test Specimen | 83 |
| ข.12 ค่า Compressive Stress (MPa) ของโครงเรียงเซลล์ที่เคลือบด้วย สารเคลือบโพลิเมอร์ที่มี PCL 30 %wt | 85 |
| ข.13 ค่า Compressive Strain ของโครงเรียงเซลล์ที่เคลือบด้วย สารเคลือบโพลิเมอร์ที่มี PCL 30 %wt | 85 |
| ข.14 ค่า Compressive Stress (MPa) และ Compressive Strain ของโครงเรียงเซลล์ชั้นใน ชิ้นเทอริงที่ 1150 °C เคลือบด้วยสารเคลือบโพลิเมอร์ที่มี PCL 30 %wt | 86 |
| ข.15 ค่า Compressive Stress (MPa) และ Compressive Strain ของโครงเรียงเซลล์ชั้นใน ชิ้นเทอริงที่ 1250 °C เคลือบด้วยสารเคลือบโพลิเมอร์ที่มี PCL 30 %wt | 86 |
| ข.16 ค่า Young's Modulus (MPa) ของโครงเรียงเซลล์ชั้นในเคลือบด้วย สารเคลือบโพลิเมอร์ที่มี PCL 30 %wt | 87 |
| ข.17 ค่า Compressive Stress (MPa) ของโครงเรียงเซลล์ที่เคลือบด้วย สารเคลือบโพลิเมอร์ที่มี PCL 50 %wt | 89 |
| ข.18 ค่า Compressive Strain ของโครงเรียงเซลล์ที่เคลือบด้วย สารเคลือบโพลิเมอร์ที่มี PCL 50 %wt | 89 |
| ข.19 ค่า Compressive Stress (MPa) และ Compressive Strain ของโครงเรียงเซลล์ชั้นใน ชิ้นเทอริงที่ 1150 °C เคลือบด้วยสารเคลือบโพลิเมอร์ที่มี PCL 50 %wt | 90 |
| ข.20 ค่า Compressive Stress (MPa) และ Compressive Strain ของโครงเรียงเซลล์ชั้นใน ชิ้นเทอริงที่ 1250 °C เคลือบด้วยสารเคลือบโพลิเมอร์ที่มี PCL 50 %wt | 90 |
| ข.21 ค่า Young's Modulus (MPa) ของโครงเรียงเซลล์ชั้นในเคลือบด้วย สารเคลือบโพลิเมอร์ที่มี PCL 50 %wt | 91 |
| ข.22 ค่า Compressive Stress (MPa) ของโครงเรียงเซลล์ที่เคลือบด้วย สารเคลือบโพลิเมอร์ที่มี PCL 70 %wt | 93 |

รายการภาพประกอบ (ต่อ)

| ภาพประกอบที่ | หน้า |
|---|------|
| ข.23 ค่า Compressive Strain ของโครงสร้างเซลล์ที่เคลือบด้วยสารเคลือบพอลิเมอร์ที่มี PCL 70 %wt | 93 |
| ข.24 ค่า Compressive Stress (MPa) และ Compressive Strain ของโครงสร้างเซลล์ชั้นในชิ้นเทอริ่งที่ 1150 °C เคลือบด้วยสารเคลือบพอลิเมอร์ที่มี PCL 70 %wt | 94 |
| ข.25 ค่า Compressive Stress (MPa) และ Compressive Strain ของโครงสร้างเซลล์ชั้นในชิ้นเทอริ่งที่ 1250 °C เคลือบด้วยสารเคลือบพอลิเมอร์ที่มี PCL 70 %wt | 94 |
| ข.26 ค่า Young's Modulus (MPa) ของโครงสร้างเซลล์ชั้นในเคลือบด้วยสารเคลือบพอลิเมอร์ที่มี PCL 70 %wt | 95 |

บทที่ 1

บทนำ

1.1 บทนำต้นเรื่อง

เนื่องจากความประณานของคนเรา คือ การดำรงชีวิตด้วยสุขภาพที่แข็งแรงแต่เนื่องด้วยอายุ วัย เพศ อาหารการกินและลักษณะการทำงานชีวิต ย่อมก่อให้เกิดข้อบกพร่องกับอวัยวะในร่างกาย อวัยวะที่กล่าวถึงคือ กระดูก เช่น กระดูกเสียหายจากอุบัติเหตุ ความพิการตึ้งแต่กำเนิด โรคกระดูกและโรคกระดูกเสื่อม เป็นต้น ซึ่งในทางการแพทย์แล้วก็ย่อมหาวิธีที่เหมาะสมในการรักษา จุดประสงค์เพื่อให้กระดูกที่เสียหายกลับเข้าสู่สภาพที่ใกล้เคียงกับสภาพปกตินากที่สุด ให้ผู้ป่วยกลับมาดำเนินชีวิตเหมือนปกติโดยเร็วที่สุด และมีผลข้างเคียงน้อยที่สุด ซึ่งแพทย์จะพิจารณาที่ความรุนแรงของการสูญเสียกระดูกเป็นหลัก การรักษาอาจแบ่งได้ 2 วิธีหลักๆคือ การรักษาโดยไม่ต้องผ่าตัด และการรักษาโดยการผ่าตัด [1] ในปัจจุบันได้นำความรู้เกี่ยวกับวัสดุทางชีวภาพ (biomaterial) เข้ามาช่วยในการรักษาโดยการผ่าตัด โดยนำโครงเลี้ยงเซลล์กระดูก มาใช้ทดแทนหรือซ่อมแซมกระดูกที่สูญเสียหรือมีข้อบกพร่อง โครงเลี้ยงเซลล์กระดูก เป็นเทคโนโลยีใหม่ในการรักษาผู้ป่วยที่กระดูกได้รับความเสียหายเกินกว่าที่ร่างกายจะสร้างกระดูก หรือเนื้อเยื่อใหม่เข้มมาทดแทนได้ หรืออาจใช้เวลานานในการสร้างเนื้อเยื่อกระดูกใหม่ ดังนั้นการใช้วิธีการฟังโครงเลี้ยงเซลล์กระดูกไปทดแทนในบริเวณที่กระดูกเสียหายนั้นจึงเป็นการช่วยให้ร่างกายสามารถสร้างกระดูกหรือเนื้อเยื่อใหม่ได้เร็วขึ้นและจะถably ได้ลงภายใต้สภาพปกติของร่างกาย โดยที่โครงเลี้ยงเซลล์กระดูกจะเป็นเสมือนบ้านของเซลล์ [2] ให้เซลล์ต่างๆมาเกาะ และเจริญเติบโตเกิดเป็นเนื้อเยื่อใหม่ได้ และในขณะที่โครงเลี้ยงเซลล์กระดูกอยู่ภายในร่างกายมุนย์นั้นต้องพนักับสภาพความเป็นกรด ต้องรับแรงกระแทกจากการทำงานของร่างกาย การเคลื่อนไหว ดังนั้นคุณสมบัติของโครงเลี้ยงเซลล์กระดูกที่สำคัญหลักๆคือ เข้ากันได้ดีทางชีวภาพกับร่างกาย (biocompatible) สามารถดูดซึมทางชีวภาพเพื่อสร้างรูปแบบกระดูกของแต่ละอวัยวะ (bioresorbable and remodeled) ย่อยสลายตัวเองได้ (biodegradable) มีความพรุนสูงและรูช่องต่อกันอย่างต่อเนื่อง (highly interconnected porous) มีขนาดรูพรุนที่เหมาะสม (appropriate pore size) มีพื้นผิวที่เหมาะสมให้เซลล์มายึดเกาะ (surface conductive for cell attachment) มีสมบัติเชิงกลที่เหมาะสม (appropriate mechanical properties) กระตุ้นการทำงานของเซลล์ที่เกี่ยวข้องกับการสร้างกระดูก (encourage the deposition

of ECM by promoting cellular functions) และสามารถดำเนินการและนำสัญญาณระหว่างเซลล์เป็นต้น [3] สำหรับในทางการแพทย์การใช้โครงเลี้ยงเซลล์ในการรักษา มีประโยชน์ทั้งต่อตัวผู้ป่วยและแพทย์ กล่าวคือ ผู้ป่วยไม่ต้องมีค่าใช้จ่ายเพิ่มขึ้น ไม่ต้องเสียเวลากับการผ่าตัดเพิ่มเติมและไม่เสียเวลา ในขณะเดียวกันแพทย์ไม่ต้องเสียเวลาในการรักษาผู้ป่วยเพื่อทำการผ่าตัดนำเครื่องมือทางการแพทย์ออก แต่ต้องจากประโยชน์ในด้านการลดจำนวนการผ่าตัดแล้ว ประโยชน์อีกอย่างที่น่าสนใจคือ เมื่อโครงเลี้ยงเซลล์ถูกตัวไปเรื่อยๆ จะทำให้แรงที่ปกติถูกแบกรับด้วยโครงเลี้ยงเซลล์จะค่อยๆเปลี่ยนและถ่ายแรงไปยังกระดูกหรือเนื้อเยื่อที่เกิดใหม่เพิ่มมากขึ้นเรื่อยๆ ทำให้กระดูกหรือเนื้อเยื่อในบริเวณดังกล่าว มีการฟื้นสภาพได้ดีกว่าการใช้อุปกรณ์จำพวกโลหะที่มีความแข็งสูง แต่แรงไม่สามารถถ่ายเทไปยังเนื้อเยื่อโดยรอบได้ ทำให้กระดูกหรือเนื้อเยื่อมีความอ่อนแอกว่าเมื่อผ่าตัดนำโลหะนั้นออก จึงเกิดการบาดเจ็บซ้ำที่บากแพลงเดิมได้ง่าย และไม่สามารถรับแรงเชิงกล (mechanical properties) ที่เกิดขึ้นตามปกติได้

วิัฒนาการของวัสดุที่ใช้ในทางการแพทย์ ได้มีการเปลี่ยนแปลงไปอย่างมากตลอดเวลาหลายปีที่ผ่านมา ในยุคแรกของการใช้วัสดุนี้จะเป็นเรื่องของแบบพิมพ์ต่างๆ ด้านวิศวกรรม วัสดุที่ใช้คือ เหล็กไร้สนิม (stainless steel) แต่ในยุคปัจจุบันวัสดุที่ใช้ในทางการแพทย์มีถึงกว่า 40 ชนิดที่ใช้ประกอบเป็นวัสดุและเครื่องมือทางการแพทย์ วัสดุยุคแรกๆ มีลักษณะเป็นพิยางวัสดุที่ใช้แล้ว ไม่เกิดปฏิกิริยาทางเคมีในเนื้อเยื่อของร่างกายก็นำมาใช้ได้ แต่ปัจจุบันสิ่งที่สำคัญคือ ต้องดูถึงปฏิกิริยาระหว่างวัสดุและอวัยวะที่เกิดขึ้น (interfacial reaction) วัสดุที่ใช้ให้อยู่คงทนได้นานหลายปีก็เพียงพอ แต่ปัจจุบันความมีความคงทนนานไม่ต่างกว่า 20 ปี ทั้งนี้เพื่อประโยชน์สูงสุดของผู้ป่วย

ในยุคก่อนนี้การทดสอบวัสดุที่ใช้ในทางการแพทย์มีน้อย แต่ในปัจจุบันการจะได้มาซึ่งวัสดุใหม่ๆที่ใช้ได้ดีนั้นต้องผ่านการทดสอบทั้งในแล็บคลาสตร์ ในสัตว์ทดลองและทดสอบในแบบจำลองเหมือนอวัยวะของจริงในมนุษย์ เพื่อให้ได้มาซึ่งผลที่แน่นอนว่าวัสดุนั้นเข้ากันได้กับเนื้อเยื่อข้างเคียงหรือไม่ การศึกษาในห้องทดลองและในร่างกายผู้ที่เสียชีวิตใหม่ๆ เพื่อศึกษาการเปลี่ยนแปลงของผิววัสดุที่ใช้หรือการเปลี่ยนแปลงของเนื้อเยื่อระหว่างผิววัสดุและอวัยวะที่รองรับช่วยให้เกิดความเข้าใจมากขึ้นเกี่ยวกับการเปลี่ยนแปลงทางเคมี และปฏิกิริยาของอวัยวะที่มีต่อวัสดุที่ใช้

จุดประสงค์ของการใช้วัสดุทางการแพทย์คือ ใช้ทดแทนส่วนอวัยวะที่เสียไป ในขณะเดียวกันต้องเป็นวิธีการที่ปลอดภัย เชื่อถือได้ ประยุกต์ และไม่เป็นอันตรายต่อร่างกาย การที่จะ

บรรลุวัตถุประสงค์ดังกล่าว ได้ขึ้นอยู่กับความมั่นคง ความคงทนถาวรของปฏิกิริยาที่เกิดขึ้นระหว่างผิวสัมผัสกับอวัยวะที่รองรับ จึงต้องมีความเข้าใจว่าผิวสัมผัสของเนื้อเยื่อและวัสดุเปลี่ยนแปลงอย่าง甚么 ฉะนั้นจึงต้องมีการศึกษาถึงความเปลี่ยนแปลงทั้งในแง่เคมีและเซลล์ที่เกิดขึ้นเมื่อนำวัสดุไปฝังแทนอวัยวะส่วนนั้นๆ เช่น จำเป็นต้องเรียนรู้เคมีพื้นผิว (surface chemistry) การสึกกร่อนของโลหะ (metal corrosion) ปฏิกิริยาของพอลิเมอร์ (polymer reactions) และพฤติกรรมด้านพื้นผิวของเซรามิกส์และแก้ว (ceramic & glass surface behavior) ในแต่ละปีปรากฏว่ามีการใช้วัสดุทางการแพทย์ในメリการและยุโรปรวมกันสูงถึง 4-5 ล้านชิ้นจากวัสดุที่แตกต่างกันกว่า 40 ชนิด [4]

ฉะนั้นการเรียนรู้ถึงคุณสมบัติของวัสดุและปฏิกิริยาที่เกิดขึ้นกับเนื้อเยื่อ ทำให้มีแนวทางที่จะปรับปรุงคุณภาพของวัสดุทางการแพทย์ให้ดีขึ้น มีความคงทนมากขึ้น และใช้ประโยชน์ได้มากขึ้นกว่าที่เป็นอยู่ในปัจจุบัน

1.2 ทฤษฎีที่เกี่ยวข้อง

1.2.1 กระดูก (Bone) [4]

กระดูกเป็นอวัยวะสำคัญคือเป็นโครงร่างของร่างกาย โดยทำหน้าที่เป็นโครงสร้างที่เกาะของกล้ามเนื้อและเอ็น ทำให้ร่างกายสามารถเคลื่อนไหวไปได้ นอกจากนี้ยังทำหน้าที่ป้องกันอวัยวะส่วนอื่นที่มีความสำคัญ เช่น สมองและไขสันหลัง (spinal cord) ซึ่งถูกปกป้องโดยกะโหลกศีรษะ และกระดูกสันหลัง ตามลำดับ มีส่วนประกอบหลัก คือ คอลลาเจนประมาณ 20 wt.% แคลเซียมฟอสเฟตประมาณ 69 wt.% และน้ำประมาณ 9 wt.% ที่เหลือเป็นสารอินทรีย์อื่นๆ เช่น โปรตีน น้ำตาล และไขมัน เนื้อเยื่อทั้งกระดูกและกระดูกอ่อนล้วนมีการวิวัฒนาการจากเนื้อเยื่อกีบพัน (connective tissue) ชนิดพิเศษประกอบด้วย เนื้อพื้น (matrix) ที่มีความยืดหยุ่นและเหนียว การเรียงตัวของไขคอลลาเจนมีรูปแบบเฉพาะ มีการยึดเกาะของเกลือแร่ (mineralization) ต่างๆ ในเนื้อพื้นและการจัดเรียงโครงสร้างในชั้นกระดูกอย่างเหมาะสม ทำให้กระดูกมีลักษณะพิเศษคือมีน้ำหนักเบา แต่มีความแข็งแรงมากในการรับน้ำหนัก แม้จะดูเหมือนว่ากระดูกเป็นส่วนของร่างกายที่ไม่ค่อยจะมีการเปลี่ยนแปลง แต่จริงๆแล้วกระดูกแต่ละชิ้นมีการเปลี่ยนแปลงโครงสร้างอยู่ตลอดเวลา การปรับรูป (remodeling) ของกระดูกมีการดำเนินไปอย่างต่อเนื่อง เพื่อให้เหมาะสมกับหน้าที่ในแต่ละส่วนของร่างกาย นอกจากนี้ กระดูกยังถือเป็นแหล่งสะสมแคลเซียมที่สำคัญของร่างกาย และมีบทบาทอย่างมากในการช่วยสนับสนุนการควบคุมระดับแคลเซียมในเลือดให้อยู่ในระดับปกติ

1.2.1.1 ระบบโครงกระดูก [5]

มีหน้าที่ค้ำจุนร่างกายให้คงรูปร่างอยู่ได้ กระดูกของมนุษย์ทั้งร่างกายมีอยู่ทั้งหมด 206 ชิ้น แบ่งออกเป็น 2 กลุ่ม คือ

ก. กระดูกแกน (Axial Skeleton)

เป็นโครงกระดูกที่เป็นแกนกลางของร่างกาย ทำหน้าที่ค้ำจุนและป้องกันอันตรายให้แก่ อวัยวะสำคัญภายในร่างกาย มีจำนวนทั้งหมด 80 ชิ้น ประกอบด้วย

- กะโหลกศีรษะ (Skull) จำนวน 29 ชิ้น

- กระดูกสันหลัง (Vertebrate) จำนวน 26 ชิ้น แบ่งออกเป็น กระดูกหลังตรงคอ (Cervical Vertebrate) จำนวน 7 ชิ้น กระดูกสันหลังตรงอก (Thoracic Vertebrate) จำนวน 12 ชิ้น กระดูกสันหลังตรงสะเอว (Lumbar Vertebrate) จำนวน 5 ชิ้น กระดูกกระเบนเหนี้บ (Sacrum) จำนวน 1 ชิ้น และกระดูกก้นกบ (Coccyx) จำนวน 1 ชิ้น

- กระดูกซี่โครง (Ribs) จำนวน 24 ชิ้น

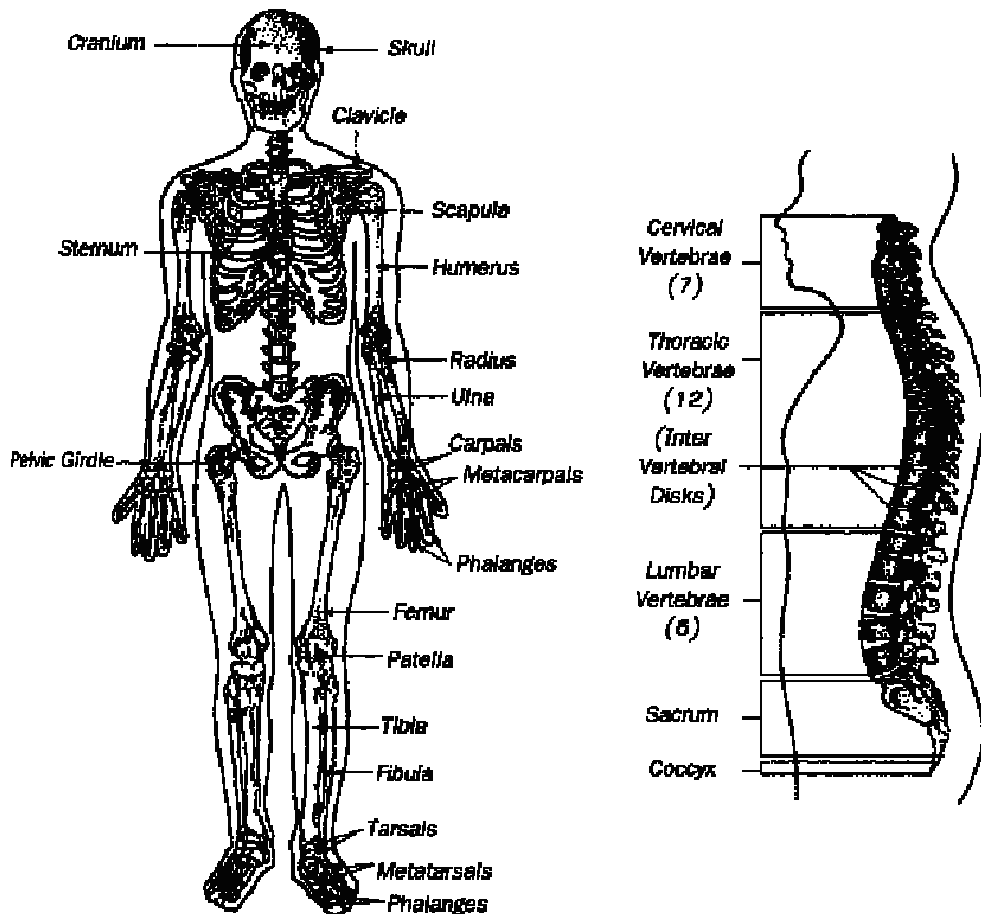
- กระดูกอก (Sternum) จำนวน 1 ชิ้น

ข. กระดูกกระยาาง (Appendicular Skeleton)

เป็นกระดูกที่เชื่อมต่อ กับกระดูกแกน มีหน้าที่ค้ำจุนและเกี่ยวข้องกับการเคลื่อนไหวของ ร่างกาย มีจำนวนทั้งหมด 126 ชิ้น ประกอบด้วย

- กระดูกแขน จำนวน 60 ชิ้น (ข้างละ 30 ชิ้น) แบ่งออกเป็น กระดูกต้นแขน (Humerus) กระดูกปลายแขนด้านนอก (Radius) กระดูกปลายแขนด้านใน (Ulna) กระดูกข้อมือ (Carpals) กระดูกฝ่ามือ (Metacarpals) และกระดูกนิ้วมือ (Phalanges)

- กระดูกขา จำนวน 60 ชิ้น (ข้างละ 30 ชิ้น) แบ่งออกเป็น กระดูกต้นขา (Femur) กระดูกสะบ้า (Patella) กระดูกหน้าแข้ง (Tibia) กระดูกน่อง (Fibula) กระดูกข้อเท้า (Tarsals) กระดูกฝ่าเท้า (Metatarsals) กระดูกนิ้วเท้า (Phalanges) กระดูกไหปลาร้า (Clavicle) กระดูกสะบัก (Scapula) และกระดูกเชิงกราน (Pelvic)



รูปที่ 1.1 โครงกระดูกของมนุษย์ [5]

เมื่อศึกษาถึงโครงสร้างของกระดูกแล้วพบว่า กระดูกของมนุษย์แบ่งออกเป็น 2 ชนิด คือ

ก. กระดูกอ่อน (Cartilage) เป็นเนื้อเยื่อเกี่ยวพันซึ่งประกอบด้วยเซลล์กระดูกอ่อน (Chondrocyte) สาระห่วงเซลล์และเส้นใยชนิดต่าง ๆ โดยทั่วไปกระดูกอ่อนจะได้รับอาหารโดยแทรกซึมผ่านสาระห่วงเซลล์มา เนื่องจากไม่มีหลอดเลือดฟ้อยมาหล่อเลี้ยงกระดูกอ่อนเลย

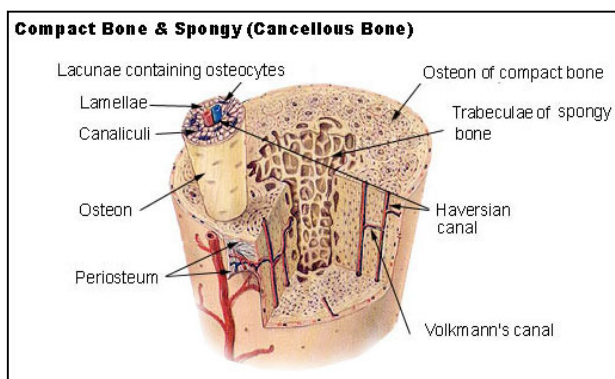
ข. กระดูก (Bone) เป็นโครงสร้างที่เจริญมาจากเนื้อเยื่อเกี่ยวพัน (Membrane Bone) หรือกระดูกอ่อน (Cartilagenous Bone) ประกอบด้วยเซลล์กระดูก (Osteocyte) เส้นใยชนิดต่าง ๆ และสาระห่วงเซลล์ ซึ่งมีผลึกไฮดรอกซิโอฟอฟาไฟต์ (Hydroxyapatite ; $\text{Ca}_{10}(\text{PO}_4)_6(\text{OH})_2$) มาเสริมทำให้กระดูกมีความแข็งแรงมากกว่ากระดูกอ่อน เมื่อผ่ากระดูกดูโครงสร้างภายในจะพบว่าเนื้อกระดูกส่วนนอกจะแน่นทึบ (Compact Bone) อาหารไม่สามารถซึมผ่านเข้าไปเลี้ยงเซลล์กระดูกได้ บริเวณนี้จึงมีหลอดเลือด

แทรกเข้าไปทางช่องที่เรียกว่า Haversian Canal โดยจะทอดไปตามความยาวของกระดูก ส่วนตรงกลางของกระดูกนั้นจะมีลักษณะ โปร่งเป็นโพรงคล้ายฟองน้ำ (Spongy Bone) ซึ่งเป็นที่อยู่ของไขกระดูก (Bone Marrow) ที่ทำหน้าที่สร้างเม็ดเลือดแดงและเม็ดเลือดขาวให้แก่ร่างกาย

1.2.1.2 โครงสร้างของกระดูก (Bone structure) [4]

กระดูกประกอบขึ้นด้วยส่วนประกอบที่เป็นสารประกอบอินทรีย์ทางชีวภาพ (bio-organic) และชนิดสารอนินทรีย์ (inorganic) ส่วนประกอบที่เป็นสารอินทรีย์ได้แก่ คอลลาเจน ไกโคล็อกโปรตีนที่ไม่มีคอลลาเจน (noncollagenous glycoproteins) ฟอสโฟโปรตีน (phosphoproteins) โปรตีโนไลปิด (proteolipids) และมิวโคโพลิแซคคาไรด์ (mucopolysaccharides) เรียกสารเหล่านี้รวมกันว่า เนื้อเยื่อกระดูก (osteoid) ซึ่งจะกลายเป็นกระดูกที่มีลักษณะแข็งในเวลาต่อมา พบว่า เนื้อเยื่อกระดูกประกอบด้วย คอลลาเจนประมาณ 95% ที่เหลือเป็นส่วนของเซลล์กระดูก ส่วนประกอบที่เป็นสารอนินทรีย์หรือเกลือแร่นั้น ส่วนใหญ่เป็นไฮดรอกซิโอฟอฟายาไท์ (hydroxyapatite, $\text{Ca}_{10}(\text{PO}_4)_6(\text{OH})_2$) ซึ่งมีผลึกขนาดใหญ่ไม่ละลายน้ำ โดยในระยะแรกจะฝังตัวอยู่ในส่วนพื้นสารอินทรีย์ ต่อมากายหลังจะแปรสภาพเป็นผลึกของแคลเซียมฟอสเฟต นอกจากนี้ในกระดูกยังมีชาตุและไออกอนอื่นๆด้วย เช่น คาร์บอน แมกนีเซียม โซเดียม แคลเซียมและฟลูออไรด์ อัตราจำนวนหนึ่งด้วย และมีความสำคัญต่อเมแทบูลิซึมของร่างกาย

กระดูกแบ่งออกได้ 2 ชนิด คือกระดูกเปลือกนอก (cortex) หรือกระดูกแน่น (compact bone) และกระดูกร่างแท้ (cancellous) หรือกระดูกคนเนื้อยึดต่อ (trabecular bone) กระดูกเปลือกนอกมีปริมาณสูงถึง 80 เปอร์เซ็นต์ ห่อหุ้มกระดูกร่างแท้ซึ่งมีความแข็งแรงน้อย (รูปที่ 1.2)



รูปที่ 1.2 โครงสร้างกระดูกเปลือกนกอและกระดูกร่างแห้ง [6]

1.2.1.3 ส่วนประกอบของส่วนพื้นกระดูก (Composition of Bone Matrix) [4]

คุณสมบัติพิเศษด้านเชิงกลของกระดูกขึ้นอยู่กับองค์ประกอบที่เป็นส่วนพื้นกระดูกโดยส่วนที่เป็นสารประกอบ (composite material) ประกอบด้วยสารอนินทรีย์ สารอินทรีย์ ส่วนที่เป็นสารอนินทรีย์มีน้ำหนักเปียก (wet weight) ประมาณ 70% ของทั้งหมด และส่วนที่เป็นอนินทรีย์ประมาณ 22% ของน้ำหนักเปียก ที่เหลือเป็นน้ำ 8–9% สารอินทรีย์ส่วนใหญ่เป็นคอลลาเจน ทำหน้าที่ช่วยด้านแรงดึง (tension) สารอนินทรีย์หรือเกลือแร่นั้นช่วยด้านแรงอัดกด (compression) พบว่ากระดูกที่ถูกอาเกลือแร่หรือสารอนินทรีย์ออกไประดม (demineralized) มีลักษณะเหมือน เอ็นยิด (tendon) หรือเอ็นจิง (ligament) ที่บิดงอได้แต่แตกหักยาก ถ้ากระดูกขาดส่วนพื้น อินทรีย์จะมีความerasible และหักง่าย ลักษณะของกระดูกที่มีสารพื้นชนิดต่างๆนี้ทำให้กระดูกแต่ละส่วนมีความแตกต่างกันทั้งทางกายภาพและชีวภาพ (ตารางที่ 1.1)

ตาราง 1.1 ส่วนประกอบของกระดูกเปลือกนอกในผู้ใหญ่ [4]

| | Weight (dry) | Weight (wet) |
|------------------|-----------------|-----------------|
| Collagen | 18.5% | 15.5% |
| Mineral | 70.0% | 59.9% |
| Ground Substance | 3.3% | 2.8% |

กระดูกมีความแตกต่างจากวัสดุทางด้านวิศวกรรม ในเรื่องที่ตัวกระดูกสามารถเปลี่ยนแปลงคุณสมบัติและรูปร่าง เพื่อตอบสนองการเปลี่ยนแปลงจากแรงที่มากระทำได้มีความแข็งแรงซึ่งเป็นผลจากการสะสมเกลือแร่ ในส่วนคอลลาเจน ดังนั้น กระดูกจึงทำหน้าที่เป็นโครงสร้างรับน้ำหนักและป้องกันร่างกายในสภาวะเลี้ยงลูกด้วยนม เป็นที่เก็บเกลือแร่ต่างๆ (mineral reservoir) ที่มีความสำคัญในการดำรงชีวิต รักษาสมดุลของไอออนในร่างกาย เป็นต้น

1.2.1.4 เซลล์กระดูก (Bone Cells) [5]

ในสภาวะปกติ osteocyte เป็นเซลล์ชนิดเดียวที่พบในเนื้อเยื่อกระดูก แต่ในสภาวะที่มีการสร้างหรือซ่อมแซมกระดูก สามารถพบเซลล์กระดูก 4 ชนิด ได้แก่ osteogenic cells, osteoblasts, osteocytes และ osteoclasts

- ก. **osteogenic cell** เป็นเซลล์ต้นกำเนิดเซลล์กระดูก จะอยู่บริเวณขอบเนื้อกระดูก สามารถแบ่งตัวเพิ่มจำนวนและเจริญพัฒนาเป็น osteoblast cell
- ข. **osteoblast cell** เป็นเซลล์สร้างเนื้อกระดูกที่เจริญพัฒนามาจากเซลล์ต้นกำเนิดเซลล์กระดูก เซลล์นี้จะอยู่บริเวณขอบของเนื้อกระดูก และสร้างโปรตีนที่เรียกว่า ออสติ ออยด์ (osteoid) ซึ่งโปรตีนดังกล่าวจะมีสารอนินทรีย์มาสะสมและถ่ายเปลี่ยนเป็นเนื้อกระดูก และยังมีหน้าที่เกี่ยวข้องกับกระบวนการสะสมเคลือร์ (mineralization) ของกระดูก เซลล์จะผลิตเอนไซม์ alkaline phosphatase เพื่อดึงฟอสฟatemาสะสมที่คอลลาเจน นอก จากนี้ osteoblast cell ยังเกี่ยวข้องกับกระบวนการสร้างกระดูก เมื่อถูกกระตุ้นด้วย parathyroid hormone ซึ่งจะกระตุ้นการสร้าง osteoclast-stimulating factor ไปกระตุ้นการเจริญเติบโตและการทำงานของ osteoclast cell
- ค. **osteocyte cell** เป็นเซลล์ที่เจริญต่อมากจาก osteoblast cell ที่ได้สร้างเนื้อกระดูกจนล้อมรอบตัวเซลล์ และเป็นเซลล์กระดูกที่เจริญเติบโตแล้ว รอบๆ เซลล์จะเป็นช่องที่เรียกว่า ลาคูนา (lacuna) และแต่ละลาคูนาจะติดต่อกันด้วยช่องทางผ่านเล็กๆ ที่เรียกว่า คานาลิกุไล (canalliculi) ซึ่งทำให้แต่ละ osteocyte cell การสื่อสารติดต่อกันได้ออกซิเจนและสารอาหารจะถูกลำเลียงจากหลอดเลือดภายในช่องหัวเรือเชื่อมเข้ามายังแต่ละเซลล์ผ่านทางช่องนี้ แม้ osteocyte cell จะเป็นเซลล์กระดูกที่โตเต็มที่แล้ว แต่ยังมีหน้าที่ในการควบคุมระดับแคลเซียมและสารนอกเซลล์อีกด้วย
- ก. **osteoclast cell** เป็นเซลล์ขนาดใหญ่ที่มีหลายนิวเคลียส เจริญมาจากเซลล์ต้นกำเนิดในไชต์ (monocyte stem cells) มีหน้าที่สำคัญในกระบวนการก่อรูปกระดูก (bone remodeling) โดยการสร้างเอนไซม์แอซิดฟอสฟเเทส (acid phosphatase) ที่เร่งการกัดกร่อนเนื้อกระดูก และทำให้กระดูกมีรูปทรงที่เหมาะสม นอกจากนี้ กระบวนการดังกล่าวจะทำให้มีการนำแคลเซียมออกสู่กระดูกแล้วอีกด้วย

1.2.1.5 Bone Formation [5]

หมายถึงกระบวนการสร้างกระดูก มี 2 ลักษณะ คือ

- ก. **Intramembranous ossification** วิธีนี้กระดูกเจริญจากเซลล์ต้นกำเนิด mesenchyme โดยตรง
- ข. **Endochondral ossification** วิธีนี้กระดูกเจริญแทนที่กระดูกอ่อน

กระดูกที่ได้จากการเจริญทั้งสองวิธีนี้ มีลักษณะทางจุลทรรศน์ไม่แตกต่างกันและมีกระบวนการสร้างคล้ายกันคือ osteoblast cell ทำหน้าที่สร้างเนื้อพื้นอินทรีย์ ต่อมา มีสารอนินทรีย์และเกลือแร่เข้ามาสะสม เรียกกระบวนการนี้ว่า mineralization หรือ calcification ทำให้กระดูกมีความแข็ง

บริเวณที่มีการสร้างกระดูกเรียกว่า ossification center ส่วนใหญ่มีหลายแห่งและเกิดในเวลาแตกต่างกัน บริเวณแรกที่เกิดการสร้างกระดูกเรียกว่า primary ossification center กระดูกที่สร้างขึ้นในระยะแรกจะเป็นชนิด woven bone ต่อมา มีกระบวนการปรับแต่งและเปลี่ยนเป็น mature bone เรียกกระบวนการนี้ว่า bone remodeling ดังนั้นการเจริญของกระดูกจะพบว่ากระบวนการสร้างและการทำลายเกิดขึ้นพร้อมกัน

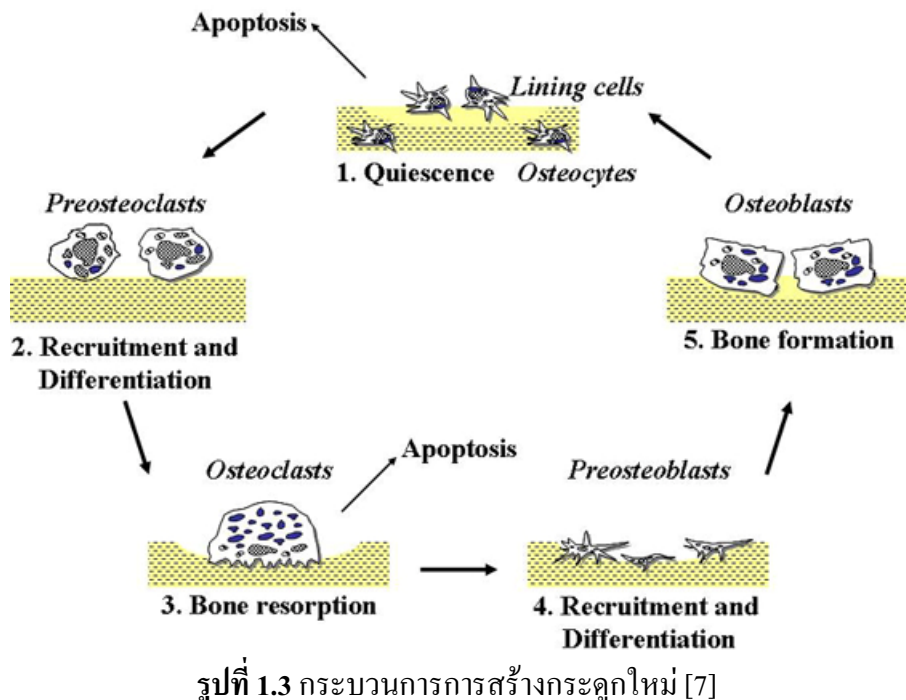
กระดูกในร่างกายส่วนใหญ่สร้างด้วยกระบวนการ intramembranous bone formation ส่วนกระดูกที่สร้างด้วยวิธี endochondral bone formation พบริเวณ epiphysis และที่ spongy bone ของ diaphysis

1.2.1.6 Growth และ modeling [5]

เป็นกระบวนการที่เกิดขึ้นในวัยเด็ก เพื่อเพิ่มขนาดของกระดูกโดยเพิ่มทั้งความยาวและความหนาหรือเส้นผ่าศูนย์กลางของกระดูก กระบวนการเหล่านี้เกิดขึ้นโดยมี osteoclast cell ทำหน้าที่สร้างกระดูก (deposit) ขณะเดียวกันก็มี osteoclast cell ทำหน้าที่ทำลายกระดูก (resorption) ทั้งนี้ การเจริญของกระดูกขึ้นกับกรรมพันธุ์ เชื้อชาติ ชอร์โนน และปัจจัยจากภายนอก เช่น การออกกำลังและอาหาร

1.2.1.7 Remodeling [5]

เป็นกระบวนการที่เกิดขึ้นตลอดชีวิต เพื่อปรับแต่งโครงสร้างของกระดูกให้เหมาะสมกับหน้าที่และเพื่อตอบสนองต่อสภาพแวดล้อม นอกจากนี้ยังทำหน้าที่ปรับระดับแคลเซียมในเลือด เพื่อให้อยู่ในระดับสมดุล (calcium homeostasis) โดยกระบวนการย่อยสลายกระดูกโดย osteoclast cell และการสร้างกระดูกโดย osteoblast cell จะเกิดขึ้นในบริเวณเดียวกันภายในหน่วยการปรับแต่งกระดูก เป็นกระบวนการที่ประกอบด้วยขั้นตอนการกระตุ้น (เรียก activation) การย่อยสลายกระดูกด้วย osteoclast cell (เรียก resorption) และการสร้างกระดูกด้วย osteoblast cell (เรียก formation) ตามลำดับ ดังรูปที่ 1.3



รูปที่ 1.3 กระบวนการสร้างกระดูกใหม่ [7]

ความสามารถในการเปลี่ยนแปลงรูปร่างของกระดูกเพื่อตอบสนองต่อสภาพแวดล้อม เห็นได้ชัดจากตัวอย่างที่ทันตแพทย์จัดฟันซึ่งพยาบาลจัดให้ฟันซึ่งเรียงอย่างไม่ถูกต้อง ให้เคลื่อนไปเรียงอย่างถูกต้อง โดยการรังหรือดึงตัวฟันด้วยวัสดุจัดฟัน ทำให้กระดูกเบ้าฟัน (alveolar bone) ด้านที่มีฟันกดอยู่ (pressure side) เกิดการสลายของกระดูก ส่วนด้านตรงข้าม (เป็น tension side) จะมีการสร้างกระดูกขึ้นใหม่เกิดเบ้ากระดูกฟัน (alveolar socket) ที่มีขนาดพอเหมาะสมกับตำแหน่งใหม่ของรากฟันที่ฝังอยู่

ดังได้กล่าวแล้ว การเปลี่ยนแปลงของกระดูกเกิดได้ตลอดชีวิต แต่อัตราการสร้างกระดูกในผู้ใหญ่จะเกิดช้ากว่าในเด็ก ผู้สูงอายุจึงมีโอกาสเกิดภาวะกระดูกพรุน (osteoporosis) ได้ง่าย ทั้งนี้เนื่องจากความสามารถในการสร้างกระดูกลดลง ทำให้ช่องว่างในกระดูกกว้างขึ้นตามอายุ และเนื้อกระดูกบางลง นอกจากนี้ผู้สูงอายุยังมีความสามารถในการสร้างสารพื้นอินทรีย์ลดลงด้วย ทำให้กระดูกเปราะและหักได้ง่าย

1.2.1.8 การซ่อมแซมกระดูก [5]

เมื่อกระดูกหัก จะมีเลือดออกเนื่องจากการฉีกขาดของหลอดเลือดตามมา เลือดจะแข็งตัวและเซลล์ fibroblast, macrophage และ neutrophilic granulocyte เข้ามาช่วยกำจัดเศษเนื้อเยื่อหลังจากนั้น dense connective tissue จะแทรกเข้าไปใน granulation tissue และเจริญเป็น cartilage callus ทำหน้าที่ช่วยเชื่อมปลายกระดูกที่หัก ต่อมาก็ osteoblast cell เจริญจากเซลล์ใน periosteum

และ endosteum ทำหน้าที่สร้างกระดูกแทนที่ cartilage ในขณะเดียวกันก็มี osteoclast cell ช่วย reabsorb ด้วย จึงเกิดกระบวนการ remodeling จนกระดูกเชื่อมต่อ กันและมีรูปร่างเหมือนเดิม ประสิทธิภาพของการซ่อมแซมกระดูกขึ้นอยู่กับ การมีเลือดมาเลี้ยงเซลล์อย่างเพียงพอ ประสิทธิภาพของเซลล์ต้นกำเนิดในการสร้างกระดูกใหม่ และการมีวิตามินและแร่ธาตุเพียงพอ

1.2.1.9 สมบัติเชิงกลของกระดูก [8]

ส่วนประกอบของกระดูกที่เป็นสารอินทรีย์ (โดยมากจะเป็นคอลลาเจน) จะมีความเหนียวสูงค่ามอคูลัสต่ำ และมีสมบัติอื่นๆ ที่เป็นลักษณะเฉพาะของพอลิเมอร์ และส่วนประกอบที่เป็นสารอนินทรีย์ ซึ่งเป็นไฮดรอกซีอะพาไทต์ส่วนใหญ่จะทำให้กระดูกมีความแข็งแรงมาก ทำให้กระดูกเป็นวัสดุพสมของเซรามิกส์และสารอินทรีย์ ดังนั้นกระดูกจึงมีความเหนียวสูงและค่ามอคูลัสสัมพัทธ์สูง โดยที่ความเหนียวของกระดูกไม่ได้มาจากคอลลาเจนเท่านั้น แต่เกิดจากโครงสร้างจุลภาคของไฟเบอร์ที่มีความลับซับซ้อนด้วย

1.2.2 โครงเลี้ยงเซลล์ (Scaffold)

ในงานทางด้านวิศวกรรมเนื้อเยื่อกระดูก ส่วนประกอบสำคัญที่ใช้เป็นโครงเลี้ยงเซลล์เพื่อทำการเพาะเลี้ยงเซลล์ให้เป็นเนื้อเยื่อบนโครงสร้างนั้น ส่วนมากผลิตมาจากวัสดุที่สามารถย่อยสลายได้ทางชีวภาพ [9] และต้องสามารถขึ้นรูปเป็นโครงสร้าง 3 มิติที่มีโครงสร้างใกล้เคียงกับอวัยวะที่จะนำไปใช้ทดแทน [10] และเมื่อเซลล์ที่ทำการเลี้ยง (culture) เจริญเติบโตและเพิ่มจำนวน เซลล์จนมีปริมาณมากพอ จึงทำการเลี้ยงเซลล์เหล่านี้บนโครงเลี้ยงเซลล์ ให้เจริญเติบโตบนโครงเลี้ยงเซลล์ที่ได้ออกแบบไว้แล้ว จากนั้นจึงทำการใส่เข้าไปแทนที่อวัยวะที่ต้องการ และปล่อยให้กลุ่มเซลล์ที่อยู่บนโครงเลี้ยงเซลล์เจริญเติบโตเป็นเนื้อเยื่อใหม่ทดแทนเนื้อเยื่อเดิม ในขณะที่โครงเลี้ยงเซลล์จะถูกย่อยสลายไป [11] สิ่งที่สำคัญที่สุดคือ โครงเลี้ยงเซลล์ต้องมีความเหมาะสมทางชีวภาพ (biocompatibility) คือสามารถใส่เข้าในร่างกายโดยไม่เกิดการต่อต้านจากระบบภูมิคุ้มกัน และต้องไม่กระตุนภูมิคุ้มกันของร่างกาย [12]

โครงเลี้ยงเซลล์ต้องมีคุณสมบัติที่แข็งแรงและคงทนต่อแรง (load) ที่ได้รับ โดยไม่เกิดรอยร้าวหรือเปลี่ยนแปลงโครงสร้าง วัสดุที่นำมาใช้เตรียมโครงเลี้ยงเซลล์จึงต้องมีแรงยึดเหนี่ยวภายในและระหว่างโมเลกุล (intramolecular and intermolecular bonding) ที่มากพอ อย่างไรก็ตาม วัสดุเหล่านี้จะต้องสามารถย่อยสลายได้ภายในระยะเวลาที่กำหนด [12]

ในการผลิตเนื้อเยื่อเพื่อทำการปลูกถ่ายนั้น ประเด็นสำคัญที่ไม่ควรมองข้ามคือ เรื่องของที่ว่างที่ใช้ในกระบวนการต่างๆ ของเซลล์ เช่น การแลกเปลี่ยนกําชและขับถ่ายของเสีย การ

หายใจ การกินอาหาร เป็นต้น การแลกเปลี่ยนสารต่างๆจะใช้สื่อกลางคือ เลือด เนื้องจากเซลล์มีขนาดประมาณ 100 ไมครอน [13] ดังนั้นการสร้างโครงเลี้ยงเซลล์ที่มีขนาดของรูพรุนต่ำ จึงต้องคำนึงถึงเรื่องนี้ด้วย

ปัจจุบันมีเทคโนโลยีที่ใช้ผลิตโครงเลี้ยงเซลล์ให้มีรูปร่างโครงสร้าง และรูปแบบตามที่ต้องการ รวมทั้งสามารถกำหนดคุณสมบัติทางกายภาพของพื้นที่ผิว ความพรุนและขนาดรูพรุนภายใต้โครงเลี้ยงเซลล์ได้ ซึ่งการผลิตโครงเลี้ยงเซลล์มีหลายวิธีแตกต่างกัน ดังตัวอย่างแสดงในตารางที่ 1.2

ตารางที่ 1.2 เทคโนโลยีที่ใช้ผลิตโครงเลี้ยงเซลล์ [13]

| เทคโนโลยี | ขนาดของรูพรุน (μm) | ความพรุน (%) |
|--|---------------------------------|--------------|
| การหล่อ (Solvent casting) | 30 - 300 | 20 - 50 |
| เยื่อแผ่นบางแบบช้อนทับ (Membrane lamination) | 30 - 300 | < 85 |
| การหลอม (Melt-molding) | 50 - 500 | < 80 |
| การรีด (Extrusion) | < 100 | < 84 |
| การระเหิดแห้ง (Freeze dry) | < 200 | < 97 |
| ของไหกหนึ่งวิกฤติ (Supercritical-fluid) | < 100 | 10 - 30 |

สารต่างๆ ที่นำมาใช้ผลิตโครงเลี้ยงเซลล์ เพื่อใช้ในงานทางด้านวิศวกรรมเนื้อเยื่อกระดูกในยุคแรกๆ คือ วัสดุประกอบแต่งของคอลลาเจนกับไกลโคซามิโนไกลแคน หลังจากนั้นได้พัฒนามาใช้ injectable calcium alginate matrices และใช้ fibrin glue ใน การผลิตโครงเลี้ยงเซลล์ซึ่งวัสดุเหล่านี้มีข้อจำกัดในการใช้งาน ก่อร่องคือ ความแข็งแรงน้อย ระยะเวลาในการสลายตัวเร็ว แต่สามารถเข้ากันได้ทางชีวภาพ เป็นต้น [9]

1.2.3 วัสดุทดแทนกระดูก [14]

ถึงแม้ว่ากระดูกปลูก (Bone graft) คือ กระดูกที่ตัดออกมากจากอวัยวะส่วนอื่นของผู้ป่วย (Autograft bone) หรือกระดูกที่ได้รับบริจาคจากผู้อื่น (Allograft bone) หรือกระดูกของสัตว์เลี้ยงลูกด้วยนม เช่น กระดูกวัว (Xenograft bone) จะเป็นที่ยอมรับกันว่าสามารถใช้เพื่อแก้ปัญหาการเชื่อมติดของกระดูก (Bone union) หรือใช้เพื่อเติมลงในส่วนที่บกพร่องของกระดูก (Bone defect) ตาม แต่ปัญหาที่เกิดขึ้นนักจะเป็นกรณีที่ต้องใช้กระดูกปลูกจำนวนมากหรือมีชิ้นขนาดใหญ่

โดยเดพาะการซ่อนส่วนที่หายไปของกระดูก ทำให้ไม่สามารถหา Autograft ที่มีขนาดเหมาะสมมาใช้ได้อีกต่อไปเพียงพอ การใช้ Allograft พอที่จะช่วยแก้ปัญหาเรื่องปริมาณและขนาดได้ แต่ยังมีปัญหาเกี่ยวกับปฏิกิริยาทางระบบภูมิคุ้มกันในผู้รับ ส่วน Xenograft bone จะทำให้ผู้รับเสี่ยงต่อการติดเชื้อ และเกิดปฏิกิริยาต่อต้านจากระบบภูมิคุ้มกันของผู้รับ และปัญหาอีกหลายประการที่เกิดจากการใช้โลหะในร่างกายมนุษย์ ทำให้มีความพยายามในการแก้ปัญหาเหล่านี้ แนวทางหนึ่งคือ ศึกษาและพัฒนาวัสดุทดแทนกระดูก ทั้งที่เป็นสารธรรมชาติ และสารสังเคราะห์ โดยพยายามที่จะให้มีโครงสร้างและสมบัติคล้ายกับกระดูกมากที่สุด

1.2.3.1 คุณสมบัติของวัสดุทดแทนกระดูก [15]

สารทดแทนกระดูกจำนวนมากที่มีการใช้อยู่ในปัจจุบันหรือกำลังมีการพัฒนาขึ้นมาใหม่ ล้วนแต่พยายามที่จะทำให้มีคุณสมบัติที่ดี ดังนี้คือ

- ก. **Biocompatibility** หมายถึงความสามารถที่เข้ากันได้กับเนื้อเยื่อของร่างกาย ซึ่งจะทำให้มีการเจริญของเนื้อเยื่อกระดูกเข้าไปภายในวัสดุทดแทนกระดูก จนเป็นเนื้อเดียวกัน โดยไม่ก่อให้เกิดปฏิกิริยาที่จะเป็นผลให้มีการสร้างเนื้อเยื่อไฟเบอร์รอบๆ วัสดุ
- ข. **Biodegradability** หมายถึงความสามารถที่วัสดุค่อยๆ ลายตัวโดยกลไกต่างๆ ภายในร่างกาย ซึ่งจะทำให้สารทดแทนกระดูกที่ใช้ค่อยๆ ถูกกำจัดออกไปจากตำแหน่งที่ใส่หลังจากที่มีการเจริญของเนื้อเยื่อกระดูกเข้าไปแทนที่แล้ว จนในที่สุดเมื่อหมดหน้าที่แล้ว สารทดแทนกระดูกที่ดีควรจะสามารถถูกร่างกายลายและกำจัดออกไปจนหมด จุดสำคัญที่น่าสนใจคือ อัตราการลายตัวของสารทดแทนกระดูก จะต้องสอดคล้องกับอัตราการเจริญของเนื้อเยื่อกระดูกที่เข้าไปแทนที่ เพราะถ้าหากการลายตัวเกิดขึ้นเร็วเกินไป จะทำให้บริเวณที่ใส่สารทดแทนกระดูกขาดความแข็งแรง และเกิดการแตกหักได้เมื่อได้รับแรงกระทำ เนื่องจากการเจริญของกระดูกยังเข้าไปไม่มากพอที่จะทำหน้าที่แทน แต่ถ้าการลายตัวเกิดขึ้นช้าหรือไม่มีการลายตัว สารทดแทนกระดูกนั้นก็จะเป็นตัวขัดขวางการเจริญของเนื้อเยื่อกระดูก ทำให้เนื้อเยื่อกระดูกไม่สามารถเจริญเข้าไปแทนที่ได้ ซึ่งจะมีผลต่อชีวภาพศาสตร์ของกระดูกส่วนนั้นในระยะยาว

- ค. ความแข็งแรง เนื่องจากวัสดุทดแทนกระดูกส่วนใหญ่ถูกพัฒนาเพื่อแก้ปัญหา ส่วนของกระดูกที่บกพร่องไป การใช้วัสดุทดแทนต่างชนิดกัน จึงต้อง พิจารณาถึงความแข็งแรงของวัสดุที่ใช้ด้วย โดยเฉพาะเมื่อใช้ขนาดใหญ่หรือ ใช้กับกระดูกที่ต้องรับน้ำหนัก สารทดแทนกระดูกที่มีคุณสมบัติอื่นๆ ดี แต่มี ความประภักษ์เมื่อจำจัดในการนำไปใช้ เมื่อเทียบกับสารอื่นที่มีความแข็งแรง ของโครงสร้างดีกว่า
๔. **Osteoinductive capabilities** หมายถึง ความสามารถในการเหนี่ยวนำให้ เนื้อเยื่อกระดูก โดยรอบตระหง่านที่รับ (Recipient site) มีการเจริญเข้าไป ในวัสดุทดแทนกระดูกที่ใช้ โดยความสามารถนี้เป็นจุดสำคัญจุดหนึ่งที่เป็นที่ ต้องการ และมีความพยายามในการพัฒนาให้วัสดุทดแทนกระดูกให้มี คุณสมบัติข้อนี้ และเป็นคุณสมบัติที่สำคัญที่ทำให้กระดูก Autograft ดีกว่า กระดูกปลูกชนิดอื่นๆ และวัสดุทดแทนกระดูกทั้งหลายที่มีอยู่ ความพยายาม ที่จะทำให้สารทดแทนกระดูกมีความสามารถในการเหนี่ยวนำเนื้อเยื่อกระดูก ยังไม่ประสบผลสำเร็จเท่าที่ควร จึงเป็นเหตุผลที่ต้องมีการผสมส่วนประกอบ อื่นๆ เข้ากับวัสดุทดแทนกระดูก เพื่อให้มีความสามารถในข้อนี้ เช่น การใช้ Bone morphogenetic protein (BMP) หรือแม้แต่การใช้ไขกระดูกหรือ ส่วนประกอบบางส่วนจากไขกระดูกหรือเลือดของผู้รับ เป็นต้น
๕. **Bioinert** คือ เป็นวัสดุที่มีความเนื้อย ไม่ทำปฏิกิริยา กับสารอื่น โดยง่าย คุณสมบัติข้อนี้จะทำให้สามารถผสมสารอื่นที่จำเป็น เช่น ยาปฏิชีวนะ เข้ากับ สารทดแทนกระดูกที่จะใช้ได้ โดยไม่เกิดปฏิกิริยาต่อ กัน
๖. ง่ายต่อการเตรียม สามารถทำรูปแบบหรือขนาด ได้ตามความต้องการ ได้ง่าย และสามารถเก็บไว้ใช้ได้นาน เป็นคุณสมบัติพลิกย่อยที่บางครั้งทำให้มีผลต่อ การเลือกใช้วัสดุทดแทนกระดูกบางชนิด

1.2.3.2 หน้าที่ของวัสดุทดแทนกระดูก [8]

วัสดุทดแทนกระดูก ถูกนำมาใช้โดยทำหน้าที่เป็นโครงสร้างที่เอื้อต่อการเจริญเข้า ไปของเนื้อเยื่อกระดูก หรืออาจกล่าวได้ว่าทำหน้าที่เป็นสื่อนำกระดูก เช่นเดียวกับการทำหน้าที่ของ กระดูกปลูกโดยทั่วไป หากมองที่หน้าที่ส่วนนี้จะเห็นได้ว่า วัสดุทดแทนกระดูกที่มีโครงสร้างเป็นรู พรุนน่าจะเหมาะสมกว่าวัสดุที่มีเนื้อแน่น แต่หน้าที่สำคัญอีกประการหนึ่งของวัสดุทดแทนกระดูก

กีอการให้ความแข็งแรงแก่กระดูกส่วนที่ขาดหายไป ขณะนั้นหากจะเน้นให้เป็นวัสดุที่มีความแข็งแรง ก็จำเป็นจะต้องทำให้มีเนื้อแน่นพอสมควร

จะเห็นได้ว่า ความยากของการพัฒนาวัสดุทดแทนกระดูก นอกจากจะอยู่ที่การค้นหาสารที่มีคุณสมบัติดังกล่าวแล้ว ยังอยู่ที่ขั้นตอนการผลิตหรือสังเคราะห์เพื่อให้ได้โครงสร้างที่เอื้อต่อการเจริญเข้าไปของเนื้อเยื่อกระดูกและมีความแข็งแรงเหมาะสมกับการนำไปใช้งานต่อไป

1.2.4 วัสดุชีวภาพ (Biomaterials)

1.2.4.1 เซรามิกส์ (Ceramics) [16]

แก้ว (Glass) มีความสำคัญในทางการแพทย์ในอดีต เนื่องจากนำมาใช้ทำเครื่องมือเครื่องใช้ภาชนะใส่สารเคมี เทอร์โมมิเตอร์ เป็นต้น และเป็นที่นิยมอย่างกว้างขวาง ความก้าวหน้าของการวิจัยทำให้การใช้ประโยชน์จากแก้วและเซรามิกส์ขยายกว้างขึ้น เช่น ใช้แก้วเป็นตัวบรรจุและนำส่ง enzymes, antibodies, antigens และ hormones เนื่องจากเซรามิกส์เป็นวัสดุที่เนื้อเยื่อต่อปฏิกิริยาเคมี ต้านทานแรงกดดันฯ ได้ทนต่อการกัดกร่อน จึงได้นำมาใช้ในผู้ป่วย ที่เป็นโรคเกี่ยวกับกระดูกและข้อมากขึ้น

เซรามิกส์เป็นวัสดุที่ประกอบด้วยชาตุที่เป็นโลหะและอลูมิเนียมกันด้วยพันธะไอออนิก (ionic bond) และพันธะโควาเลนซ์ (covalent bond) ซึ่งการจับกันเช่นนี้ทำให้ไม่มีอิเล็กตรอนอิสระเหลืออยู่ เซรามิกส์จึงเป็นวัสดุที่นำไฟฟ้าและความร้อนได้ไม่ดี มีความโปร่งแสงแต่ค่อนข้างจะเปราะ มีความเสถียรสูงกว่าโพลิเมอร์ ปัจจุบันเซรามิกส์กำลังได้ความสนใจอย่างมากในการนำมาประยุกต์ใช้งานทางการแพทย์ เช่น ไพโรคาร์บอน (pyrocarbon) ถูกนำมาใช้ผลิตวัลว์ปิด-เปิดของลิ้นหัวใจเทียม เพราะทำได้จ่ายและเข้ากับเนื้อเยื่อได้ดี อะลูมินา (alumina) นำมาใช้เกี่ยวกับกระดูกและข้อเทียม เนื่องจากทนต่อแรงกดได้มาก และมีความแข็งยึดหยด วัสดุไฮดรอกซีอะพาไทต์ ที่มีรูพรุนถูกนำมาใช้เพื่อฝังในร่างกาย โดยเฉพาะกรณีกระดูกหัก ร่างกายจะสร้างกระดูกใหม่เข้ามาสอดแทรกตามรูพรุนของวัสดุดังกล่าว ช่วยในเกิดกระดูกใหม่ที่มีความแข็งแรง ใกล้เคียงกับกระดูกเดิม

ในด้านศัลยกรรมกระดูก (orthopedics) และทันตกรรม แบ่งเซรามิกส์ออกเป็น 4 ชนิด ดังนี้

- ก. เซรามิกส์ชนิดเดี่ยว มวลสารภายในแน่น ผิวไม่มีรูพรุน กระดูกใหม่จะเจริญมาปกคลุมผิวบรูษะของเซรามิกส์ การใช้ทำโดยฝังและยึดให้แน่นกับส่วนกระดูกที่หายไป
- ข. เซรามิกส์ชนิดเดี่ยวที่มีรูพรุน กระดูกใหม่สามารถเจริญเข้าไปในรูพรุนได้ มีความมั่นคงเชิงกล ยึดกับกระดูกองรับได้ดี
- ค. เซรามิกส์ชนิดไม่มีรูพรุน มวลสารภายในแน่น ผิวมีความว่องไวน์ต่อสารหลังในร่างกาย เช่น glass และ glass-ceramics ทำให้ยึดติดกับกระดูกองรับโดยเกิดพันธะเคมีระหว่างผิววัสดุและกระดูกใหม่ได้ดี
- ง. เซรามิกส์ชนิดมวลสารแน่น มีรูพรุนหรือไม่มีรูพรุนก็ได้ สามารถถ่ายตัวและดูดซับในร่างกายได้ และถูกแทนที่โดยกระดูกใหม่ที่สร้างขึ้นมา

เซรามิกส์ที่ใช้ทำเป็นข้อเทียมต่างๆ ในปัจจุบันมีการศึกษาในแง่ปฏิกริยาเคมีกับเนื้อเยื่อ และกับสิ่งแวดล้อม บริเวณที่ถูกฝังเข้าไป การดูดซับภายในร่างกาย ความว่องไวน์/ความเดี่ยวของพื้นผิว เป็นต้น

1.2.4.1.1 ไฮดรอกซีอะพาไทต์ (Hydroxyapatite, (HA)) [15,16]

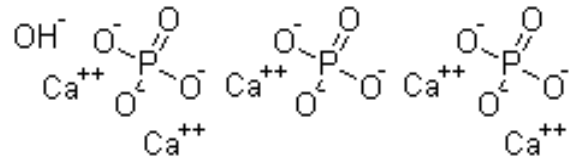
ไฮดรอกซีอะพาไทต์ ($\text{Ca}_{10}(\text{PO}_4)_6(\text{OH})_2$) (รูปที่ 1.4) น้ำหนักโมเลกุล 502.31 กรัม/โมล จุดหลอมเหลว 1100°C เป็นเซรามิกส์ที่อยู่ในร่างกายได้ ถูกนำมาใช้มากที่สุดชนิดหนึ่งทั่วโลก แบ่งเป็นเนื้อแน่น (dense hydroxyapatite) และแบบมีรูพรุน (porous hydroxyapatite) เนื่องจากเป็นส่วนประกอบหลักของกระดูกและฟัน มีความหนาแน่นต่ำ มีความเสถียรทางเคมีสูง ด้านทานต่อการขัดสีสูง ไม่ถูกต่อต้านจากการบดก้มถุก ก็ไม่เป็นพิษต่อเนื้อเยื่อ มีอัตราการเสื่อมถ่ายต่ำ คุณสมบัติทางเคมีและกายภาพใกล้เคียงกับแร่ธาตุที่เป็นองค์ประกอบของกระดูก ช่วยทำให้กระดูกใหม่เจริญได้เร็วขึ้น สามารถยึดติดกับกระดูกใหม่ได้โดยตรง ไม่ต้องอาศัยเนื้อเยื่อเกี่ยวพันเป็นตัวกลาง

แม้ว่าไฮดรอกซีอะพาไทต์จะมีสมบัติทางเคมีที่ใกล้เคียงกันแต่ที่เป็นส่วนประกอบของกระดูกมนุษย์ แต่มีสมบัติเชิงกลต่ำ คือ มีความเปราะ (brittleness) มีความแข็งแรง (strength) และ ความทนต่อความล้า (fatigue resistance) ต่ำมาก เช่น ไฮดรอกซีอะพาไทต์ชนิดเนื้อแน่นจะมีค่า

ความทนต่อแรงกด (compressive strength) อยู่ระหว่าง 100-200 MPa และ ค่าความทนต่อการแตกหัก (fracture toughness) ไม่เกิน 1 MPa/m ซึ่งแตกต่างจากกระดูกโดยธรรมชาติเป็นอย่างมาก

สมบัติเชิงกลที่สำคัญของไฮดรอกซีอะพาไทต์ที่นำไปใช้งานในทางการแพทย์ คือ ความแข็ง (hardness) และ ความทนต่อแรงกดด้าน (flexural bending strength) ซึ่งไฮดรอกซีอะพาไทต์ที่บริสุทธิ์ จะมีสมบัติเชิงกลที่ต่ำมากเมื่อเทียบกับกระดูกจริงของมนุษย์ ดังนั้นการปรับปรุง สมบัติเชิงกลของไฮดรอกซีอะพาไทต์จึงมีความจำเป็นอย่างยิ่ง เพื่อจะได้วัสดุที่สามารถนำไปใช้งาน ได้จริง

มีการนำไฮดรอกซีอะพาไทต์มาใช้ประโยชน์ในทางการแพทย์ในหลายลักษณะ เช่น ใช้ควบคุมการปลดปล่อยยา ใช้ทดแทนกระดูกส่วนที่สูญเสีย



รูปที่ 1.4 โครงสร้างของไฮดรอกซีอะพาไทต์ [17]

จากทฤษฎีพบว่าไฮดรอกซีอะพาไทต์ที่ได้จากการสังเคราะห์ประกอบด้วย Ca และ P ในอัตราส่วนโดยโนล เท่ากับ 1.67 มีความคล้ายคลึงทางเคมีกับกระดูกตามธรรมชาติมาก อย่างไร ก็ตาม ไฮดรอกซีอะพาไทต์ชนิดนี้มีข้อด้อยคือ มีผลทางชีวภาพต่ำกว่ากระดูกจริง

งานวิจัยพบว่าความแข็งแรงเชิงกลและการแตกหักของไฮดรอกซีอะพาไทต์ สามารถปรับปรุงโดยใช้เทคนิคการเผา โดยการเพิ่มสารที่มีจุดหลอมเหลวต่ำเข้าไปทำให้เกิดการหลอมติดกันของอนุภาค ความแข็งแรงของเซรามิกส์สมบูรณ์เพิ่มขึ้น

รูปนุ่มภายในโครงเลี้ยงเซลล์ที่มีการเชื่อมต่อกันนำไปสู่การยึดเกาะอย่างมั่นคงของ วัสดุที่นำมาใช้ เนื้อเยื่อกระดูกเติบโตดีเข้าไปในรูปนุ่มได้ดี เป็นการเพิ่มความแข็งแรงของรอยต่อ ระหว่างเนื้อเยื่อใหม่กับวัสดุที่ใช้ โครงเลี้ยงเซลล์ในอุดมคติต้องปลดปล่อย กระดูกให้เซลล์ร่องๆ เจริญเติบโตเพื่อสร้างเซลล์ใหม่ขึ้นมาทดแทนส่วนที่ได้รับความเสียหาย คุณสมบัติประการหนึ่งที่ จำเป็นให้การรักษาประสบความสำเร็จ คือ การใช้วัสดุที่มีรูปนุ่ม และเซลล์กระดูกยึดเกาะได้ (osteophilic) โดยสามารถป้องกันการเคลื่อนของเซลล์กระดูกที่ฟังเข้าไปยังบริเวณอื่น กล่าวคือ รูปนุ่มควรมีขนาดไม่น้อยกว่า 100 ไมครอน จากนั้นจะมีการสร้างหลอดเลือด เซลล์จึงได้รับอาหาร

ขับถ่ายของเสีย และอยู่รอดได้ [5] นักวิจัยได้ทำการเพิ่มสารที่ช่วยรับแรงกระแทก โดยออกแบบให้มีพื้นที่ผิวนานาด้านๆ หมายความว่าการยึดเกาะและการเจริญเติบโตของกระดูกใหม่

1.2.4.1.2 ไตรแคลเซียมฟอสเฟต (Tricalcium phosphate, (TCP)) [4]

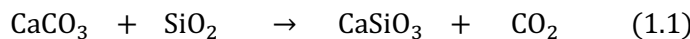
ไตรแคลเซียมฟอสเฟต ($\text{Ca}_3\text{O}_8\text{P}_2$) น้ำหนักโมเลกุล 310.18 กรัม/โมล จุดหลอมเหลว 1670°C มีคุณสมบัติเข้ากันได้ดีกับเนื้อเยื่อของร่างกาย โครงสร้างที่มีรูพรุน จะเอื้อต่อการเจริญเติบโตของเซลล์กระดูก จึงถูกแทนที่ด้วยเนื้อเยื่อใหม่ และมีการปรับรูปในเวลาต่อมา อัตราการเจริญเติบโตของกระดูกเข้าไปในรูพรุนจะเปรียบเท่ากับที่ใส่เข้าไปในร่างกาย เนื่องจากกระดูกแต่ละบริเวณมีเซลล์ต้นกำเนิดกระดูก (osteoprogenitor cell) ในปริมาณที่แตกต่างกัน

ไตรแคลเซียมฟอสเฟตมีจุดเด่นคือสามารถย่อยสลายได้ด้วยตัวเอง อาจเกิดโดยกระบวนการ passive dissolution หรือ osteoclastic resorption แคลเซียมและฟอสเฟตที่เกิดจากการสลายของไตรแคลเซียมฟอสเฟต จะมีองค์ประกอบทางเคมีเหมือนกับที่พบในร่างกาย จึงไม่ทำให้เกิดพิษ เนื่องจากอัตราการสลายตัวเกิดขึ้นช้า จึงไม่กระทบต่อระดับแคลเซียมและฟอสเฟตในเลือด

การนำไตรแคลเซียมฟอสเฟตใส่แทนกระดูกซึ่งเสียหายจากอุบัติเหตุ ทำให้เกิดการสมานของรอยแตก มีการเจริญเติบโตของกระดูกเข้าไปในโครงสร้างเซลล์ ผลที่ได้เทียบได้กับการใช้ไฮดรอกซิอะพาไทต์แบบรูพรุน แต่ไตรแคลเซียมฟอสเฟตสลายตัวได้ดีกว่า แม้จะเป็นที่ยอมรับถึงประสิทธิภาพจากผลการทดลองในสัตว์และการใช้ทางคลินิก แต่ไตรแคลเซียมฟอสเฟตมีปัญหาด้านคุณสมบัติเชิงกล คือ ทนต่อแรงกดหรือแรงอัด ได้น้อย โดยมีค่าเฉลี่ยน้อยกว่ากระดูกของร่างกายโดยทั่วไป ทำให้การใช้ตรงบริเวณที่ต้องรับแรงกระทำมากๆ ถูกจำกัดลงในเมื่อนำไตรแคลเซียมฟอสเฟตผสมกับไฮดรอกซิอะพาไทต์ พบร่วมทำให้ไฮดรอกซิอะพาไทต์คงตัวมากขึ้นที่อุณหภูมิสูงๆ [18]

1.2.4.1.3 แคลเซียมซิลิเคต (calcium silicate, (CS)) [19]

แคลเซียมซิลิเคต (CaO_3Si) (รูปที่ 1.5) ชนิด Wollastonite มีน้ำหนักโมเลกุล 116.16 กรัม/โมล จุดหลอมเหลว 1540°C เกิดจากการเปลี่ยนแปลงของหินปูนที่มีแคลไซต์ (Calcite, CaCO_3) รวมกับซิลิเกต (Silica, SiO_2) โดยจะต้องมีความร้อนและความดันเข้ามาเกี่ยวข้องด้วยดังปฏิกิริยาเคมีที่แสดง



Calcite quartz wollastonite carbon dioxide

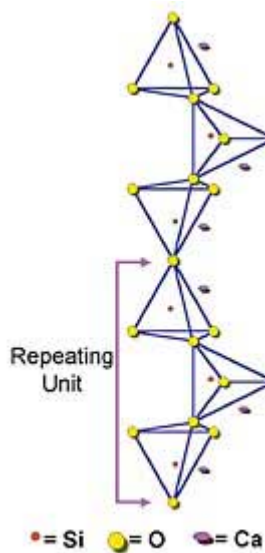
Wollastonite เป็นแร่ธาตุที่ประกอบด้วย CaO 48.28 % และ SiO₂ 51.72 % โดยน้ำหนัก และมีไอออนของโลหะปนอยู่ในปริมาณเล็กน้อยดังตาราง 1.3

ตารางที่ 1.3 องค์ประกอบทางเคมีของแคลเซียมซิลิเกตชนิด wollastonite [19]

| ส่วนประกอบทางเคมี | เปอร์เซ็นต์โดยน้ำหนัก |
|--------------------------------|-----------------------|
| CaO | 47.00 |
| SiO ₂ | 50.00 |
| Fe ₂ O ₃ | 1.00 |
| Al ₂ O ₃ | 0.30 |
| K ₂ O | 0.10 |
| MnO | 0.10 |
| MgO | 0.30 |
| TiO ₂ | 0.05 |
| P ₂ O ₅ | 0.04 |
| Moisture | 0.20 |
| Loss on ignition | 0.20 |
| Undermined | 0.71 |

1) โครงสร้างผลึกของแคลเซียมซิลิเกต [20]

แคลเซียมซิลิเกตจัดอยู่ในกลุ่ม pyroxenoid และอยู่ในกลุ่มย่อย inosilicate ซึ่งมีลักษณะโครงสร้างแบบสายโซ่เดียวซิลิเกต (Single chain silicate) เกิดจากซิลิกา 3 หมู่ที่มีการจัดเรียงตัวแบบเตต拉หีดรอด (tetrahedral) เชื่อมต่อกัน โดยมีแคลเซียมแพรกอยู่ในช่องอโกตระหีดรอด (octahedral) สารประกอบประเภทนี้มีการจัดเรียงผลึกในหลายลักษณะ เช่น ไตรคลินิก (triclinic) โมโนคลินิก (monoclinic) และເຊກະໂກນອດ (hexagonal)



รูปที่ 1.5 โครงสร้างผลึก wallastonite [21]

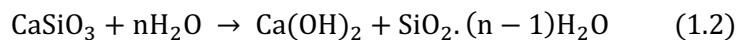
2) สมบัติของแคลเซียมซิลิเกต [19,20]

2.1) สมบัติทางกายภาพของแคลเซียมซิลิเกต

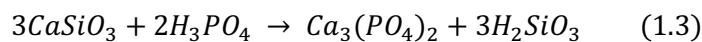
รูปร่างของผลึกของ Wallastonite มีรูปร่างแบบแท่งยาวคล้ายเข็ม (Acicular) ความหนาแน่นของสารบริสุทธิ์อยู่ในช่วง $2.87\text{-}3.09 \text{ g/cm}^3$ ที่มีค่าเป็นช่วงเนื่องมาจากมีโลหะอื่นเจือปน เช่น อะลูминัม เหล็ก แมงกานีส โพแทสเซียม และโซเดียม มาแทนที่แคลเซียมในโครงสร้างผลึก มีสีค่อนข้างขาว แต่ถ้ามีโลหะอื่นเจือปนสีอาจจะเปลี่ยนเป็นสีครีม

2.2) สมบัติทางเคมีของแคลเซียมซิลิเกต

Wallastonite มีสูตรโมเลกุล CaSiO_3 มวลโมเลกุล 116 และมีความสามารถในการละลายน้ำเท่ากับ $0.0095 \text{ g}/100 \text{ ml}$ ให้ค่า pH อยู่ในช่วง 8-10 Wallastonite ที่บริสุทธิ์จะเสื่อมต่อปฏิกิริยาเคมี แต่สามารถละลายน้ำได้บ้าง ดังสมการ



การมี Ca(OH)_2 เกิดขึ้นทำให้ค่า pH เพิ่มขึ้น จึงเกิดปฏิกิริยาอย่างรวดเร็วกับกรดโดยเฉพาะกรดไฮโดรคลอริก กรดชนิดอื่นที่สามารถเกิดปฏิกิริยาได้คือ กรดซัลฟิวริก กรดฟอสฟอริก กรดอะซิติก กรดซิตริก กรดแลกติก และกรดฟอร์มิก เป็นต้น ปฏิกิริยาของ Wallastonite กับกรดฟอสฟอริกเป็นดังสมการ



1.2.4.2 พอลิเมอร์และพลาสติก (Polymers and Plastics) [16]

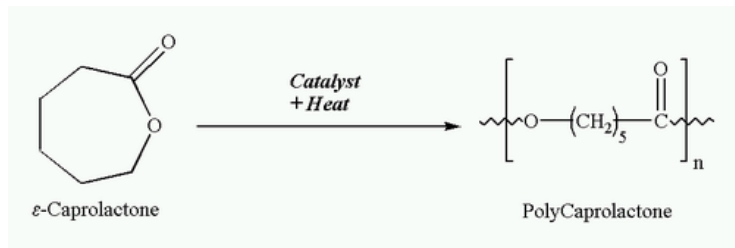
พลาสติก โดยทั่วไปหมายถึงวัสดุที่ไม่ใช่โลหะ สามารถเปลี่ยนแปลงรูปร่างได้อย่างถาวรเมื่อได้รับความร้อนหรือแรงอัด แบ่งเป็น เทอร์โมพลาสติก เป็นวัสดุที่เปลี่ยนแปลงรูปร่าง เมื่อได้รับความร้อนและแรงอัด และเทอร์โมเซตติ้ง เป็นวัสดุที่รูปร่างไม่เปลี่ยนแปลงอีกแม้จะได้รับความร้อน

พอลิเมอร์ หมายถึง วัสดุที่เกิดจากการรวมโมเลกุลของหน่วยย่อยหลายๆ หน่วยมาเข้มต่อ กันด้วยพันธะ โควาเลนซ์ เป็นลูกโซ่ ซึ่งมีองค์ประกอบหลัก คือ -C-C- (carbon-to-carbon bond) ยกเว้นบางชนิดเป็นพันธะ ester พันธะ amide หรือพันธะ -si-o-si คาร์บอนในพอลิเมอร์จะใช้อิเล็กตรอนร่วมกับอะตอมอื่นๆ ได้แก่ Hydrogen (H) Nitrogen (N) Oxygen (O) Fluorine (F) Silicone (S) และ Chlorine (Cl) เป็นต้น

เมื่อเปรียบเทียบระหว่างพอลิเมอร์กับโลหะหรือเซรามิกส์ พบว่าพอลิเมอร์มีข้อได้เปรียบกว่า คือ สามารถผลิตได้หลายรูปแบบเพื่อเหมาะสมกับการใช้งาน เช่น ทำเป็นน้ำมัน เป็นแผ่นฟิล์มของแข็ง ไม่เกิดการกัดกร่อนในร่างกาย มีความคล้ายคลึงกับเนื้อเยื่ออrganic tissue เช่น คอลลาเจน adhesive polymer นำมาใช้ชดแทนการเย็บนาดแพล ยึดอวัยวะฉีกขาด พอลิเมอร์มีความหนาแน่น ใกล้เคียงกับเนื้อเยื่ออrganic tissue คือประมาณ 1 กรัม/ซม³ ส่วนข้อเสียเปรียบ คือ มีค่ามอดูลัสความยืดหยุ่นต่ำ และความหยุ่นตัวน้อย (low viscoelastic) จึงไม่เหมาะสมที่จะรับน้ำหนักมากๆ มีโอกาสเกิด creep and crazing ง่าย (fatigue or cracking) เนื่องจากการผลิตวัสดุพอลิเมอร์ด้วยขบวนการ พอลิเมอร์ไرزชัน ไม่สามารถเกิดขึ้นสมบูรณ์ 100 % ได้ พอลิเมอร์จึงอาจเสื่อมสภาพได้เมื่อนำมาใช้ในร่างกาย

1.2.4.2.1 พอลิคาปโพรแอลกอโนน (polycaprolactone, (PCL))

พอลิคาปโพรแอลกอโนนเป็นเส้นใยสังเคราะห์ aliphatic มีจุดหลอมเหลว 60 °C มีสูตรโมเลกุลดังรูปที่ 1.6 จัดอยู่ในกลุ่ม Polyester ผลิตจากมอนомерที่มีชื่อว่า 2-methylene-1, 3-dioxepane โดยปฏิกิริยาพอลิเมอร์ไرزชันที่ 80 °C ภายใต้บรรยายกาศของไนโตรเจน และมี diethyl-zinc เป็นตัวเร่งปฏิกิริยา [16]



รูปที่ 1.6 สูตรโนมูลของพอลิค้าโปรแลคโตน [22]

พอลิค้าโปรแลคโตนที่นำมาใช้งานในด้านวิศวกรรมเนื้อเยื่อ มีน้ำหนักมวลโนมูลประมาณ 25,000 - 75,000 [13,23] ที่ขนาดมวลโนมูล 60,000 มีความหนาแน่น 1.145 กรัมต่อ มิลลิลิตร เมื่อพอลิค้าโปรแลคโตนมีโครงสร้างผลึกที่สมบูรณ์จะมีค่าพลังงานหลอมเหลวของ โครงสร้างผลึกประมาณ 135.44 - 135.56 จูลต่อกิรัม แต่พอลิค้าโปรแลคโตนที่ใช้งานเป็นรูปที่มี ค่าพลังงานหลอมเหลวของโครงสร้างผลึกที่ 62.2 - 73.2 จูลต่อกิรัม มีความพรุน 55-61% ค่ามอดูลัส แรงดึง (Tensile Modulus) 400 - 600 MPa และค่าของมอดูลัสการอัด (Compressive Modulus) 1.58 - 6.9 MPa [23]

คุณสมบัติเชิงชีวภาพของพอลิค้าโปรแลคโตน มีระยะเวลาในการย่อยสลายที่ 24 - 36 เดือนในสารละลายที่มีเซลล์ fibroblast ออยู่ [13] ในการถ่ายตัวจะได้มอนอเมอร์คือ caproic acid พอลิค้าโปรแลคโตนได้รับการรับรองจากองค์กรอาหารและยาของประเทศไทยในการใช้ งานด้านการแพทย์ ดังนั้นในการใช้งานทางด้านวิศวกรรมเนื้อเยื่อกระดูกจึงสามารถใช้ได้ เนื่องจาก ไม่มีผลจากปัญหาด้านความเข้ากันได้ทางชีวภาพ [23]

การประยุกต์ใช้งานพอลิค้าโปรแลคโตนในด้านงานวิศวกรรมเนื้อเยื่อกระดูกใน ช่วงแรก มีการนำมาใช้งานในรูปแผ่นฟิล์มบาง เพิ่มการยึดติดของเนื้อเยื่อกระดูกอ่อนบริเวณข้อต่อ ต่อมามีการพัฒนาเป็นโครงเลี้ยงเซลล์แบบฟองน้ำซึ่งเป็นโครงเลี้ยงเซลล์ที่ผลิตจากพอลิเมอร์ผสม ระหว่างพอลิค้าโปรแลคโตนและ Poly-L-lactide ผลิตโดยเทคนิค microfabricate โครงสร้างที่ได้มี ความเป็นระเบียบ เช่น รูปร่างผึ้ง มีความแข็งแรง แต่มีต้นทุนในการผลิตสูง [23] พอลิค้าโปรแลค โตนมักใช้เป็นวัสดุบรรจุภัณฑ์ที่ย่อยสลายได้ด้วยเชื้อจุลินทรีย์ ซึ่งจุลินทรีย์ในร่างกายย่อยสลายได้ เช่นกัน จึงได้รับความสนใจศึกษาอย่างมากในการนำมาใช้เป็นวัสดุทางการแพทย์ ใช้ประโยชน์ใน ระบบนำส่งยา ทำไหมละลาย และใช้ในการซ่อมแซม พื้นฟูเนื้อเยื่อ ผลการทดสอบเชิงกลพบว่า โครงเลี้ยงเซลล์ที่ประกอบด้วยไฮดรอกซิอะพาไทต์กับพอลิค้าโปรแลคโตนมีความซ่อนน้ำมากกว่า และเอื้อต่อการยึดเกาะและการเจริญเติบโตของเซลล์มากกว่าโครงเลี้ยงเซลล์ที่ประกอบด้วยพอลิค้า โปรแลคโตโนย่างเดียว [24]

1.3 วัตถุประสงค์ของงานวิจัย

เตรียมโครงเลี้ยงเซลล์กระดูกจากพอลิคาโร่แลคตอน ไชดรอกซีอะพาไทต์ ไตรแคลเซียมฟอสเฟต และแคลเซียมซิลิเกต และศึกษาสมบัติทางกายภาพของโครงเลี้ยงเซลล์ที่เตรียมได้

1.4 ขอบเขตการวิจัย

ศึกษาอัตราส่วนของ พอลิคาโร่แลคตอน ไชดรอกซีอะพาไทต์ ไตรแคลเซียมฟอสเฟต และแคลเซียมซิลิเกตที่เหมาะสม เพื่อเตรียมโครงเลี้ยงเซลล์ที่มีกิจกรรมทางชีวภาพที่ดี

1.5 ประโยชน์ที่คาดว่าจะได้รับ

ได้โครงเลี้ยงเซลล์กระดูกชนิดรับน้ำหนักได้ (Load-bearing) มีสมบัติทางกายภาพ และชีวภาพเบื้องต้นที่เหมาะสม ซึ่งคาดว่าจะนำไปทดลองในสัมภาระต่อไป

บทที่ 2

ตรวจสอบเอกสาร

งานวิจัยที่เกี่ยวข้อง

H.W. Kim และคณะ (2004) [25] ศึกษาคุณสมบัติทางกายภาพและชีวภาพของโครงเรียงเซลล์ที่เตรียมจากไฮดรอกซิอะพาไทต์ที่เคลือบด้วยสารละลายน้ำ HA ผสมกับ PCL โดยสาร HA ในน้ำกลั่นผสมกับสาร triethyl phosphate ((C₂H₅O)₃PO, TEP) เป็นตัวกระเจาย แล้วเติมสารละลายน้ำนิลบิวทิล (PVB) เป็นตัวประสาน คนให้เข้ากัน นำพอลิยูรีเทนโฟมจุ่ม (dipping method) ลงในสารละลายน้ำ HA แล้วเป่าด้วยลมเพื่อไล่สารส่วนเกินที่ติดอยู่รูพรุนออก นำไปอบที่ 80 °C เป็นเวลา 12 ชั่วโมง ทำซ้ำ 2 ครั้ง แล้วนำไปเผิงเทอริ่งที่ 600 °C และ 1300 °C อุณหภูมิละ 3 ชั่วโมง หลังจากนั้นนำมารีดีบูนด์ด้วยสารละลายน้ำ HA-PCL ที่มี HA:PCL = 0.25, 1 และ 4 w/w จนปิดรูพรุนของโครงเรียงเซลล์ ทั้งให้แห้งที่อุณหภูมิห้อง พบว่า โครงเรียงเซลล์ที่เตรียมจาก HA ด้วยวิธีจุ่มเคลือบมีความพรุนสูง (ประมาณ 87 %) ขนาดรูพรุน 150-200 μm การเคลือบด้วย HA-PCL มีข้อดีคือ PCL ช่วยปรับปรุงความเปราะและการรับแรงของโครงเรียงเซลล์ ส่วนไฮดรอกซิอะพาไทต์จะช่วยหนีบแน่นให้เกิดการสร้างเซลล์กระดูกใหม่ ได้โครงเรียงเซลล์มีความพรุนสูง ช่วยในระบบกักเก็บและลำเลียงสารอาหารและยา

N. Kivrak และคณะ (1998) [26] ศึกษาผลของอุณหภูมิชินเตอร์ที่ใช้เพาโครงเรียงเซลล์ที่เตรียมจากไฮดรอกซิอะพาไทต์และไตรแคลเซียมฟอสเฟต โดยวิธีตกตะกอนในหลายๆ อัตราส่วน (one step chemical precipitation technique) ในช่วง 20% - 90% HA ชินเทอริ่งที่ 1000 – 1300 °C ผลเป็นดังตารางที่ 2.1

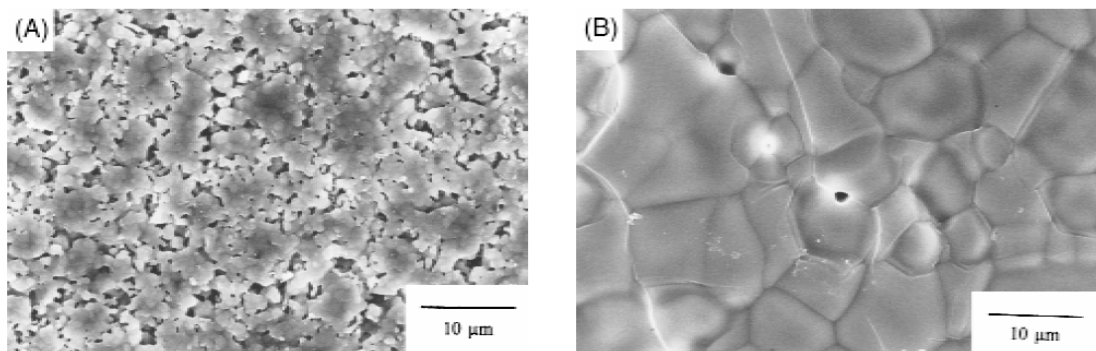
ตารางที่ 2.1 องค์ประกอบของ HA และ TCP หลังจากการซินเทอริ่งที่อุณหภูมิ $1000 - 1300^{\circ}\text{C}$ ที่ เตรียมจาก HA และ TCP หลายอัตราส่วน [26]

| องค์ประกอบ เริ่มต้น | องค์ประกอบภายหลังการซินเทอริ่ง | | | |
|------------------------|--------------------------------|------------------------|------------------------|------------------------|
| | 1000°C | 1100°C | 1200°C | 1300°C |
| 20%HA + 80%TCP | 18%HA + 82%TCP | 24%HA + 76%TCP | 32%HA + 68%TCP | 50%HA + 50%TCP |
| 30%HA + 70%TCP | 36%HA + 64%TCP | 52%HA + 48%TCP | 70%HA + 30%TCP | 53%HA + 47%TCP |
| 40%HA + 60%TCP | 44%HA + 56%TCP | 45%HA + 55%TCP | 20%HA + 80%TCP | 33%HA + 67%TCP |
| 50%HA + 50%TCP | 48%HA + 52%TCP | 26%HA + 74%TCP | 10%HA + 90%TCP | 23%HA + 77%TCP |
| 60%HA + 40%TCP | 61%HA + 39%TCP | 66%HA + 34%TCP | 65%HA + 35%TCP | 64%HA + 36%TCP |
| 70%HA + 30%TCP | 71%HA + 29%TCP | 63%HA + 37%TCP | 72%HA + 28%TCP | 71%HA + 29%TCP |
| 80%HA + 20%TCP | 82%HA + 18%TCP | 85%HA + 15%TCP | 83%HA + 17%TCP | 78%HA + 22%TCP |
| 90%HA + 10%TCP | 89%HA + 11%TCP | 87%HA + 13%TCP | 90%HA + 10%TCP | 88%HA + 12%TCP |

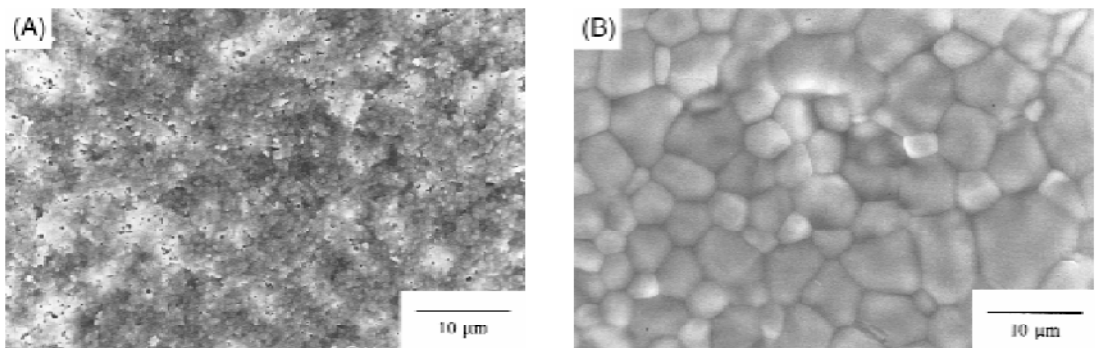
พบว่า ที่ 20% HA อัตราส่วนของ HA จะเพิ่มขึ้นเมื่ออุณหภูมิที่ใช้ซินเทอริ่งเพิ่มขึ้น ที่ 30% HA อัตราส่วนของ HA เพิ่มขึ้นในช่วง $1000 - 1200^{\circ}\text{C}$ แต่จะลดลงที่อุณหภูมิ 1300°C ที่ 40% และ 50% HA อัตราส่วน HA จะลดลงในช่วง $1000 - 1200^{\circ}\text{C}$ แต่จะเพิ่มเมื่ออุณหภูมิ 1300°C และ ที่มากกว่า 60% HA อัตราส่วน HA ต่อ TCP หลังการซินเทอริ่ง จะคงที่ทุกๆ อุณหภูมิ อธิบายได้ว่า HA เป็นเฟสของไตรแคลเซียมฟอสเฟตตามลำดับดังนี้

- HA เป็นเฟสของ เบต้า-ไตรแคลเซียมฟอสเฟต เมื่ออุณหภูมิซินเทอริ่ง น้อยกว่า 1200°C
- HA เป็นเฟสของ แอลfa-ไตรแคลเซียมฟอสเฟต เมื่ออุณหภูมิซินเทอริ่ง มากกว่า 1200°C

ผลของอุณหภูมิต่อค่าความพรุน พบว่า โครงเลี้ยงเซลล์ที่ซินเทอริ่งที่อุณหภูมิ 1000°C มีความพรุนมากกว่าที่ซินเทอริ่งที่ 1300°C (รูปที่ 2.1 และ 2.2)



รูปที่ 2.1 ผล SEM ของโครงเลี้ยงเซลล์ 20%HA–80%TCP (A) ชินเทอริ่งที่ 1000°C 5 h, (B) ชินเทอริ่งที่ 1300°C 5 h [26]



รูปที่ 2.2 ผล SEM ของโครงเลี้ยงเซลล์ 70%HA–30%TCP (A) ชินเทอริ่งที่ 1000°C 5 h, (B) ชินเทอริ่งที่ 1300°C 5 h [26]

J.A. Juhasz และคณะ (2004) [27] ศึกษาผลกระบวนการของปริมาณ และขนาดของสารตัวเติม (additive) ที่มีผลต่อสมบัติเชิงกลของวัสดุที่ประกอบด้วยไฮดรอกซิอะพาไทต์กับพอลิเอทิลีน (PE) (HAPEX) และอะพาไทต์-วอลลาสโตไนท์ (Apatite-Wollastonite, (A-W)) กับ PE (AWPEX) ขนาดอนุภาค A-W คือ 6.7 μm และ 4.4 μm ไฮดรอกซิอะพาไทต์ คือ 3.4 μm โดยเปลี่ยนแปลงอัตราส่วนในช่วง 10 – 50 % โดยปริมาตร ผลการทดสอบสมบัติเชิงกล พบว่า HAPEX มีค่าความเครียดของการแตกหัก (strain) ต่ำกว่า AWPEX เพราะไฮดรอกซิอะพาไทต์กับพอลิเอทิลีนมีแรงยึดเหนี่ยวที่แข็งแรงกว่า อะพาไทต์-วอลลาสโตไนท์กับพอลิเอทิลีน ส่วนผลของขนาดของสารตัวเติม พบว่า อนุภาคขนาดเล็กจะให้โครงสร้างที่มีความแข็งแรงดี คงทนและมอดุลัสโค้ง มากกว่าที่ประกอบด้วยอนุภาคขนาดใหญ่ แต่มีค่าความเครียดการแตกหักต่ำกว่า เพราะว่าอนุภาคขนาดเล็กมีพื้นผิวสัมผัสที่มากกว่า ทำให้การยึดติดระหว่างอนุภาคกับพอลิเมอร์เกิดได้ดีกว่าขนาดอนุภาคใหญ่ ดังนั้นการใช้สารตัวเติมที่มีอนุภาคขนาดเล็ก จะส่งผลให้เกิดเสริมแรงมีประสิทธิภาพ

มากขึ้น และเมื่อปริมาณสารตัวเติมเพิ่มมากขึ้นก็จะส่งผลให้ค่าความแข็งแรงดัด โค้งและค่ามอดูลัส โค้งของมีค่าสูงขึ้น แต่ค่าความเครียดการแตกหักจะลดลง

Suphasinee (2005, 2007) [28,29] ศึกษาโครงสร้าง PCL แบบมีรูพรุนที่เตรียมโดย วิธีการหล่อแบบ/ฉะล้างอนุภาค โดยทำการละลาย PCL ในคลอโรฟอร์มให้มีความเข้มข้นในช่วง 7-13 %wt ทึ่งไว้ในตู้ควันเป็นเวลา 12 ชั่วโมง จากนั้นผสมด้วยเกลือโซเดียมคลอไรด์ที่แตกต่างกัน 4 ขนาดคือ 106-150 μm ., 150-300 μm ., 300-500 μm . และ 500 μm -1.25 mm. ในปริมาณ 70, 75, 80 และ 85 %wt ขึ้นรูปในแบบพิมพ์ จะได้ชิ้นงานที่มีสารผสมของ PCL และเกลือ ละลายอนุภาคเกลือออกโดยแซ่ในน้ำ 16 ชั่วโมง จะได้โครงสร้าง PCL ที่มีรูพรุน โดยมีค่าความพรุนสูงถึง 91.38 % ใช้โซเดียมคลอไรด์ขนาด 106-300 μm . ปริมาณ 85 wt.% ในปี ค.ศ. 2007 ได้ศึกษาและพัฒนาการเตรียมโครงสร้างวัสดุชีวภาพแบบมีรูพรุนสำหรับการใช้งานทางการแพทย์ด้วยวิธีการเดิม แต่จะผสมผงไฮดรอกซิอะพาไทต์ลงใน PCL ใช้เกลือโซเดียมคลอไรด์ ซึ่งสามารถควบคุมได้ โดยเปลี่ยนแปลงขนาดหือปริมาณของอนุภาคเกลือ พนว่ารูพรุนมีการกระจายอย่างสม่ำเสมอ การทดสอบเชิงกลพบว่าโครงสร้างวัสดุผสมที่มีรูพรุน มีค่าความต้านทานแรงดึงนื้อยกกว่าโครงสร้างแบบรูพรุนที่มีเฉพาะ PCL ชิ้นงานที่เป็นวัสดุผสมมีความชอบน้ำมากกว่าชิ้นงานที่มี PCL จึงเอื้อต่อการยึดเกาะและการเจริญเติบโตของเซลล์

S. Simone และคณะ (2008) [18] ศึกษาเกี่ยวกับการเตรียมองค์ประกอบของใบโอลีฟเซรามิกส์ (bioactive ceramics) เพื่อพัฒนาคุณสมบัติเชิงกลของกระดูกเทียม พนว่าได้แคลเซียมซิลิเกตเป็นตัวเสริมแรงต้านความแข็งแรงดัด ของไฮดรอกซิอะพาไทต์ เตรียมโครงเลี้ยงเซลล์โดยวิธี Fast Hot Pressing (FHP) ที่ 1500°C และลดอุณหภูมิตี่ $1200-1300^{\circ}\text{C}$ เพื่อให้ไฮดรอกซิอะพาไทต์รวมตัวกันเป็นการเพิ่มความแข็งแรงความยืดหยุ่นและความเหนียวของโครงเลี้ยงเซลล์ด้วย ทำให้กระดูกเทียมมีคุณสมบัติใกล้เคียงกับกระดูกจริง บางครั้งการซินเทอริ่งไฮดรอกซิอะพาไทต์ที่อุณหภูมิ $1200-1500^{\circ}\text{C}$ อาจทำให้ไฮดรอกซิอะพาไทต์สลายตัวได้ อย่างไรก็ตาม ได้แคลเซียมซิลิเกตจะทำให้ไฮดรอกซิอะพาไทต์คงตัวมากขึ้นที่อุณหภูมิสูงๆ พนว่าโครงเลี้ยงเซลล์ที่ประกอบด้วยได้แคลเซียมซิลิเกตกับไฮดรอกซิอะพาไทต์ 20/80%wt ให้ค่าความแข็งแรงดัดเท่ากับ $70 \pm 7 \text{ MPa}$ เมื่อซินเทอริ่งที่ 1500°C

นราภูต ทองมะโรงสี (2003) [16] ศึกษาโครงเลี้ยงเซลล์จากพอกาโปรดแลคโนน ที่ขึ้นรูปโดยเทคนิคการหล่อ (casting method) และใช้เกลือและผงชูรสเป็นตัวสร้างรูพรุน ในอัตราส่วนเกลือ : ผงชูรส : พอลิคาก็อกแลคโนน ที่ 7.5 : 7.5 : 1 และอีกการทดลองใช้เกลือเพียงอย่างเดียวที่อัตราส่วนเกลือ : พอลิคาก็อกแลคโนน 15 : 1 โดยน้ำหนัก โครงเลี้ยงเซลล์ที่เตรียมได้มีความ

เก็บน้ำร่องดึงในช่วง 0.0147 – 0.0784 MPa. ขนาดรูพรุน 105 – 205 ไมครอน ค่าความพรุนในช่วง 78.44 – 85.72 % มีอัตราการย่อยสลายเมื่อแช่ในสารละลายน้ำ Phosphate Buffered Saline (PBS) ประมาณ 0.28 % โดยน้ำหนัก ผลกระทบการวิจัยสรุปได้ว่า โครงเลี้ยงเซลล์ที่เตรียมจากพอลิคาโรบัตโคโนน ที่ใช้เกลือและผงชูรสเป็นสารสร้างรูพรุนมีค่าความพรุนและความเก็บน้ำร่องดึงน้อยกว่า โครงเลี้ยงเซลล์ที่ใช้เกลือสร้างรูพรุนเพียงอย่างเดียว แต่ในงานวิจัยนี้เลือกใช้โครงเลี้ยงเซลล์ที่ใช้พอลิคาโรบัตโคโนน 30 % (w/v) ใช้เกลือและผงชูรสเป็นตัวสร้างรูพรุน ในการเพาะเลี้ยงเนื้อเยื่อกระดูกอ่อน เนื่องจากความเห็นของศัลยแพทย์ ที่เห็นว่าโครงเลี้ยงเซลล์ชนิดนี้มีความทนต่อแรงกด และเหมาะสมที่จะนำไปปลูกเนื้อเยื่อกระดูกอ่อน

ค่าความเข้มข้นของสารละลายน้ำรูพรุนและ ความเก็บน้ำร่องดึง คือ ความเข้มข้นยิ่งมากจะส่งผลให้ค่าความพรุนลดลง แต่ความเก็บน้ำร่องดึงมากขึ้น อย่างไรก็ตามเปอร์เซ็นต์พอลิคาโรบัตโคโนนไม่มีผลต่ออัตราการย่อยสลายภายนอกร่างกายของ โครงเลี้ยงเซลล์แบบรูพรุน ในระยะเวลา 10 สัปดาห์

W. Xue และคณะ (2005) [30] ทำการศึกษาความว่องไวนท์ทางชีวภาพของสาร wollastonite โดยเคลือบสาร wollastonite ลงบนโลหะไทเทเนียม (Ti-6Al-4V) ด้วยการพ่นพลาสม่า เพื่อศึกษาผลการปลูกถ่ายเซลล์ในเนื้อเยื่อกระดูกข้อ (cortical bone) และไขกระดูก (marrow) ของ สุนัขเป็นเวลา 3 เดือน ด้วยวิธี Scanning Electron Microscopy-Energy Dispersive Spectroscopy (SEM-EDS) พบว่า เกิดชั้นของ Ca-P ในอัตราส่วน Ca/P เท่ากับ 1.43 บนพื้นผิวโลหะไทเทเนียมที่ เคลือบด้วยสาร wollastonite ซึ่งมีค่าใกล้เคียงกับค่า Ca/P ของไฮดรอกซิอะพาไทต์ซึ่งมีค่าเท่ากับ คือ 1.65 กลไกการเกิด HA เริ่มจาก wollastonite ที่ละลายใน SBF เกิดการแตกเปลี่ยนไออกอนของ แคลเซียมของ wollastonite กับไออกอนของไฮดรอกซินของสารละลายน้ำ SBF หลังจากนั้นเกิดการตก ผลึกมาเป็น Ca-P หรือ HA และผลึกของ HA ที่ก่อตัวเกิดการขยายตัวเพิ่มขึ้น หลังจากการปลูกถ่าย อยู่ระหว่างเป็นเวลา 1 เดือน พบว่า กระดูกสามารถเกิดการเชื่อมต่อขึ้นใหม่และเกิดเนื้อเยื่อของเส้น ใย (fibrous) โดยปฏิกิริยาเกิดรอบๆบริเวณที่เป็นโลหะไทเทเนียมที่เคลือบด้วย wollastonite ซึ่งไม่ พบในไทเทเนียมที่ไม่ได้เคลือบด้วยสาร wollastonite จึงสรุปได้ว่า wollastonite มีความสามารถในการเข้ากันได้กับเนื้อเยื่อของร่างกายและช่วยหนุนนำให้เกิดการสร้างผลึก HA เพื่อช่วยซ่อมแซม เนื้อเยื่อและกระดูกของที่ใช้ทดสอบ

W. Cheng และคณะ (2005) [31] ศึกษาเกี่ยวกับการสร้างโครงเลี้ยงเซลล์จาก poly (L-lactic acid) (PDLLA) ผสมกับสารเบต้าไนโตรแคลเซียมซิลิคอน ($\beta\text{-Ca}_2\text{SiO}_4$) ด้วยวิธีหล่อแบบ/ฉะ ล้างเกลือ โดยใช้โซเดียมคลอไรด์เป็นสารสร้างรูพรุน โดยนำผง PDLLA ละลายในคลอโรฟอร์มให้

มีความเข้มข้น 5 % (w/v) แล้วเติมผงเบต้า-ไดแคเลเซียมซิลิเกต คนให้เข้ากันเป็นเวลา 2 ชั่วโมง หลังจากนั้นเติมโซเดียมคลอไรด์ ในอัตราส่วน NaCl : PDLLA = 1:9 และอัดลงในแม่แบบเทฟлонขนาด 60 mm. ทิ้งไว้ในศักดิ์วันเป็นเวลา 48 ชั่วโมง แล้วนำไป vacuum ที่ 60 °C เป็นเวลา 48 ชั่วโมง เพื่อระเหยตัวทำละลายที่เหลืออยู่ออกให้หมด แซ่น้ำ DI เพื่อจะถ่างโซเดียมคลอไรด์ออกเป็นเวลา 24 ชั่วโมง โครงสร้างและรูปร่างของรูพุนตรวจด้วยเทคนิค SEM ความหนาแน่นของรูพุนวัดได้ด้วยวิธี Archimedes PDLLA วัดความชอบน้ำด้วยวิธีวัดมุมสัมผัส (θ) พนว่า PDLLA บริสุทธิ์ มี θ เท่ากับ $83.4 \pm 1.9^\circ$ ในขณะที่เบต้า-ไดแคเลเซียมซิลิเกตบริสุทธิ์มี θ เท่ากับ 0° เมื่อนำ PDLLA ผสมกับเบต้า-ไดแคเลเซียมซิลิเกต ในอัตราส่วน 80/20 % พนว่า θ เท่ากับ $53.1 \pm 1.8^\circ$ ซึ่งค่าความชอบน้ำ (hydrophilic) ที่ดีควรมี θ ในช่วง 0° - 30° จากผลการทดลองที่ได้ แสดงว่าค่าความชอบน้ำจะเพิ่มขึ้นตามปริมาณของเบต้า-ไดแคเลเซียมซิลิเกตที่เพิ่มขึ้น

S. Xu และคณะ (2008) [32] ได้ทำการศึกษาความสามารถในการสร้างกระดูกใหม่ (bone-regenerative capacity) และอัตราการดูดซึม (resorption) ของวัสดุเซรามิกส์ชีวภาพประเภทเบต้า-แคเลเซียมซิลิเกตแบบพรุน (β -CaSiO₃, β -CS) เปรียบเทียบกับประเภทเบต้า-ไตรแคลเซียมฟอสเฟตแบบพรุน (β -Ca₃(PO₄)₂, β -TCP) โดยวิธี *in vivo* ซึ่งทำการฝังโครงเสี้ยงเซลล์ในกระต่ายที่เกิดความเสียหายของกระดูกครีบและเก็บตัวอย่างที่ 4, 8 และ 16 สัปดาห์หลังการปลูกถ่ายวัสดุชีวภาพ จากการวิเคราะห์ด้วย Micro CT เพื่อศึกษาอัตราการดูดซึม พนว่าบริเวณที่ปลูกถ่าย β -CS มีอัตราการดูดซึมเร็วกว่า และมีความสามารถในการสร้างกระดูกใหม่ดีกว่าเมื่อเปรียบเทียบกับบริเวณที่ปลูกถ่าย β -TCP และจากการวิเคราะห์โดยเทคนิคเนื้อเยื่อวิทยา พนว่ามีการเกิด TRAP-positive multinucleated cells บนพื้นผิวของ β -CS ซึ่งบ่งชี้ว่ามีการสลายตัวของ β -CS ขึ้น นอกจากนั้นยังพนว่ามีการเจริญของเนื้อเยื่อกระดูกเข้าไปในโครงสร้างที่มีความพูนของ β -CS และพบชั้นของ apatite บนพื้นผิวของ β -CS ด้วย จากการทดสอบด้วย SEM และ EDX พนว่าเนื้อเยื่อกระดูกไม่ได้มีการเชื่อมต่อโดยตรงกับ β -CS แต่จะเชื่อมต่อ กันผ่านชั้นของ apatite ที่เกิดขึ้นภายหลังการปลูกถ่ายวัสดุชีวภาพ ซึ่งการเกิดชั้นของ apatite นี้เป็นปัจจัยสำคัญของการเชื่อมต่อของเนื้อเยื่อกระดูกกับ β -CS ดังนั้นจากการวิจัยฉบับนี้จึงสามารถสรุปได้ว่า β -CS มีความหวังไวในการตอบสนองต่อการสร้างเนื้อเยื่อใหม่ และสามารถย่อยสลายได้ในร่างกายของสัตว์มีชีวิต สามารถนำมาประยุกต์ใช้ในงานด้านวิศวกรรมเนื้อเยื่อได้

M. G. Gandolfi และคณะ (2010) [33] ศึกษาการก่อตัวของผลึก apatite ของแคเลเซียมซิลิเกต สำหรับใช้ในงานทันตกรรม โดยนำแคเลเซียมซิลิเกตซีเมนต์ (wTC) ที่อยู่ในรูปไดแคเลเซียมซิลิเกต และไตรแคลเซียมซิลิเกต และผสมแอลฟ่า-ไตรแคลเซียมฟอสเฟตกับ wTC

(wTC-TCP) อัดขึ้นรูปแล้วนำไปแช่ในสารละลายน้ำ DBPS (Dulbecco's phosphate buffered saline) 5 ชั่วโมง 14 และ 28 วัน พบว่า wTC มีผลึกทรงกลมเล็กๆ ของ apatite เกิดขึ้นอย่างรวดเร็วภายใน 5 ชั่วโมง พนบว่า wTC-TCP มีตะกอนของ Ca-P หนาที่สุดเมื่อเทียบกับสูตรอื่นๆ แต่เมื่อแช่นานมากๆ จะทำให้เกิดความผิดปกติของตะกอน Ca-P คือ apatite ที่เกิดจะเริ่มกลายเป็นผลึกหินปูน (calcite) แม้จะไม่เป็นพิษต่อร่างกาย แต่เป็นผลต่อการเจริญโตของเซลล์

จากการวิเคราะห์ SEM พบว่าที่พื้นผิวซีเมนต์จะประกอบไปด้วยฟิล์มน้ำบางๆ และในรูป/run และช่องว่างจะมีเจล Si-OH เข้าไปเกิด มีลักษณะเป็นผลึกคล้ายเข็มและตะกอนอื่นที่แทรกตัวอยู่ หลังจากการแช่ในสารละลายน้ำ PBS ที่มีความเข้มข้นปานกลาง พบว่า จะมีผลึกที่ polymorph และจุดกลมๆ กระจายบางๆ ไปทั่วพื้นผิว จากผลดังกล่าว แสดงให้เห็นได้ว่า CS มีความเป็น bioactivity สูง หลังจากแช่ไป 14-28 วัน พบว่า พื้นผิวมีชั้นของ apatite ทรงกลมปักคุณหนาและกระจายไปทั่วพื้นผิว

เกี่ยวกับลักษณะของพื้นผิว ความแตกต่างของพื้นผิวถูกนำมาพิจารณาในการเลือกวัสดุที่จะนำมาใช้งาน ซึ่งความบรุษของพื้นผิวไม่ใช่ปัจจัยหลัก แต่ปัจจัยที่มีความสำคัญมากกว่า คือ การก่อตัวของชั้น apatite จากที่ Ca ไอออนแตกตัวออกจากอนุภาคน้ำแคลเซียมซิลิเกต และหมุนฟังก์ชัน Si - OH บนพื้นผิวซึ่งกระตุ้นให้มี Ca^+ ไอออนเข้ามายังไนท์ เนื่องจาก Si-OH ถูกดึง H ออกไป กลายเป็น Si-O^- และทำหน้าที่เป็นบริเวณที่จะมีการสะสมของ Ca และ P ต่อไป ส่งผลดีต่อการยึดเกาะของเซลล์ osteoblast สรุปได้ว่า การใช้ Si แทนที่ HA ให้ผลดีกว่าการใช้ hydroxyapatite เดียวๆ เนื่องจาก wTC เกิดการสะสมของ apatite ในเวลาอันสั้นเมื่อแช่ในสารละลายน้ำ PBS และการสะสม apatite ในอัตราที่สูง การผสมแอลฟा-ไตรแคลเซียมซิลิเกตกับซีเมนต์หรือแคลเซียมซิลิเกต จึงเป็นการเพิ่มศักยภาพด้าน bioactive ของวัสดุทางการแพทย์

บทที่ 3

วัสดุ อุปกรณ์ และวิธีการทดลอง

3.1 วัสดุและสารเคมี

- 3.1.1 ผงไฮดรอกซีอะพาไทต์ สำหรับผลิตโครงเลี้ยงเซลล์ (Fluka analytical)
- 3.1.2 ผงเบต้า-ไตรแคลเซียมฟอสเฟต สำหรับผลิตโครงเลี้ยงเซลล์ (Sigma-Aldrich)
- 3.1.3 ผงแคลเซียมซิลิเกต ใช้เป็นสารผสมเพื่อผลิตโครงเลี้ยงเซลล์ (Riedel-deltaen)
- 3.1.4 สารพอลิคาโปรดักต์ โปรแลค โটอน เป็นสารเคลือบโครงเลี้ยงเซลล์ชั้นใน (Sigma-Aldrich)
- 3.1.5 พอลิไวนิลแอลกอฮอล์ เป็นตัวประสานในการผลิตโครงเลี้ยงเซลล์ โดยเทคนิคแบบจุ่มเคลือบ (Sigma-Aldrich)
- 3.1.6 คลอร์โรฟอร์ม (Merck KGaA, Germany) เป็นตัวทำละลายสารพอลิคาโปรดักต์ โ�อน
- 3.1.7 น้ำปราศจากไอออน (deionized water) สำหรับเป็นตัวทำละลายสารพอลิไวนิล แอลกอฮอล์
- 3.1.8 ไยบราบแห้ง (luffa fiber) เป็นแม่พิมพ์ในการเตรียมโครงเลี้ยงเซลล์
- 3.1.9 สารเคมีที่เป็นองค์ประกอบของ Phosphate Buffered Saline (PBS) ได้แก่ NaCl Na_2HPO_4 KCl และ KH_2PO_4

3.2 อุปกรณ์และเครื่องมือวิเคราะห์

- 3.2.1 บีกเกอร์ (Beaker) ขนาด 50, 600 และ 1000 มิลลิลิตร
- 3.2.2 แท่งแม่เหล็กcon (Magnetic Bar) และ Magnetic stirrer
- 3.2.3 Forcept
- 3.2.4 ข้อมตักสาร
- 3.2.5 ตู้อบ
- 3.2.6 เครื่องชั่ง รุ่น PG5002-S (Mettler Toledo, Switzerland)
- 3.2.7 กรอบอกตวงขนาด 100 และ 500 มิลลิลิตร
- 3.2.8 โดดดูดความชื้น (Desiccators)

- 3.2.9 แท่งแก้วคน
- 3.2.10 โกร่งบดยา (Molta)
- 3.2.11 เตาเผา
- 3.2.12 ปืนลม
- 3.2.13 กรรไกร
- 3.2.14 กล้องจุลทรรศน์แบบส่องกราด (Scanning Electron Microscope, SEM) FEI รุ่น Quanta 400 ศูนย์เครื่องมือวิทยาศาสตร์ มหาวิทยาลัยสงขลานครินทร์
- 3.2.15 เครื่อง Energy Dispersive X-Ray Fluorescence Spectrometer (EDX) JEOL รุ่น JSM-5800 LV ศูนย์เครื่องมือวิทยาศาสตร์ มหาวิทยาลัยสงขลานครินทร์
- 3.2.16 เครื่องทดสอบแรงอัด LLOYD รุ่น LR30K ภาควิชาบรรจุภัณฑ์ คณะอุตสาหกรรมการเกษตร มหาวิทยาลัยสงขลานครินทร์
- 3.2.17 เครื่องทดสอบ Contact angle ภาควิชาฟิสิกส์ คณะวิทยาศาสตร์ มหาวิทยาลัยสงขลานครินทร์

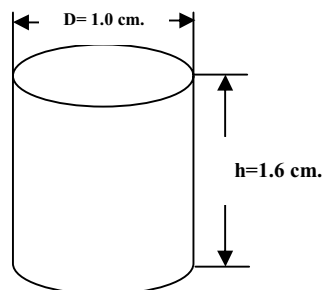
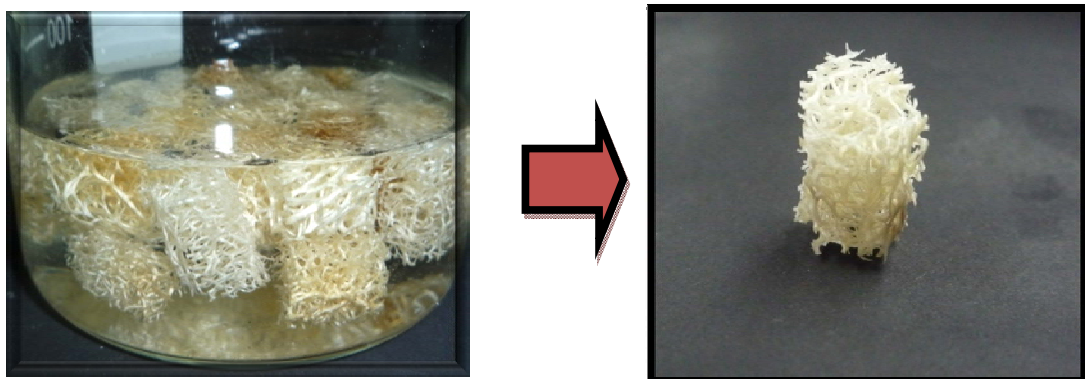
3.3 วิธีดำเนินการทดลอง

แบ่งออกเป็น 2 กิจกรรม

1. เตรียมโครงเรียงเซลล์ด้วยวิธีการจุ่มเคลือบ

1.1 เตรียมไยบวน

- 1) นำไยบวนแช่น้ำเป็นเวลา 3 ชั่วโมง และอบให้แห้งที่อุณหภูมิ 100°C เป็นเวลา 6 ชั่วโมง
- 2) นำไปบวนที่อบแล้วมาตัดเป็นรูปทรงกระบอก เส้นผ่านศูนย์กลาง 1 เซนติเมตร สูง 1.6 เซนติเมตร (อ้างอิง: ASTM C773-88(2011) Standard Test Method for Compressive (Crushing) Strength of Fired Whiteware Materials) และนำไปอบที่อุณหภูมิ 100°C เป็นเวลา 3 ชั่วโมง



รูปที่ 3.1 ไยบวนที่ตัดให้ได้ขนาดและรูปทรงตามที่กำหนด

1.2 เตรียมสารละลายโพลีไวนิลแอลกอฮอล์ 6 %

- 1) นำพอลีไวนิลแอลกอฮอล์ 6 กรัม แล้วเติมน้ำประจากไอกอนให้ได้ 100 มิลลิลิตร
- 2) นำสารละลายโพลีไวนิลแอลกอฮอล์ คุณนหตเพลตด้วยแท่งคนแม่เหล็กเป็นเวลา 24 ชั่วโมง

1.3 เตรียมสารละลายโครงเรียงเซลล์ชั้นใน

- 1) ผสมไออกซิอะพาไทด์ ไตรแคลเซียมฟอสเฟต แคลเซียมซิลิกेट ในโครงร่างบดยาโดยมีพอลีไวนิลแอลกอฮอล์ 6 % เป็นตัวประสาน ดังตารางที่ 3.1
- 2) นำสารละลายเซรามิกส์ที่บดผสมแล้วไปคนในบีกเกอร์บนหตเพลตด้วยแท่งคนแม่เหล็ก ความเร็ว 500 รอบต่อนาที เป็นเวลา 30 นาที

ตารางที่ 3.1 อัตราส่วนโดยน้ำหนักของสารที่ใช้เตรียมโครงเรียงเซลล์

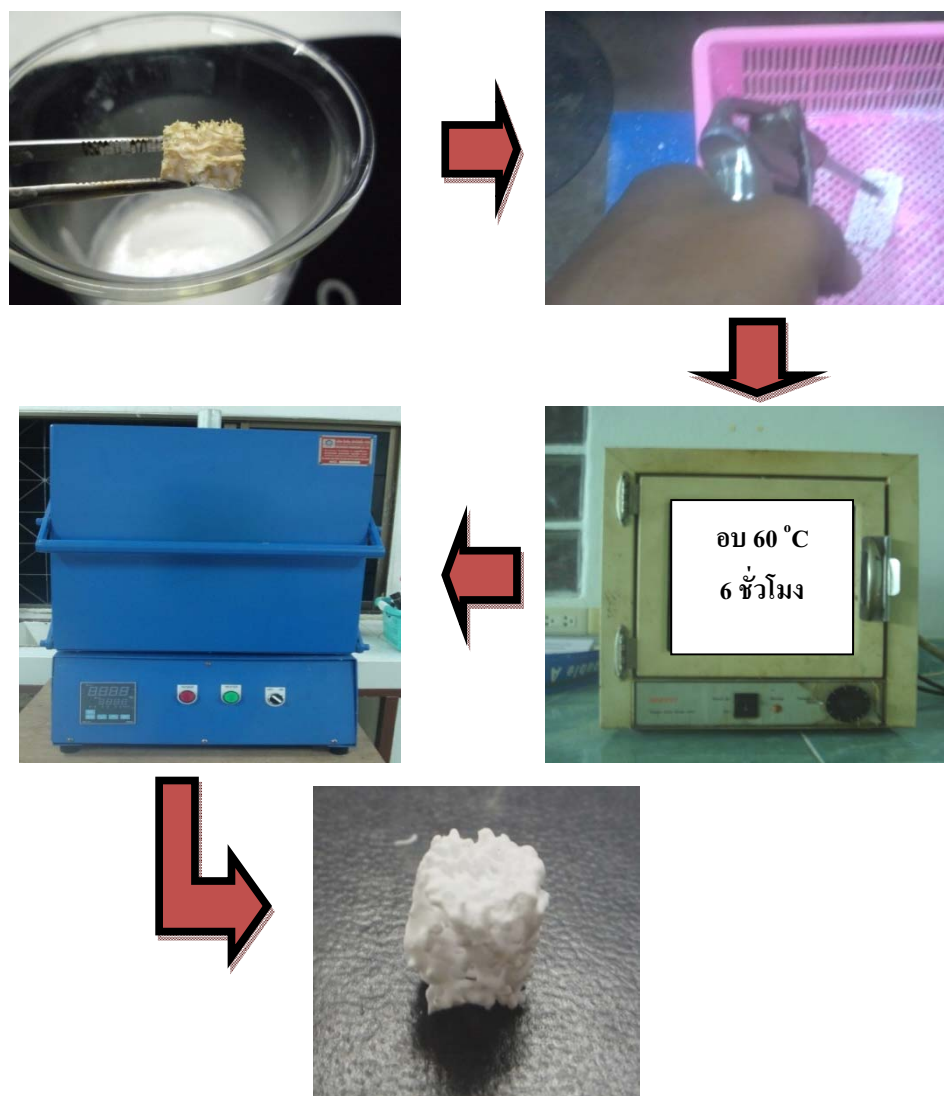
| สูตร | HA | β -TCP | CS |
|------|----|--------------|----|
| HTC1 | 2 | 1 | - |
| HTC2 | 2 | 1 | 1 |
| HTC3 | 2 | 1 | 2 |
| HTC4 | 2 | 1 | 3 |



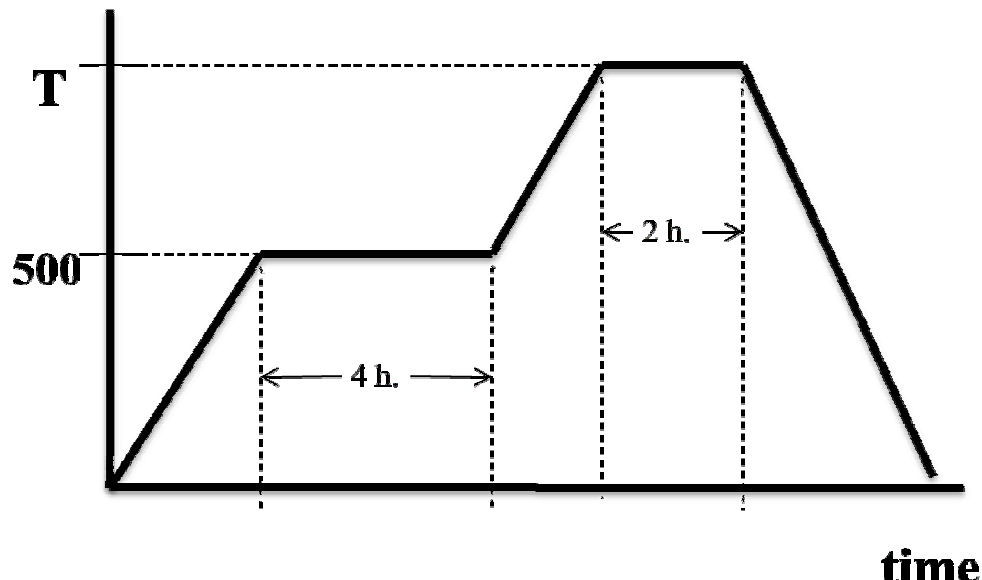
รูปที่ 3.2 การเตรียมสารแวนโนยสำหรับเตรียมโครงเรียงเซลล์ชั้นใน

1.4 เตรียมโครงเลี้ยงเซลล์ด้วยวิธีการจุ่มเคลือบ (Dipping Method)

- 1) นำไปบนที่เตรียมไว้จุ่มลงในสารแხวนโลயเซรามิกส์ที่เตรียมได้ (จุ่ม 10 วินาที แล้วกลับหัวจุ่ม 10 วินาที) ตั้งทิ้งไว้ 10 นาที
- 2) เป่าสารแხวนโลຍเซรามิกส์ที่อุดตันอยู่ในรูพรุนด้วยปืนลม ใช้แรงดัน 10 บาร์ อบให้แห้งที่อุณหภูมิ 60°C เป็นเวลา 6 ชั่วโมง
- 3) ทำซ้ำในข้อที่ 1 และ 2) (Dipping step) จำนวน 7 ครั้ง
- 4) นำโครงเลี้ยงเซลล์ที่เตรียมได้เผาที่ 1150°C หรือ 1250°C
- 5) นำโครงเลี้ยงเซลล์ที่ได้หลังจากการเผา อบໄล่ความชื้นในโถดูดความชื้น



รูปที่ 3.3 การเตรียมโครงเลี้ยงเซลล์ด้วยวิธีการจุ่มเคลือบ (Dipping Method)



รูปที่ 3.4 อุณหภูมิและเวลาที่ใช้ชินเทอร์ริ่ง $T=1150\text{ }^{\circ}\text{C}$ หรือ $1250\text{ }^{\circ}\text{C}$

2. เตรียมสารเคลือบพอลิเมอร์

2.1 เตรียมสารละลายน้ำสารพอลิคาโปรดักตัน

- นำพอลิคาโปรดักตันละลายน้ำด้วยคลอโรฟอร์มแล้วผสมไฮดรอกซิอะพาไทต์เบต้า-ไตรแคลเซียมฟอสเฟตและแคลเซียมซิลิกเกต ตามสัดส่วนในตารางที่ 3.2

2) คนผสมให้เข้ากันด้วย magnetic stirrer โดยใช้อุณหภูมิ $50\text{ }^{\circ}\text{C}$ เป็นเวลา 30 นาที

2.2 เคลือบสารผสมพอลิเมอร์บนโครงเลี้ยงเซลล์ขั้นใน

- นำโครงเลี้ยงเซลล์ที่เตรียมไว้ในขั้นตอนข้างต้น จุ่มลงในสารละลายน้ำสารพอลิเมอร์ที่เตรียมขึ้น (จุ่ม 10 วินาที แล้วกลับหัวจุ่ม 10 วินาที) แล้วปล่อยให้แห้งที่อุณหภูมิห้อง
- จุ่มเคลือบและปล่อยให้แห้ง เป็นจำนวน 7 ครั้ง

ตารางที่ 3.2 ส่วนประกอบของสารเคลือบผสมพอลิเมอร์ที่ HA: β -TCP=2:1, (HA+ β -TCP):CS=4:1

| สูตร | PCL (wt %) | HA (wt %) | β -TCP (wt %) | CS (wt %) |
|---------|---------------|--------------|------------------------|--------------|
| HTCxP30 | 30 | 37.33 | 18.67 | 14 |
| HTCxP50 | 50 | 26.67 | 13.33 | 10 |
| HTCxP70 | 70 | 16 | 8 | 6 |

หมายเหตุ x เท่ากับ 1-4 คือ โครงเลี้ยงเซลล์ที่เตรียมได้หลังการเผาชินเทอร์ที่อุณหภูมิสูง



รูปที่ 3.5 โครงเดี่ยงเซลล์หลังการเคลือบด้วยสารเคลือบพอลิเมอร์

3.4 การวิเคราะห์ตัวอย่าง

1. วิเคราะห์โครงสร้างระดับจุลภาคด้วยเครื่อง SEM

- 1.1 วิเคราะห์โครงสร้างระดับจุลภาคก่อนการแช่ในสารละลาย PBS
- 1.2 วิเคราะห์โครงสร้างระดับจุลภาคหลังการแช่สารละลาย PBS เป็นเวลา 2 และ 4 สัปดาห์

2. วิเคราะห์ปริมาณชาตุกิ่งคุณภาพด้วยเครื่อง EDX

- 2.1 วิเคราะห์ปริมาณชาตุกิ่งคุณภาพหลังการแช่ในสารละลาย PBS เป็นเวลา 4 สัปดาห์

3. ทดสอบการรับแรงเชิงกล

- 3.1 ทดสอบการรับแรงกดหลังจากการเคลือบเสริมแรงด้วยสารเคลือบพอลิเมอร์

4. ทดสอบมุมสัมผัส (contact angle)

- 4.1 ทดสอบค่ามุม contact angle หลังจากเคลือบด้วยสารเคลือบพอลิเมอร์

บทที่ 4

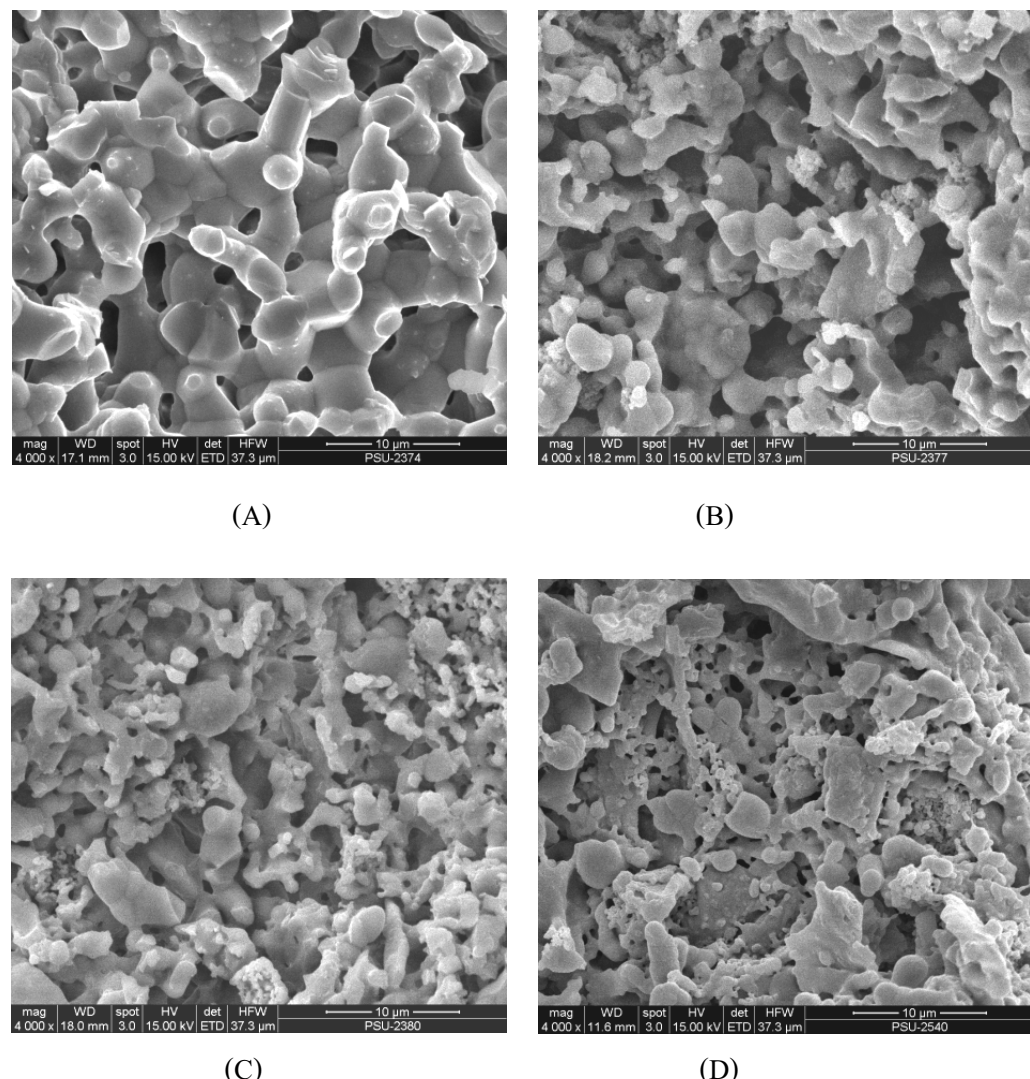
ผลการทดลองและวิจารณ์ผลการทดลอง

4.1 ผลการทดลอง

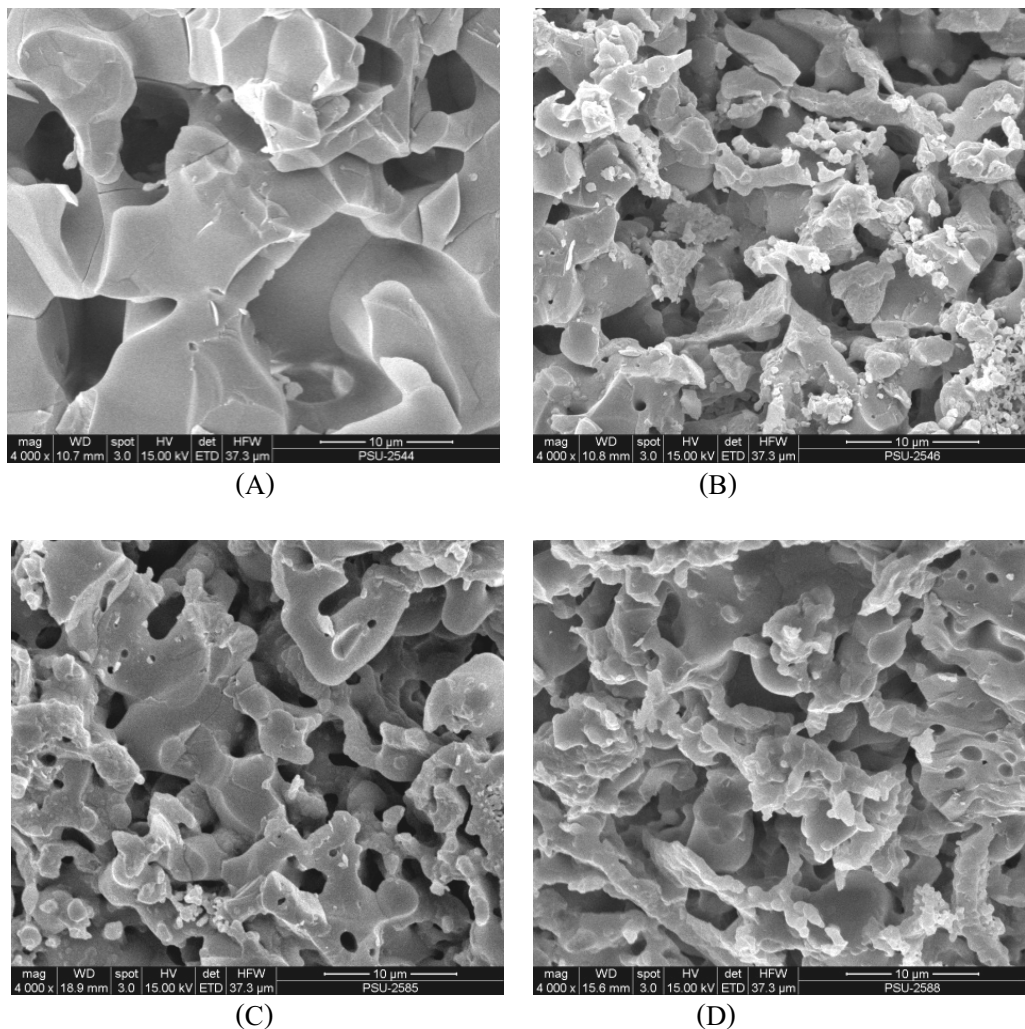
งานวิจัยนี้ได้ทำการศึกษาปัจจัยที่มีผลต่อโครงสร้างและคุณสมบัติของโครงเลี้ยงเซลล์ที่เตรียมได้จากสารผสมไฮดรอกซิออกไซฟอสเฟตและเบต้า-ไตรแคลเซียมฟอสเฟตที่มีและไม่มีแคลเซียมซิลิเกตเป็นองค์ประกอบ โดยมีสารละลายโพลีไวนิลแอลกอฮอล์ 6 % เป็นตัวประสาน มีไขบวน (luffa fiber) เป็นแม่พิมพ์เพื่อสร้างโครงเลี้ยงเซลล์แบบมีรูพรุน ด้วยวิธีการจุ่มเคลือบ (dipping method) และชินเทอริงที่อุณหภูมิ 1150°C และ 1250°C ศึกษาองค์ประกอบและอัตราส่วนของสารที่ใช้เตรียมโครงเลี้ยงเซลล์ อุณหภูมิในการชินเทอริง ประสิทธิภาพการเกิด apatite เมื่อแช่ในสารละลายฟอสเฟตบफเฟอร์-น้ำเกลือ (phosphate buffered saline, PBS) เป็นเวลา 2 และ 4 สัปดาห์ และสมบัติเชิงกลหลังการเคลือบด้วยสารเคลือบโพลิเมอร์ และความชอบน้ำ/ไม่ชอบน้ำของพื้นผิว

4.1.1 โครงสร้างทางจุลภาคของโครงเลี้ยงเซลล์ตรวจสอบด้วยเทคนิค SEM

ผลการตรวจสอบโครงสร้างทางจุลภาคของโครงเลี้ยงเซลล์ที่เตรียมได้ในแต่ละส่วนประกอบ และชินเทอริงที่อุณหภูมิ 1150°C หรือ 1250°C แสดงในรูปที่ 4.1-4.2



รูปที่ 4.1 ลักษณะทางจุลภาคของโครงเดี่ยงเซลล์ที่เผาขึ้นในแต่ละส่วนประกอบ และชิ้นเทอริ่งที่อุณหภูมิ 1150°C (A) สูตร HTC1, (B) สูตร HTC2, (C) สูตร HTC3 และ (D) สูตร HTC4 วิเคราะห์ด้วยเทคนิค SEM



รูปที่ 4.2 ลักษณะทางจุลภาคของโครงเดี่ยงเซลล์ที่เตรียมได้ในแต่ละส่วนประกอบ และซินเทอริ่งที่อุณหภูมิ 1250°C (A) สูตร HTC1, (B) สูตร HTC2, (C) สูตร HTC3 และ (D) สูตร HTC4 วิเคราะห์ด้วยเทคนิค SEM

ตารางที่ 4.1 ค่าความพรุนเฉลี่ยของโครงเลี้ยงเซลล์ชินเทอริงที่ $1150\text{ }^{\circ}\text{C}$ และ $1250\text{ }^{\circ}\text{C}$

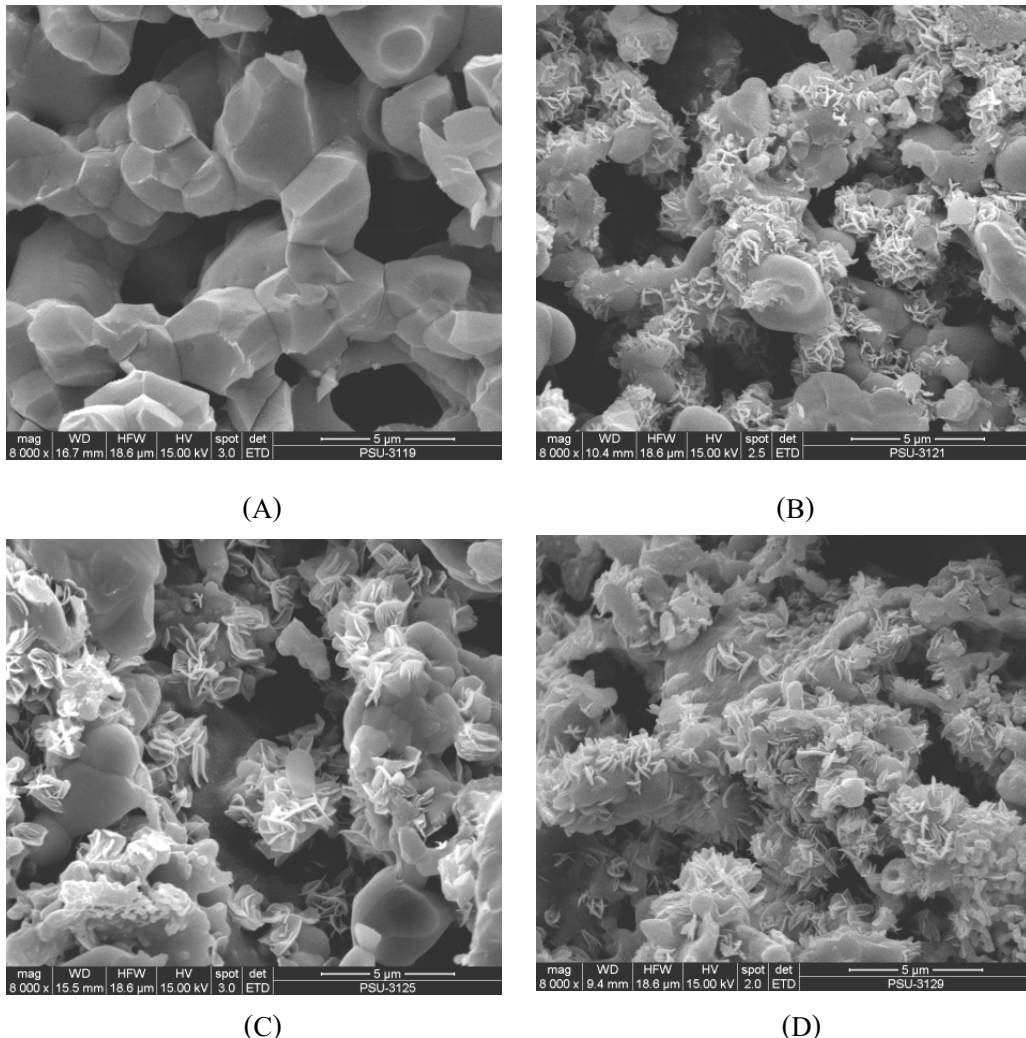
| สูตร | ค่าความพรุนเฉลี่ย (μm) | |
|------|-------------------------------------|--------------------------------|
| | $1150\text{ }^{\circ}\text{C}$ | $1250\text{ }^{\circ}\text{C}$ |
| HTC1 | 55 ± 2 | 27 ± 2 |
| HTC2 | 61 ± 3 | 46 ± 3 |
| HTC3 | 69 ± 5 | 57 ± 5 |
| HTC4 | 75 ± 5 | 63 ± 5 |

จากรูปที่ 4.1 และ 4.2 พบว่าทุกสูตร หั้งที่เผาชินเทอริงที่ $1150\text{ }^{\circ}\text{C}$ และ $1250\text{ }^{\circ}\text{C}$ มีรูพรุนขนาดเล็กกระจาดอยู่เป็นจำนวนมาก โดยสูตร HTC1 มีลักษณะเกรนที่ใหญ่และผิวน้ำขาวกว่า สูตรอื่นๆ อย่างชัดเจน โดยเฉพาะในกรณีที่ชินเทอริงที่ $1250\text{ }^{\circ}\text{C}$ สามารถเรียงลำดับขนาดเกรนจากใหญ่ไปหาเล็กได้ดังนี้ คือ $\text{HTC1} > \text{HTC2} > \text{HTC3} > \text{HTC4}$ เมื่อปริมาณของแคลเซียมซิลิกेटเพิ่มขึ้น พบว่า โครงเลี้ยงเซลล์มีขนาดรูพรุนเล็กลง ค่าความพรุนเฉลี่ยเพิ่มขึ้น อนุภาคของแคลเซียมซิลิกेट แทรกตัวอยู่ระหว่างไสครอกซีอะพาไทต์และเบต้า-ไตรแคลเซียมฟอสเฟต และมีบางส่วนอยู่บริเวณขอบของเกรนแต่ไม่สามารถรวมตัวกับสารข้างต้นได้

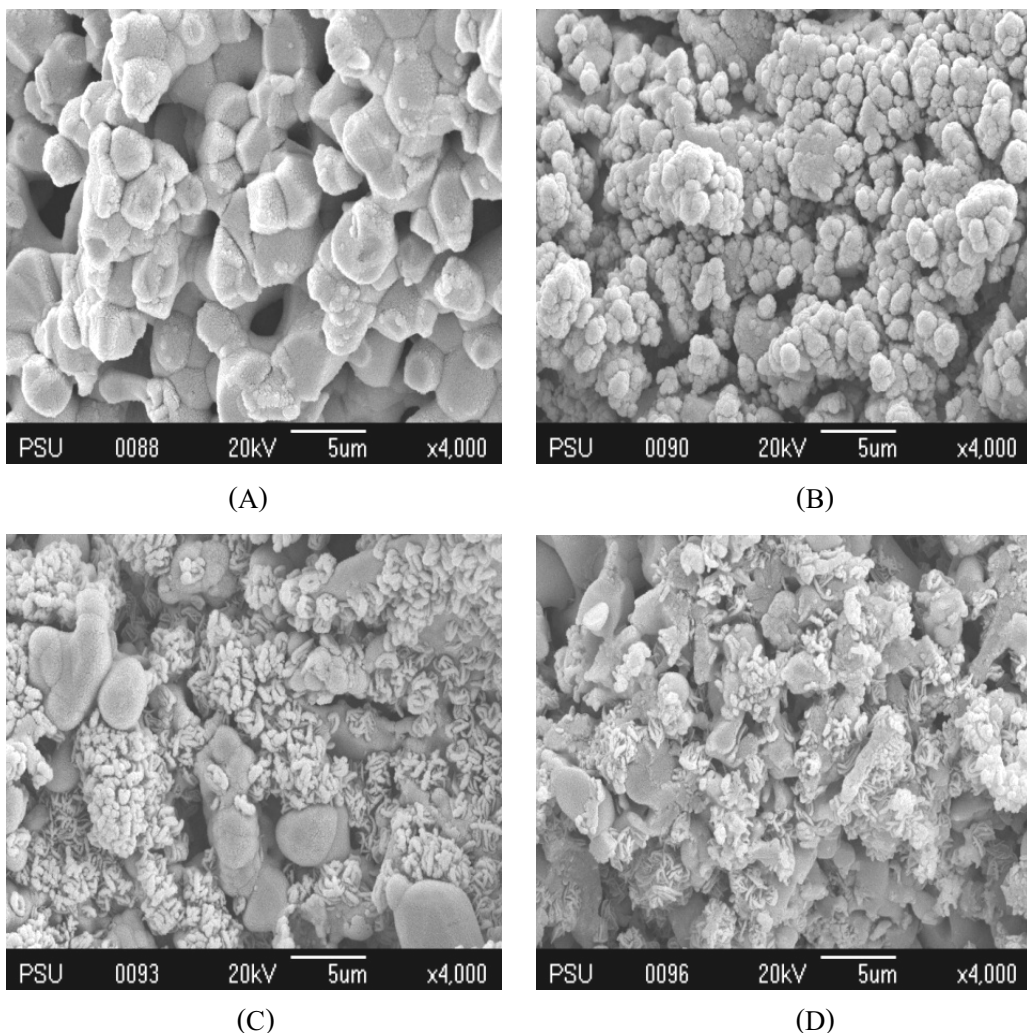
จากตารางที่ 4.1 พบว่าแนวโน้มค่าความพรุนเฉลี่ย $\text{HTC1} < \text{HTC2} < \text{HTC3} < \text{HTC4}$ โดยโครงเลี้ยงเซลล์ที่เผาชินเทอริงที่อุณหภูมิ $1250\text{ }^{\circ}\text{C}$ มีค่าความพรุนเฉลี่ยน้อยกว่าที่อุณหภูมิ $1150\text{ }^{\circ}\text{C}$

4.1.2 โครงสร้างทางจุลภาคภายในสารละลายน้ำ PBS

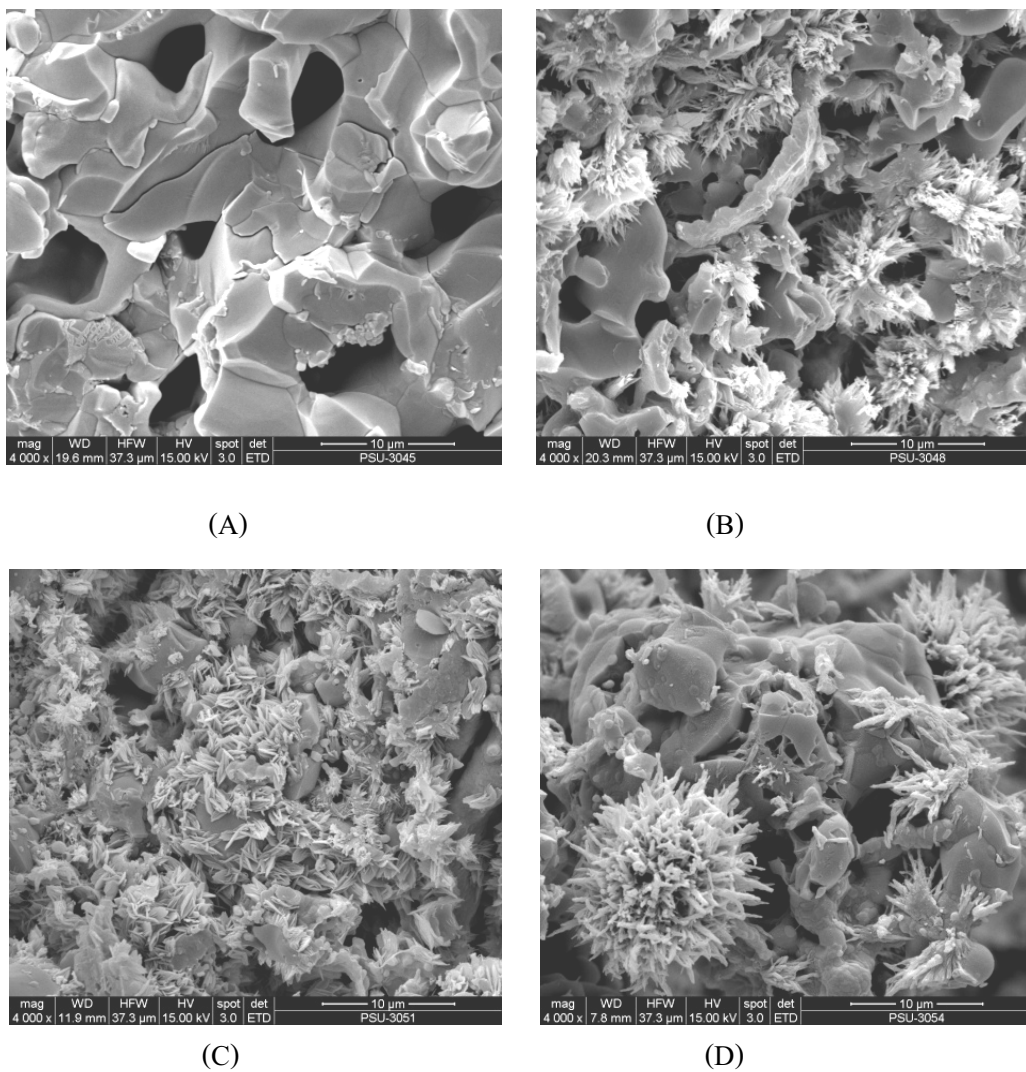
ผลการตรวจสอบโครงสร้างทางจุลภาคภายในสารละลายน้ำ PBS เป็นเวลา 2 และ 4 สัปดาห์ของโครงเลี้ยงเซลล์ที่เตรียมได้ในแต่ละส่วนประกอบ และชินเทอริงที่ อุณหภูมิ $1150\text{ }^{\circ}\text{C}$ และ $1250\text{ }^{\circ}\text{C}$ ได้ผลดังแสดงในรูปที่ 4.3-4.6



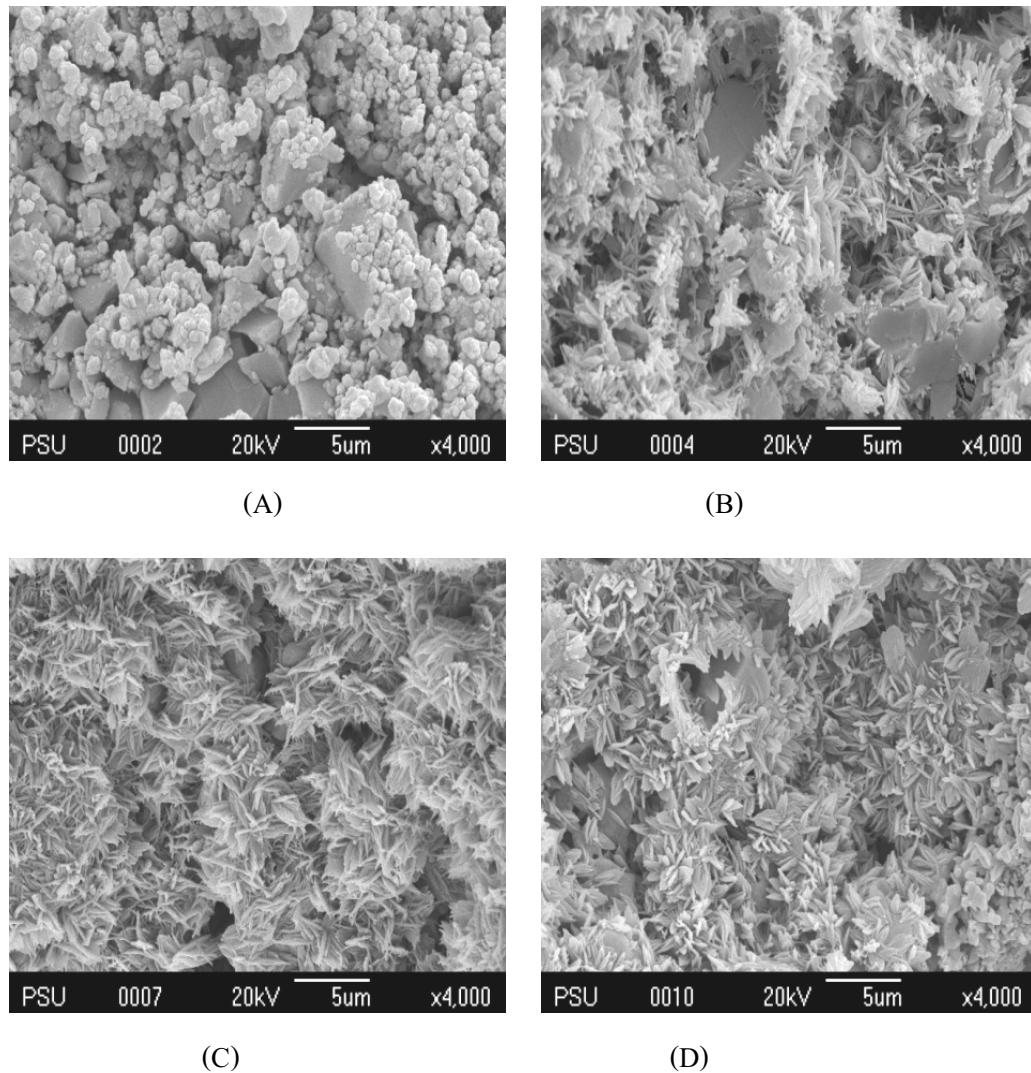
รูปที่ 4.3 ลักษณะทางจุลภาคของโครงสร้างเซลล์ที่เตรียมได้ในแต่ละส่วนประกอบ และซินเทอริ่งที่อุณหภูมิ 1150°C (A) สูตร HTC1, (B) สูตร HTC2, (C) สูตร HTC3 และ (D) สูตร HTC4 ภายหลังแช่ในสารละลายน้ำ PBS เป็นเวลา 2 สัปดาห์ วิเคราะห์ด้วยเทคนิค SEM



รูปที่ 4.4 ลักษณะทางจุลภาคของโครงเลี้ยงเซลล์ที่เตรียมได้ในแต่ละส่วนประกอบ และชิ้นเทอริงที่อุณหภูมิ 1150°C (A) สูตร HTC1, (B) สูตร HTC2, (C) สูตร HTC3 และ (D) สูตร HTC4 ภายหลังแช่ในสารละลาย PBS เป็นเวลา 4 สัปดาห์ วิเคราะห์ด้วยเทคนิค SEM



รูปที่ 4.5 ลักษณะทางจุลภาคของโครงสร้างเซลล์ที่เตรียมได้ในแต่ละส่วนประกอบ และซินเทอริ่งที่อุณหภูมิ 1250°C (A) สูตร HTC1, (B) สูตร HTC2, (C) สูตร HTC3 และ (D) สูตร HTC4 ภายหลังแช่ในสารละลายน PBS เป็นเวลา 2 สัปดาห์ วิเคราะห์ด้วยเทคนิค SEM



รูปที่ 4.6 ลักษณะทางจุลภาคของโครงสร้างเซลล์ที่เตรียมได้ในแต่ละส่วนประกอบ และชิ้นเทอริงที่อุณหภูมิ 1250°C (A) สูตร HTC1, (B) สูตร HTC2, (C) สูตร HTC3 และ (D) สูตร HTC4 ภายหลังแช่ในสารละลาย PBS เป็นเวลา 4 สัปดาห์ วิเคราะห์ด้วยเทคนิค SEM

รูปที่ 4.3 แสดงให้เห็นว่าเกิดการเปลี่ยนแปลงที่พื้นผิวของโครงเลี้ยงเซลล์ โดยมีการก่อตัวของผลึก apatite ซึ่งมีรูปร่างทรงรีค่อนข้างกลม ตัวหนอน และจะสังเกตได้ชัดหลังการแช่ในสารละลาย PBS เป็นเวลา 4 สัปดาห์ (รูปที่ 4.4) สูตร HTC1 ซึ่งไม่มีแคลเซียมซิลิเกตเป็นองค์ประกอบ สังเกตพบว่า มีผลึกเกิดขึ้นน้อยมากหรือแทบจะไม่เกิดในช่วง 2 สัปดาห์แรก ตรงกันข้ามกับสูตรที่มีแคลเซียมซิลิเกตเป็นองค์ประกอบ เมื่อปริมาณแคลเซียมซิลิเกตเพิ่ม จำนวนผลึก apatite จะเพิ่มขึ้นด้วย เรียงลำดับปริมาณการเกิดผลึกในช่วง 2 สัปดาห์หลังการแช่ในสารละลาย PBS คือ $\text{HTC4} > \text{HTC3} > \text{HTC2} > \text{HTC1}$ ซึ่งเมื่อพิจารณาการเกิดผลึก apatite ของโครงเลี้ยงเซลล์ที่

การซินเทอริ่งที่ 1250°C และ 1150°C พบว่า ปริมาณการเกิดผลึก apatite เป็นไปตามปริมาณของ แคคลเซียมชิลิเกตและระยะเวลาในการแซ่สารละลาย PBS จากรูปที่ 4.3-4.6 ยังพบว่าการเกิดผลึก ของโครงเลี้ยงเซลล์ที่ซินเทอริ่งที่อุณหภูมิสูงกว่าจะมีผลึก apatite มากกว่าการซินเทอริ่งที่อุณหภูมิ ต่ำ เมื่อมีองค์ประกอบของสารเหมือนกัน

การก่อตัวของผลึก apatite สามารถสังเกตเห็นได้อย่างชัดเจนภายหลังการแซ่โครง เลี้ยงเซลล์ในสารละลาย PBS เป็นเวลา 2 สัปดาห์ และเมื่อผ่านไป 4 สัปดาห์ ผลึก apatite เกิดการก่อ ตัวและปักคุณทั่วพื้นผิวของโครงเลี้ยงเซลล์ ซึ่งสามารถยืนยันได้จากการวิเคราะห์ด้วยเทคนิค Scanning electron microscope-Energy dispersive X-ray spectrometry (SEM-EDX) เพื่อวิเคราะห์ การเปลี่ยนแปลงของปริมาณธาตุองค์ประกอบบนพื้นผิวของโครงเลี้ยงเซลล์ภายหลังการแซ่ใน PBS เป็นเวลา 4 สัปดาห์ ดังตารางที่ 4.2 และ 4.3

ตารางที่ 4.2 ผล EDX แสดงธาตุองค์ประกอบบนพื้นผิวโครงเลี้ยงเซลล์ชั้นใน (A) สูตร HTC1, (B) สูตร HTC2, (C) สูตร HTC3 และ (D) สูตร HTC4 ซินเทอริ่งที่อุณหภูมิ 1150°C ภายหลังการแซ่ใน สารละลาย PBS เป็นเวลา 4 สัปดาห์

| Element | Element % | | | |
|----------------|------------------|-------------|-------------|-------------|
| | HTC1 | HTC2 | HTC3 | HTC4 |
| C | 2.479 | 3.108 | 2.918 | 3.678 |
| O | 14.388 | 16.63 | 18.898 | 17.616 |
| Si | 0.299 | 8.569 | 13.58 | 14.69 |
| P | 22.029 | 17.581 | 14.443 | 11.87 |
| Ca | 59.146 | 50.95 | 47.49 | 44.083 |
| อื่นๆ | 1.659 | 3.162 | 2.671 | 8.063 |
| รวม | 100 | 100 | 100 | 100 |

ตารางที่ 4.3 ผล EDX และองค์ประกอบของพื้นผิวโครงสร้างหลังการเผาชั้นใน (A) สูตร HTC1, (B) สูตร HTC2, (C) สูตร HTC3 และ (D) สูตร HTC4 ชนิดเทอริงที่อุณหภูมิ 1250°C ภายหลังการเผาชั้นในสารละลายน้ำ PBS เป็นเวลา 4 สัปดาห์

| Element | Element % | | | |
|---------|-----------|--------|--------|--------|
| | HTC1 | HTC2 | HTC3 | HTC4 |
| C | 2.988 | 3.282 | 3.608 | 3.579 |
| O | 13.168 | 19.167 | 18.668 | 19.452 |
| Si | 0 | 7.886 | 8.897 | 14.967 |
| P | 18.815 | 17.827 | 15.876 | 12.321 |
| Ca | 51.59 | 49.591 | 49.056 | 41.064 |
| อื่นๆ | 13.439 | 2.247 | 3.895 | 8.617 |
| รวม | 100 | 100 | 100 | 100 |

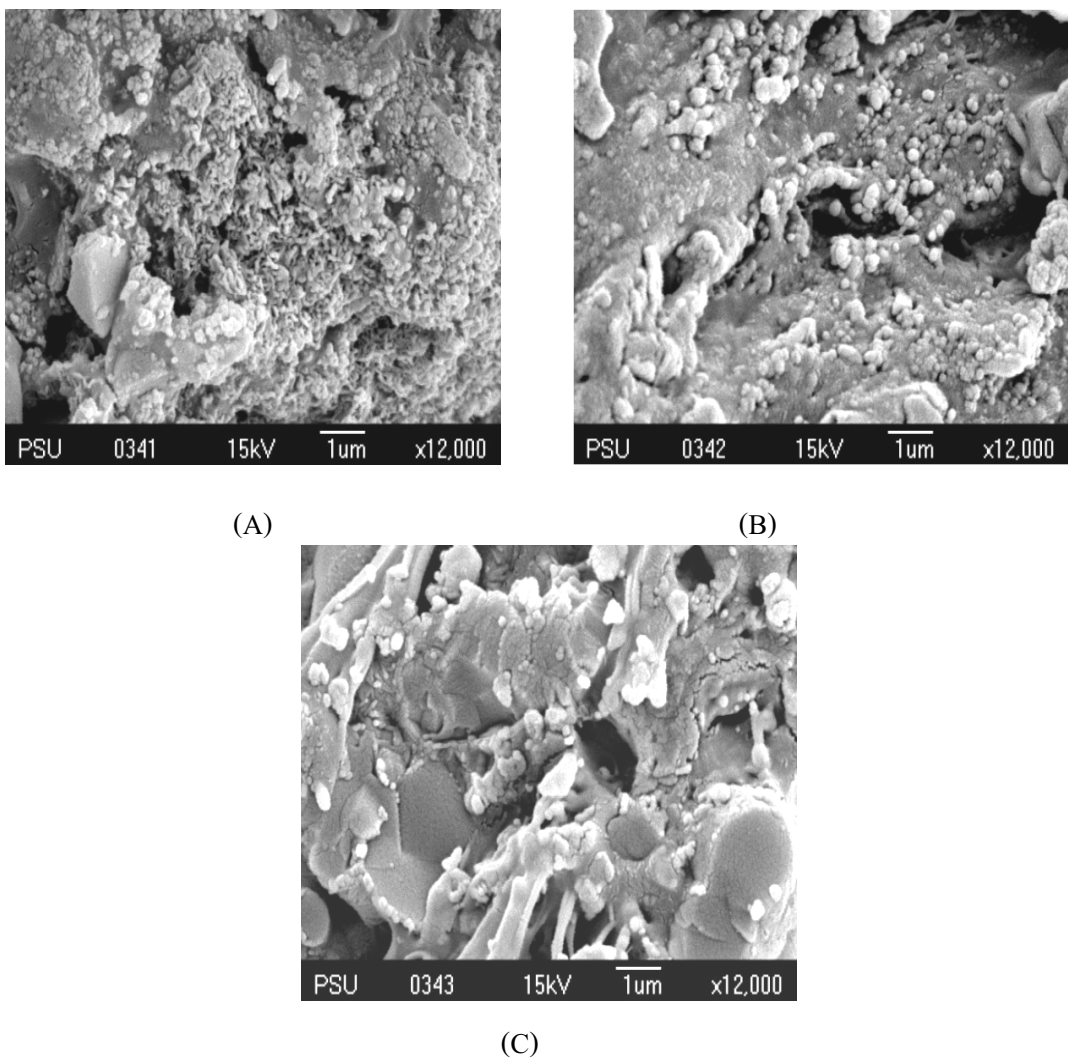
ตารางที่ 4.4 อัตราส่วนของแคลเซียมต่อฟอสฟอรัสของโครงสร้างหลังการเผาชั้นในสารละลายน้ำ PBS เป็นระยะเวลา 4 สัปดาห์

| สูตร | Ca:P | | Si:(Ca+P+Si) | |
|------|---------|---------|--------------|---------|
| | 1150 °C | 1250 °C | 1150 °C | 1250 °C |
| HTC1 | 2.46 | 2.74 | 0.004 | 0.000 |
| HTC2 | 2.90 | 2.78 | 0.111 | 0.105 |
| HTC3 | 3.29 | 3.09 | 0.180 | 0.121 |
| HTC4 | 3.71 | 3.33 | 0.208 | 0.219 |

รูปร่างผลึก apatite ที่เกิดแตกต่างกัน เช่น ภายหลังการเผาชั้นในในสารละลายน้ำ PBS เป็นเวลา 2 สัปดาห์ พบร่วมกับผลึก apatite คล้ายดอกกระหลาบปีและตัวหนอนเนื่องจากผลึกแต่ละประเภทเกิดจากสารตั้งต้นที่แตกต่างกัน ภายหลังเผาชั้นในสารละลายน้ำ PBS เป็นเวลา 4 สัปดาห์ ผลึก apatite รูปเดิมอาจถูกปกคลุมด้วยผลึกรูปใหม่ที่เกิดขึ้นอย่างมากในภายหลัง จากตารางที่ 4.2-4.4 พบร่วมกับผลึก Si:(Ca+P+Si) เพิ่มขึ้นเมื่อสารตั้งต้นมี Si เพิ่มขึ้น

(HTC4>HTC3>HTC2>HTC1) เมื่อนำมาพิจารณาร่วมกับรูปที่ 4.3-4.6 อาจคาดเดาได้ว่า ผลึก apatite ส่วนใหญ่อาจจะเป็นผลึกที่เกิดจาก Si เป็นหลัก หรือผลึก apatite ที่เกิด อาจจะมี Si เป็นองค์ประกอบของหลัก

4.1.3 โครงสร้างทางจุลภาคของโครงเลี้ยงเซลล์ที่เคลือบด้วยสารเคลือบพอลิเมอร์ ภายหลังการเข้าในสารละลาย PBS เป็นเวลา 2 สัปดาห์ วิเคราะห์ด้วยเทคนิค SEM

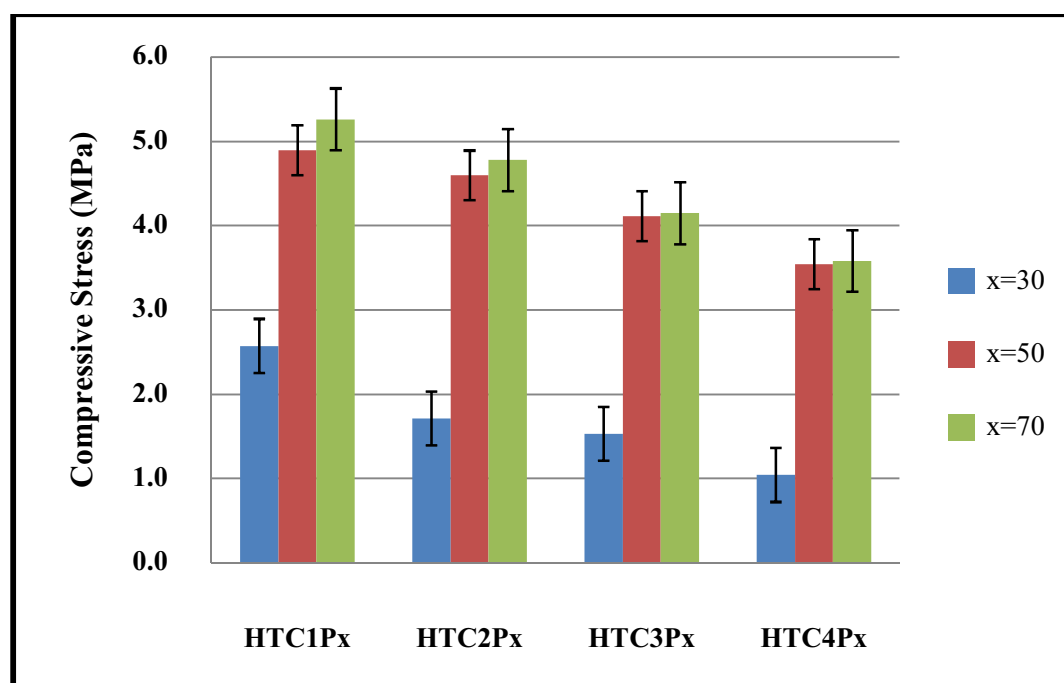


รูปที่ 4.7 ลักษณะทางจุลภาคของโครงเลี้ยงเซลล์ HTC3 ที่เคลือบด้วยสารพอลิคิวป์เรแลคโทน (A) PCL 30 wt.%, (B) PCL 50 wt.%, (C) PCL wt.70 % ภายหลังแช่ในสารละลาย PBS เป็นเวลา 2 สัปดาห์ วิเคราะห์ด้วยเทคนิค SEM

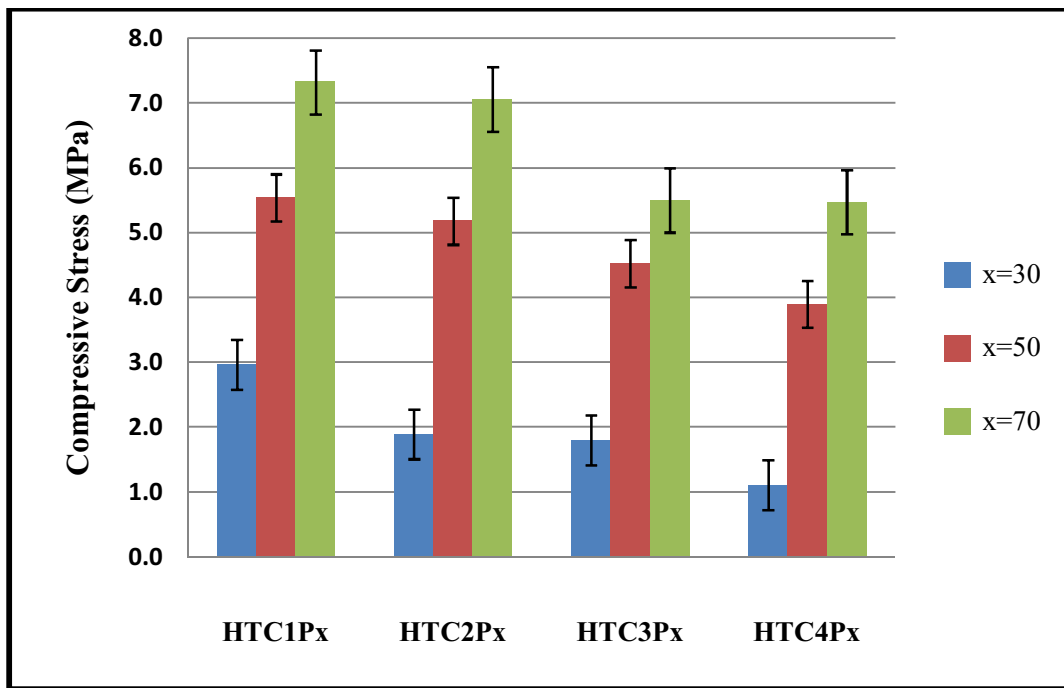
จากรูปที่ 4.7 พบว่าโครงเลี้ยงเซลล์ที่เคลือบด้วยสารเคลือบพอลิเมอร์ %PCL สูงจะไม่ค่อยพับผลึก apatite บนผิวของโครงเลี้ยงเซลล์ เนื่องจากโพลิคาโปรดักต์โถนเป็นสารที่ไม่เปียกน้ำ ป้องกันไ媳รอกซีอะพาไทต์ เบต้า-ไตรแคลเซียมฟอสเฟต และแคลเซียมชิลิกेटไม่ให้สัมผัสกับน้ำ ผลึก apatite จึงเกิดได้น้อย แตกต่างกับสารเคลือบที่มีสารโพลิคาโปรดักต์โถน 30 wt.% ซึ่งจะเกิด apatite ได้มาก อย่างไรก็ตามเมื่อเกิดผลึก apatite มาก ความแข็งแรงของโครงเลี้ยงเซลล์จะลดลง เนื่องจากความแข็งแรงของโครงเลี้ยงเซลล์ที่เตรียมได้ขึ้นอยู่กับปริมาณของโพลิคาโปรดักต์โถน

4.1.4 สมบัติเชิงกลของโครงเลี้ยงเซลล์ที่เคลือบด้วยสารเคลือบพอลิเมอร์

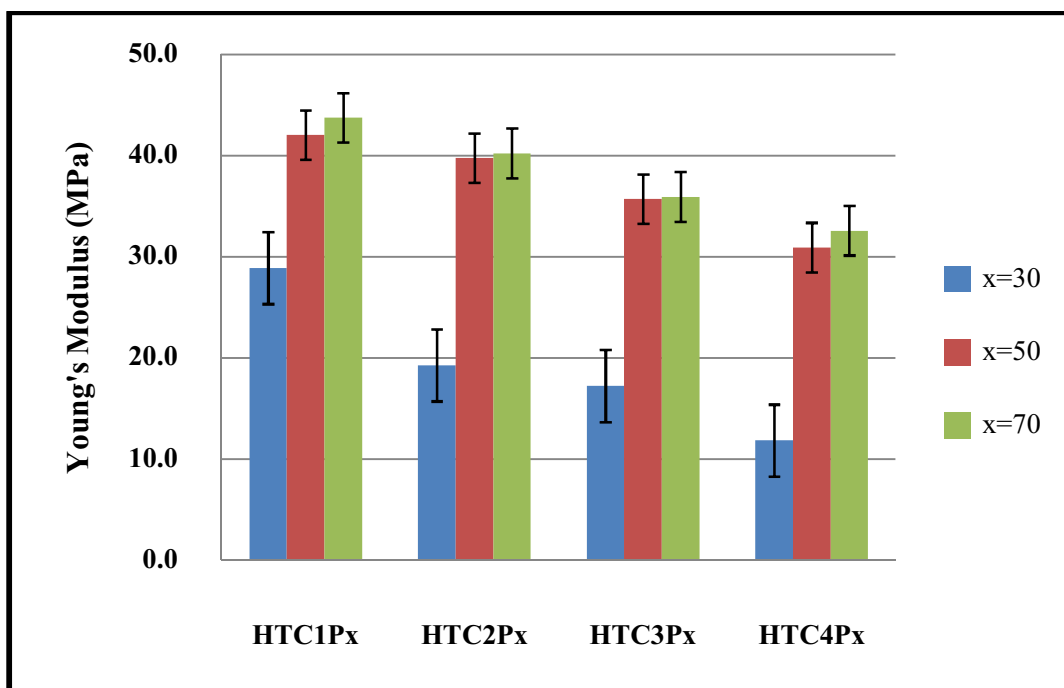
นำโครงเลี้ยงเซลล์ที่เตรียมได้จากสารไ媳รอกซีอะพาไทต์ เบต้า-ไตรแคลเซียมฟอสเฟตและแคลเซียมชิลิกेट มาเคลือบด้วยสารเคลือบพอลิเมอร์ ที่มีโพลิคาโปรดักต์โถน 30, 50 และ 70 wt.% ผลการทดสอบแรงกดเป็นดังรูปที่ 4.8-4.11



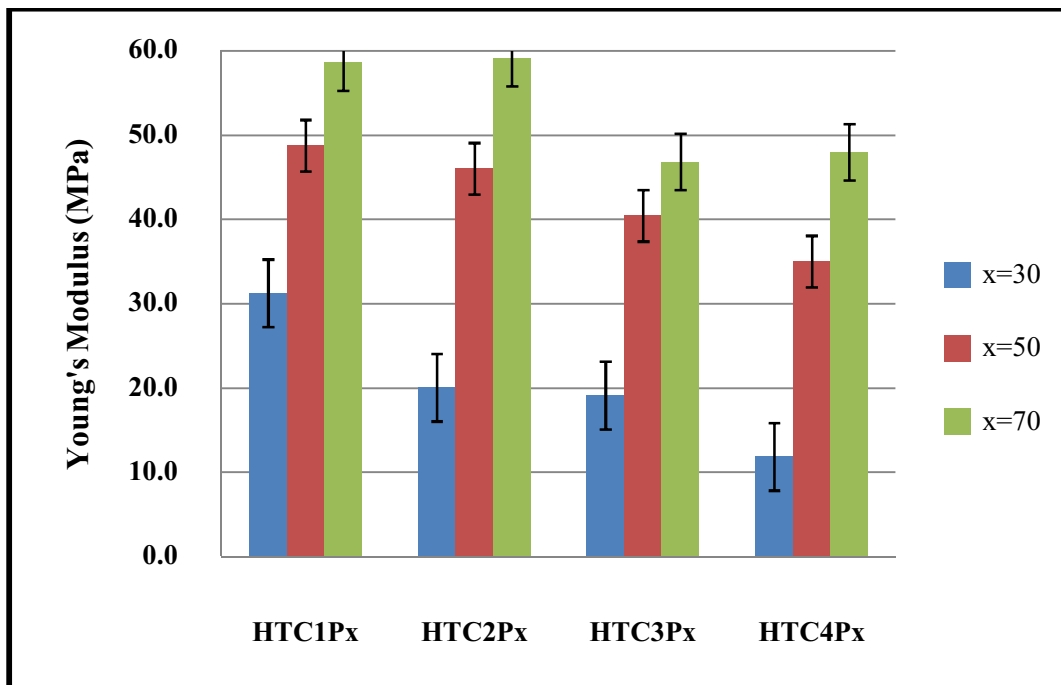
รูปที่ 4.8 ค่าความเค้นแรงอัด (MPa) ของโครงเลี้ยงเซลล์ชั้นในชินเทอร์ที่ 1150 °C และเคลือบด้วยสารเคลือบพอลิเมอร์



รูปที่ 4.9 ค่าความเค้นแรงอัด (MPa) ของโครงเลี้ยงเซลล์ชั้นในชิ้นเทอร์กิ้งที่ 1250 °C และเคลือบด้วยสารเคลือบพอลิเมอร์



รูปที่ 4.10 ค่ามอดูลัสของขังของโครงเลี้ยงเซลล์ชั้นในชิ้นเทอร์กิ้งที่ 1150 °C และเคลือบด้วยสารเคลือบพอลิเมอร์

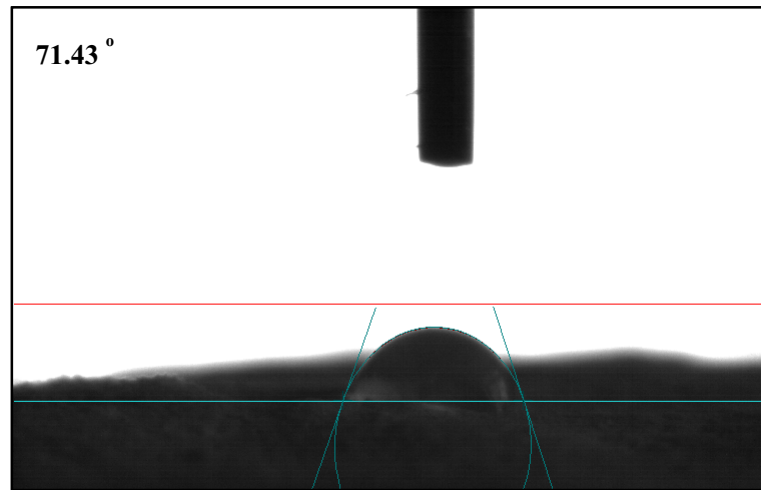


รูปที่ 4.11 ค่ามอคุลัสของยังของ โครงเลี้ยงเซลล์ชั้น ในชินเทอริ่งที่ 1250 °C และเคลือบด้วยสารเคลือบพอลิเมอร์

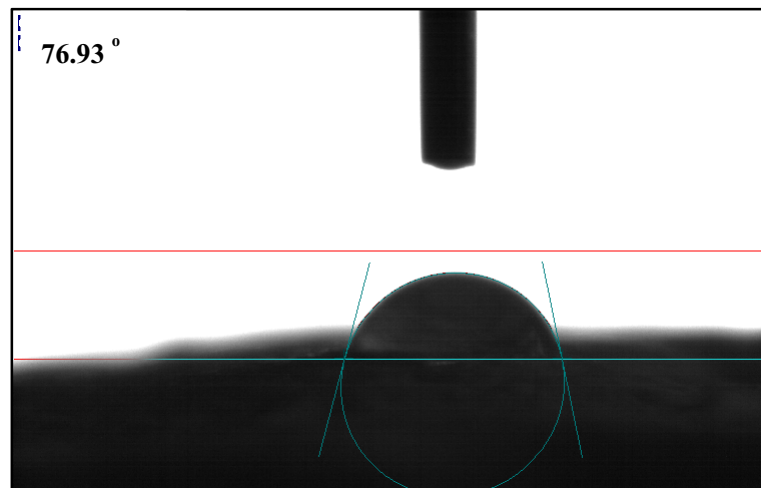
องค์ประกอบและอุณหภูมิที่ใช้ในการชินเทอริ่งของ โครงเลี้ยงเซลล์ชั้น ในไม่ส่งผลต่อการเพิ่มการรับแรงอัดเท่าที่ควร แต่ส่วนที่เป็นตัวแปรหลักของการรับแรงอัดคือ สารเคลือบพอลิเมอร์ผสมที่มีเบอร์เซ็นต์ PCL เพิ่มขึ้น ก่าวกือ โครงเลี้ยงเซลล์ชั้น ในที่เคลือบด้วยสารเคลือบพอลิเมอร์ที่มีพอลิคาโรแลคโตน 70 %wt จะรับแรงอัดได้ดีที่สุด รองลงมาเป็นสารเคลือบพอลิเมอร์ที่มีพอลิคาโรแลคโตน 50 %wt และ 30 %wt ตามลำดับ ($\text{HTCxP70} > \text{HTCxP50} > \text{HTCxP30}$) โดยสูตรที่รับแรงอัดได้มากที่สุดคือ HTC1P70 รับแรงกดได้ 7.318 MPa เพราะไม่มีแคลเซียมซิลิเกตเป็นองค์ประกอบ จึงสรุปได้ว่าแคลเซียมซิลิเกตเป็นตัวทำให้การรับแรงอัดของ โครงเลี้ยงเซลล์มีค่าลดลง เป็นไปในท่านองเดียวกับรูปที่ 4.8 และ 4.9 คือการรับแรงอัดของ $\text{HTC1Px} > \text{HTC2Px} > \text{HTC3Px} > \text{HTC4Px}$ เมื่อ x มีค่าเท่ากัน (x คือ เบอร์เซ็นต์ของพอลิคาโรแลคโตนในสารเคลือบพอลิเมอร์ โดย $x = 30, 50$ และ 70)

รูปที่ 4.10 และ 4.11 ค่ามอคุลัสของยังของ โครงเลี้ยงเซลล์ชั้น ในชินเทอริ่งที่ 1150 °C และ 1250 °C พบว่า ค่ามอคุลัสของยังขึ้นอยู่กับเบอร์เซ็นต์ของพอลิคาโรแลคโตนในสารเคลือบพอลิเมอร์ เมื่อปริมาณพอลิคาโรแลคโตนเพิ่ม มอคุลัสของยังก็จะเพิ่มขึ้นด้วย คือ โครงเลี้ยงเซลล์ HTC1P70 ที่แกนชั้นในผ่านการชินเทอริ่งที่ อุณหภูมิ 1250 °C จะให้ค่ามอคุลัสของยังสูงสุด (58.66 MPa)

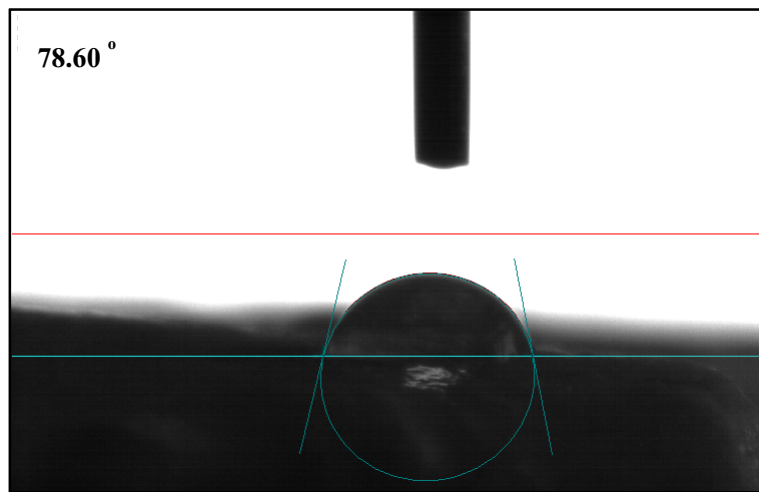
4.1.5 ผล contact angle ของโกรงเลี้ยงเซลล์ที่เคลือบพอลิเมอร์



รูปที่ 4.12 ค่ามุมสัมผัสของโกรงเลี้ยงเซลล์ที่เคลือบด้วยสารเคลือบพอลิเมอร์ที่มีพอลิคาโรบอร์ไดน์ 30 %wt



รูปที่ 4.13 ค่ามุมสัมผัสของโกรงเลี้ยงเซลล์ที่เคลือบด้วยสารเคลือบพอลิเมอร์ที่มีพอลิคาโรบอร์ไดน์ 50 %wt



รูปที่ 4.14 ค่ามุมสัมผัสของโครงเลี้ยงเซลล์ที่เคลือบด้วยสารเคลือบพอลิเมอร์ที่มีพอลิคาโรปราแลค โตน 70 %wt

รูปที่ 4.14 ถึง 4.16 ค่ามุมสัมผัสของโครงเลี้ยงเซลล์ที่เคลือบด้วยสารเคลือบพอลิเมอร์ที่มีพอลิคาโรปราแลค โตน 30 %wt, 50 %wt และ 70 %wt มีค่าเท่ากับ 71.43° , 76.93° และ 78.60° ตามลำดับ แสดงว่าพื้นผิวของโครงเลี้ยงเซลล์ที่มีพอลิคาโรปราแลค โตนในสารเคลือบพอลิเมอร์อยู่ 70 %wt มีความไม่ชอบน้ำมากที่สุด

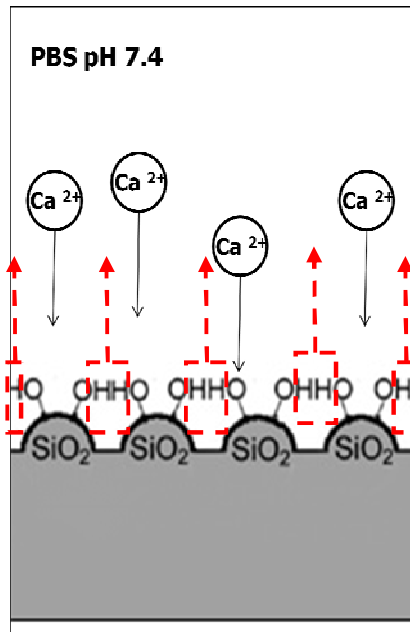
4.2 วิจารณ์ผลการทดลอง

จากรูปที่ 4.1 พบว่า HTC1 มีขนาดเกรนที่ใหญ่ เกิดจากการหลอมเหลวของไฮดรอกซิอะพาไทต์ (จุดหลอมเหลว 1100 °C) เมื่อชินเทอริงที่ 1150 °C ทำให้เกิดการเขื่อนของเกรนไฮดรอกซิอะพาไทต์กับเกรนของเบต้าไตรแคลเซียมฟอสเฟต (จุดหลอมเหลว 1670 °C) ที่หลอมเหลวได้เล็กน้อย (ไฮดรอกซิอะพาไทต์หลอมรวมกับเบต้าไตรแคลเซียมฟอสเฟต เนื่องจากเกิดการเปลี่ยนเฟสของไฮดรอกซิอะพาไทต์ที่อุณหภูมิสูง ถลายเป็นเฟสเดียวกับเบต้าไตรแคลเซียมฟอสเฟต โดยยก่อนการเปลี่ยนเฟสมีการปลดปลั้งงานออกมากจึงทำให้เกิดการเปลี่ยนเฟสและหลอมรวมตัวกัน)

เมื่อเปรียบเทียบลักษณะเกรนกับสูตรอื่นๆ ที่มีแคลเซียมซิลิเกตซึ่งมีขนาดอนุภาคเล็กกว่าไฮดรอกซีอะพาไทต์และเบต้าไตรแคลเซียมฟอสเฟตมาก พบว่า เมื่อปริมาณแคลเซียมซิลิเกตเพิ่มขึ้นขนาดรูปทรงจะลดลง เนื่องจากแคลเซียมซิลิเกตเข้าไปอยู่ในช่องระหว่างระหว่างเกรนไฮดรอกซีอะพาไทต์และเบต้าไตรแคลเซียมฟอสเฟต เนื่องจากแคลเซียมซิลิเกตที่มีจุดหลอมเหลว 1540°C จึงหลอมเหลวได้เล็กน้อยที่ 1150°C เกิดเป็นเกรนขนาดเล็กบริเวณรอยต่อของเกรนขนาดใหญ่ เกิดลักษณะเกรนทวนองเดียวกันกับการินเทอริงที่ 1250°C พบว่าอุณหภูมิที่ใช้ชินเทอริงโครงเลี้ยงเซลล์ชั้นในมีผลต่อขนาดของเกรนขนาดรูปทรง และจำนวนรูปทรง คือ เมื่ออุณหภูมิในการชินเทอริงสูงขึ้น ขนาดเกรนและรูปทรงจะใหญ่ขึ้น เนื่องจากสารที่เป็นองค์ประกอบของโครงสร้างเลี้ยงเซลล์ชั้นในเกิดการหลอมรวมตัวกันได้มากขึ้น ซึ่งระหว่างระหว่างอนุภาคจึงลดลง รูปทรงขนาดเล็กบางส่วนถูกหลอมปิดไปหลังจากการชินเทอริงเหลือเฉพาะรูปทรงที่มีขนาดใหญ่

ผลของแคลเซียมซิลิเกตต่อขนาดรูพรุนและความพรุน พบว่าเมื่อมีปริมาณเพิ่มขึ้นขนาดของรูพรุนจะลดลง แต่ความพรุนจะเพิ่มขึ้น โดยมีอนุภาคของแคลเซียมซิลิเกตแทรกอยู่ระหว่างรูพรุนเป็นจำนวนมาก เนื่องจากแคลเซียมซิลิเกตมีความหนาแน่นต่ำกว่าไออกอโซซีอะพาไทต์และเบต้าไตรแคลเซียมฟอสเฟต จึงพึงกระเจียดได้ง่าย การทดสอบโครงสร้างเหล็กชั้นในที่มี %CS สูงๆ จึงมีความยากลำบาก แคลเซียมซิลิเกตบางส่วนจับตัวกันเป็นกลุ่ม จึงไม่สามารถถ่วงเคลือบโครงสร้างเหล็กให้มีพื้นผิวที่สม่ำเสมอได้

หลังการแซ่โกรงเลี้ยงเซลล์ในสารละลายน้ำ PBS โกรงเลี้ยงเซลล์จะมีสภาพเป็น active site Ca^{2+} แตกตัวออกมายจากห้องไฮดรอกซิอะพาไทต์ เป็นตัวไตรแคลเซียมฟอสเฟตและแคลเซียมซิลิเกต แต่แคลเซียมซิลิเกตเป็นตำแหน่งที่เกิด nucleation เพราะบริเวณพื้นผิวมีหมู่ Si-OH เมื่อเวลาผ่านไป H^+ ถูกดูดออกโดยเป็น $\text{Si}-\text{O}^-$ (nucleation site) ดังนั้น Ca^{2+} จึงมาจับและเกิดเป็นผลึก apatite ที่บริเวณนี้ [33-35] ดังรูปที่ 4.15



รูปที่ 4.15 กระบวนการเกิดผลึก apatite

สาเหตุที่ผลึก apatite ที่เกิดขึ้นบนโครงสร้างเคลือบอย่างไม่ต่อเนื่อง เนื่องจาก แคลเซียมซิลิเกตอยู่ในช่องว่างระหว่างอนุภาคของไฮดรอกซีอะพาไทต์และเบต้าไตรแคลเซียมฟอสเฟต และบริเวณรอยต่อของเกรน จึงเป็นตำแหน่งที่เกิด apatite เมื่อปริมาณแคลเซียมซิลิเกตในโครงสร้างเคลือบเพิ่มขึ้น ผลึก apatite เกิดมากขึ้น ($\text{HTC}_4 > \text{HTC}_3 > \text{HTC}_2 > \text{HTC}_1$)

โครงสร้างเคลือบที่มีและไม่มีแคลเซียมซิลิเกตเป็นองค์ประกอบแรกในสารละลาย PBS เป็นระยะเวลา 2 และ 4 สัปดาห์ มีรูปร่างผลึก apatite แตกต่างกัน เพราะที่พื้นผิวของโครงสร้างเคลือบมี nucleation site ที่แตกต่างกัน [36]

โครงสร้างเคลือบชั้นในที่เตรียมโดยไม่ผสมแคลเซียมซิลิเกตลงไปสามารถรับแรงกดได้ดีที่สุดเมื่อนำไปเผาต่อริ่งที่ 1250°C เนื่องจากทำให้ไฮดรอกซีอะพาไทต์หลอมรวมตัว ทำให้ช่องว่างระหว่างอนุภาคของสารคล่อง โครงสร้างเคลือบมีความพรุนคล่อง ขนาดเกรนใหญ่ขึ้นทำให้สามารถรับแรงได้มากขึ้น

ความสามารถในการรับแรงของโครงสร้างเคลือบชั้นในที่เคลือบสารเคลือบโพลิเมอร์ที่มีโพลิคาโร่แลคโตโน ไม่ได้ขึ้นอยู่กับองค์ประกอบของโครงสร้างเคลือบชั้นในอย่างเป็นนัยสำคัญ แต่ขึ้นอยู่กับปริมาณของโพลิคาโร่แลคโตโนในสารเคลือบโพลิเมอร์ ถ้ามีปริมาณโพลิคาโร่แลคโตโนมาก ค่าความเดินแรงอัดจะมีค่ามากด้วย โดยสูตรที่รับแรงอัดและมอดูลัสของขังมากที่สุดคือ HTC1P70 ซึ่งมีแกนชั้นในเป็น HA:TCP เท่ากับ 2:1 และ PCL เคลือบอยู่ 70 %wt รับแรงได้สูงสุด 7.318 MPa สามารถนำไปประยุกต์ใช้กับ cancellous bone [41]

มุนสัมพัสดของ โกรงเลี้ยงเชลล์ที่เคลือบด้วยสารเคลือบพอลิเมอร์มีค่าสูง เมื่อปริมาณพอลิคาโปรดักต์มาก โกรงเลี้ยงเชลล์จะมีความไม่ชอบน้ำสูง เนื่องจากพอลิคาโปรดักต์เป็นสารไม่มีข้อจัดละลายน้ำได้ยาก

บทที่ 5

สรุปผลและข้อเสนอแนะ

5.1 สรุปผล

จากการเตรียมโครงเลี้ยงเซลล์ชั้นในที่ประกอบด้วยไฮดรอกซิโอฟาไฟต์ เบต้าไตรแคลเซียมฟอสเฟต และแคลเซียมซิลิเกตซินเทอริงที่อุณหภูมิ 1150°C หรือ 1250°C เป็นเวลา 2 ชั่วโมง จากนั้นเคลือบด้วยสารเคลือบพอลิเมอร์ที่มีพอลิคาโปรดักโตน 30, 50 และ 70 %wt สามารถสรุปผลการทดลองได้ดังนี้

1. ขนาดของรูพรุนและค่าความพรุนขึ้นอยู่กับปริมาณของแคลเซียมซิลิเกต คือ เมื่อแคลเซียมซิลิเกตเพิ่ม ขนาดรูพรุนลดลง แต่ค่าความพรุนเพิ่มขึ้น เพราะอนุภาคของแคลเซียมซิลิเกตไปแทรกอยู่ระหว่างอนุภาคของไฮดรอกซิโอฟาไฟต์และเบต้าไตรแคลเซียมซิลิเกต
2. ขนาดเกรนของโครงเลี้ยงเซลล์ชั้นในขึ้นอยู่กับอุณหภูมิซินเทอริง คือ เมื่อซินเทอริงที่อุณหภูมิสูงกว่า ขนาดเกรนใหญ่กว่า เพราะ ไฮดรอกซิโอฟาไฟต์เกิดการหลอมรวมตัวกับเบต้าไตรแคลเซียมได้มากขึ้น
3. สูตรโครงเลี้ยงเซลล์ที่เกิดผลึก apatite ได้สำเร็จเมื่อ PBS ที่ 2 และ 4 สัปดาห์ คือ HTC3 ที่มีไฮดรอกซิโอฟาไฟต์ 40 %wt เบต้าไตรแคลเซียมฟอสเฟต 20 %wt และแคลเซียมซิลิเกต 40 %wt ซินเทอริงที่ 1250°C เป็นเวลา 2 ชั่วโมง
4. การรับแรงอัดขึ้นอยู่กับปริมาณของพอลิคาโปรดักโตนที่ใช้ในสารเคลือบพอลิเมอร์ เมื่อพอลิคาโปรดักโตนเพิ่ม การรับแรงอัดและค่ามอดูลัสของยังเพิ่มขึ้น แต่จะลดลงเมื่อปริมาณแคลเซียมซิลิเกตเพิ่มขึ้น สูตรโครงเลี้ยงเซลล์ที่รับแรงอัดและค่ามอดูลัสของยังมากที่สุด คือ HTC1P70 ที่มีพอลิคาโปรดักโตน 70 %wt แต่มีความชอบน้ำน้อยที่สุด
5. ค่ามูนสัมผัส เป็นค่าที่สื่อถึงความชอบน้ำของโครงเลี้ยงเซลล์ จะมีความชอบน้ำ ละลายน้ำได้เมื่อปริมาณแคลเซียมซิลิเกตเพิ่มขึ้น แต่จะลดลงเมื่อปริมาณพอลิคาโปรดักโตนเพิ่มขึ้น

5.2 ข้อเสนอแนะ

จากผลการทดลองที่ได้จากการวิจัยนี้ ทำให้ได้ข้อเสนอแนะที่น่าสนใจในการทำการวิจัยเพิ่มเติมในเรื่องที่เกี่ยวข้อง ดังต่อไปนี้

1. ทำการเตรียมโครงเลี้ยงเซลล์โดยการเผาที่อุณหภูมิสูงกว่า 1250°C เพื่อให้การหลอมรวมตัวของไชครอกซีอะพาไทต์ เบต้าไตรแคลเซียมฟอสเฟต และแคลเซียมซิลิเกตเกิดได้มากขึ้น
2. ทำการปรับปรุงวิธีผสมสารแคลเซียมให้ผสมเข้ากับสารไชครอกซีอะพาไทต์ และเบต้าไตรแคลเซียมฟอสเฟตอย่างสมบูรณ์
3. ทำการเพิ่มสารชนิดอื่นๆเพื่อปรับปรุงคุณสมบัติเชิงกลให้ดีขึ้น เช่น การรับแรงกด แรงดึง
4. ทำการทดลองนำโครงเลี้ยงเซลล์ที่เตรียมได้ทดลองเลี้ยงในสัตว์ทดลอง เพื่อศึกษาการเข้ากันได้กับเนื้อเยื่อ ความสามารถในการเหนียวนำให้เกิดการสร้างกระดูกใหม่ และระยะเวลาในการสลายตัว

เอกสารอ้างอิง

- [1] “กระดูก” Available online: <http://www.bloggang.com> (สืบค้นเมื่อ 10 มกราคม 2554).
- [2] J. Reignier, M. A. Huneault, Preparation of interconnected poly(ϵ -caprolactone) porous scaffolds by a combination of polymer and salt particulate leaching. *Polymer* 47, 4703-4717 (2006).
- [3] C. Mauli Agrawal, Robert B. Ray, Biodegradable polymeric scaffolds for musculoskeletal regeneration. *J. Biomed. Mater. Res.* 55, 141-150 (1998).
- [4] สุกิจ แสงนิพันธ์กุล, กระดูกและกระดูกอ่อน. คณะแพทยศาสตร์ ภาควิชาอร์โธปิดิกส์ มหาวิทยาลัยขอนแก่น (1990).
- [5] “ระบบโครงกระดูก” Available online: <http://school.obec.go.th> (สืบค้นเมื่อ 5 มกราคม 2554).
- [6] “กระดูก” Available online: <http://th.wikipedia.org> (สืบค้นเมื่อ 5 มกราคม 2554).
- [7] “กระบวนการสร้างกระดูก” Available online: <http://www.bioscience.org> (สืบค้นเมื่อ 10 มกราคม 2554)
- [8] W. Suchanek, M. Yashima, Processing and properties of hydroxyapatite-based biomaterials for use as hard tissue replacement implants. *J. Master. Res.* 13(1) (1998).
- [9] R.J. Koch, G. K. Gorti, Tissue engineering with chondrocytes. *Facial Plastic Surgery* 18, 59-68 (2002).
- [10] R. Langer, Tissue engineering. *Molecular Therapy* 1, 12-15 (2000).
- [11] A. Atala, R.P. Lanza, Methods of tissue engineering. 1st ed. New York: Academic Press. (2002).
- [12] B.D. Boyan, C.H. Romero J., and Z. Schwartz, Bone and cartilage tissue engineering. *Clinical Plastic Surgery* 26, 629-645 (1999).
- [13] D.W. Hutmacher, Scaffolds in tissue engineering bone and cartilage. *Biomaterial* 21, 2529-2543 (2000).
- [14] L. Cerroni, R. Filocamo, M. Fabbri, C. Piconi, S. Caropreso and S.G. Codo. Growth of osteoblast-like cells on porous hydroxyapatite ceramics: An in vitro study. *Biomolecular engineering* 19, 119-124 (2002).

- [15] C. Kumar. *Tissue, Cell and Organ Engineering. Nanotechnologies for the life science volume 9, 4-5, 227-234 (2011).*
- [16] นราภูช ทองมะโรงสี. การผลิตโครงสร้างเลี่ยงเซลล์จากวัสดุที่บอยสลายได้ทางชีวภาพเพื่องานวิศวกรรมเนื้อเยื่อกระดูกอ่อน. ภาควิชาวิศวกรรมเคมี คณะวิศวกรรมศาสตร์ จุฬาลงกรณ์มหาวิทยาลัย, (2003).
- [17] “hydroxyapatite” Available online: <http://us.chemicalbook.com> (สืบค้นเมื่อ 11 มกราคม 2554)
- [18] S. Sprio, A. Tampieri, G. Celotti and E. Landi, Development of hydroxyapatite/ calcium silicate composites addressed to the design of load-bearing bone scaffolds. *Journal of mechanical behavior of biomedical materials* 2, 147-155 (2008).
- [19] สุพัตรา จินาวัฒน์. การขึ้นรูปไฮดรอกซิอะพาไทต์ชนิดพรุนโดยใช้ไคแคลเซียมฟอสเฟต ไดไฮเดรต และไดแคลเซียมฟอสเฟตและไฮดรัสจากอุตสาหกรรมกระดูกสัตว์. เทคโนโลยีเชรานิก คณะวิทยาศาสตร์ จุฬาลงกรณ์มหาวิทยาลัย, (1999).
- [20] “chemical properties” Available online: <http://www.nycominerals.com> (สืบค้นเมื่อ 20 มีนาคม 2554).
- [21] “wallastonite” Available online: <http://www.rtvanderbilt.com> (สืบค้นเมื่อ 20 มีนาคม 2554)
- [22] “polycaprolactone” Available online: <http://reference.findtarget.com> (สืบค้นเมื่อ 20 มีนาคม 2554)
- [23] H.Y. Kweon, M.K. Yoo, I.K. Park, H.C. Lee, H.S. Lee, J.S. Oh T. Akike and C.S. Cho. A novel degradable polycaprolactone networks for tissue engineering. *Biomaterials* 24, 801-808 (2003).
- [24] สุภาสินี ลิมปานุกาพ. การเตรียมโครงสร้างวัสดุชีวภาพแบบมีรูพรุนด้วยเทคนิคหล่อแบบ/กำจัดอนุภาคนิก. คณะวิทยาศาสตร์ มหาวิทยาลัยขอนแก่น, (2007).
- [25] H.W. Kim, J.C. Knowles and H.E. Kim. Hydroxyapatite/poly(ϵ -caprolactone) composite coatings on hydroxyapatite porous bone scaffold for drug delivery. *Biomaterials* 25, 1279-1287 (2004).
- [26] N. Kivrak and A. Cuneyt Tas. Synthesis of calcium hydroxylapatite-tricalcium phosphate (HA-TCP) composite bioceramic powders and their sintering behavior. *J.Am. Ceram. Soc.*, 81[9] 2245-2252 (1998).

- [27] J.A. Juhasz, S.M. Best and R. Brooks. Mechanical properties of glass ceramic A-W-polyethylene composites: effect of filler content and particle size. *Biomaterials* 25, 949-955 (2004).
- [28] S. Limpanuphap, Preparation of porous poly (ϵ -capro-lactone) structure, 31st Congress on Science and Technology of Thailand at Suranaree University of Technology, (2005). Available online: http://www.scisoc.or.th/stt/31/sec_e/paper/stt31_E0064.pdf, October 25, 2009.
- [29] S. Limpanuphap, "Preparation of Porous Biomaterial Structures by a Solvent Casting/Particulate Leaching Technique". Available online: http://www.champa.kku.ac.th/kkurj/book/12_3/323.pdf, December 10, 2009.
- [30] W. Xue, X. Liu, X. Zheng and C. Ding. In vivo evaluation of plasma-sprayed wollastonite coating. *Biomaterials*, 26, 3455-3460 (2005).
- [31] W. Cheng, H. Li and J. Chang. Fabrication and characterization of β -dicalcium silicate /poly(D, L-lactic acid) composite scaffolds. *Materials Letters*, 59, 2214–2218 (2005).
- [32] S. Xu, K. Lin, Z. Wang, J. Chang, L. Wang, J. Lu and C. Ning. Reconstruction of calvarial defect of rabbits using porous calcium silicate bioactive ceramics. *Biomaterials* 29, 2588-2596 (2008).
- [33] M.G. Gandolfi, G. Ciapetti, P. Taddei, F. Perut, A. Tinti, M. Vivan, B. van eerbeek and C. Prati. Apatite formation on bioactive calcium-silicate cements for dentistry affects surface topography and human marrow stromal cells proliferation. *Dental Materials* 26, 974-992 (2010).
- [34] C. Ohtsuki, M. Kamitakahara , T. Miyazaki. Coating bone-like apatite onto organic substrates using solutions mimicking body fluids. *J Tissue Eng Regen Med* 1, 33–38 (2007).
- [35] S.J. Ding, M.Y. Shie, C.Y. Wang. Novel fast-setting calcium silicate bone cements with high bioactivity and enhanced osteogenesis in vitro. *J Mater Chem* 19, 1183–1190 (2009).
- [36] S.V. Dorozhkin. A review on the Dissolution Models of Calcium Apatite. *Progress in Crystal Growth and Characterization of Materials*, 45-61 (2002).

- [37] “ความคื้น ความเครียด” Available online: <http://www.eng.su.ac.th/me/elearning> (สืบคื้นเมื่อ 15 ตุลาคม 2553)
- [38] “SEM” Available online: <http://www.nano.kmitl.ac.th> (สืบคื้นเมื่อ 20 ตุลาคม 2553)
- [39] “EDX” Available online: <http://www.nn.nstda.or.th> (สืบคื้นเมื่อ 20 ตุลาคม 2553)
- [40] “PBS solution” Available online: <http://kb.psu.ac.th> (สืบคื้นเมื่อ 11 มกราคม 2554)
- [41] “Bone mechanical properties” Available online: www.tcd.ie/bioengineering (สืบคื้นเมื่อ 11 กันยายน 2554)

ภาคผนวก

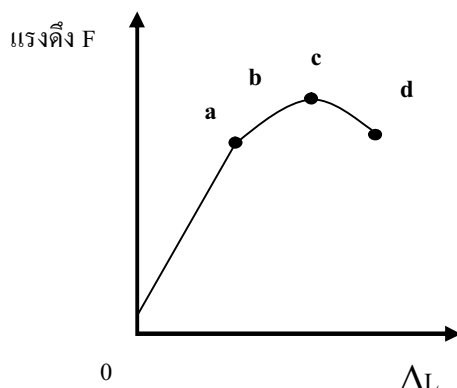
ภาคผนวก ก

ทฤษฎีพิมเติม

1. ความคื้นและความเครียดในวัสดุ [37]

1.1 กฎของสุก

กฎของสุก (Hooke's law) เมื่อนำเส้นโลหะ เช่น เส้นลวด เหล็กหรือทองแดงมาดึง จะพบว่า ความยาวของเส้นโลหะที่ยืดออกเป็นปัญหาโดยตรงกับขนาดของแรงดึง ดังแสดงในรูปที่ ก.1



รูปที่ ก.1 ความสัมพันธ์ระหว่างแรงดึงกับความยาวของเส้นโลหะที่ยืดออก

จากกราฟ สรุปได้ว่า

1. ช่วง oa คือ ช่วงที่เป็นไปตามกฎของสุก โดยจุด a เรียกว่า จุดจำกัดการแปรผันโดยตรง (Proportion limit) และถ้าออกแรงอีกเล็กน้อยถึงจุด b และอาจแรงออก จะทำให้ลวดโลหะ มีความยาวกลับสู่ความยาวเดิมได้ เรียกจุดที่ b นี้ว่า จุดจำกัดสภาพยืดหยุ่น (Elastic limit)

2. ตั้งแต่จุดที่ b เป็นต้นไป เส้นโลหะมีการเปลี่ยนแปลงรูปอย่างถาวร กล่าวคือ เมื่อ เอาแรงออก ลวดโลหะที่ยืดออกจะไม่สามารถหดคืนสภาพกลับไปยังเดิมได้

3. ที่จุด c เรียกว่า จุดคราก (Yield point) คือ จุดที่ความยาวของเส้นโลหะเพิ่มขึ้น อย่างรวดเร็ว ในขณะที่ออกแรงดึงเพียงเล็กน้อย

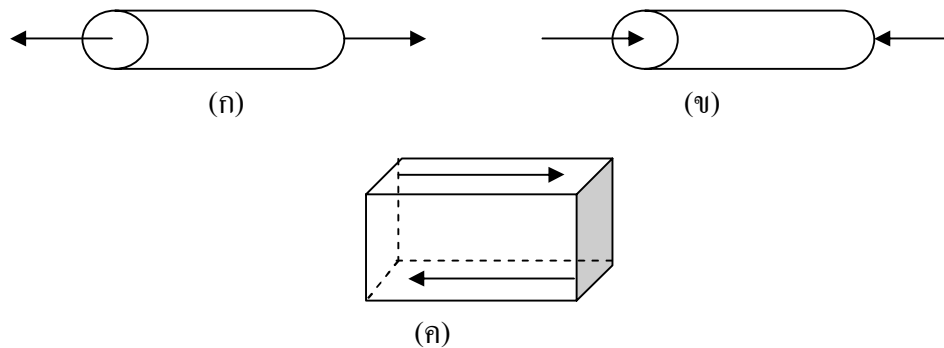
4. จุด d เส้นโลหะจะขาด เรียกว่า จุดแตกหัก (Breaking point)

5. การผิดรูปแบบยืดหยุ่น (Elastic deformation) เกิดขึ้นในช่วง oa เรียกว่า สภาพของวัตถุในช่วงนี้ว่า สภาพยืดหยุ่น (Elasticity)

6. การผิดรูปแบบพลาสติก (Plastic deformation) เกิดขึ้นในช่วง bd วัตถุจะเปลี่ยนรูปอย่างถาวร

1.2 แรงที่ทำให้วัตถุผิดรูป

แรงที่ทำให้วัตถุผิดรูปมีด้วยกัน 3 แบบ ดังรูปที่ ก.2



รูปที่ ก.2 แรงที่ทำให้วัตถุผิดรูป

(ก) แรงดึง (ข) แรงอัด (ค) แรงเฉือน

1) แรงดึง (Tensile forces) คือแรงที่กระทำต่อวัตถุแล้วทำให้วัตถุมีความยาวเพิ่มขึ้น

2) แรงอัด (Compression forces) คือแรงที่กระทำต่อวัตถุแล้วทำให้วัตถุมีความยาวลดลง

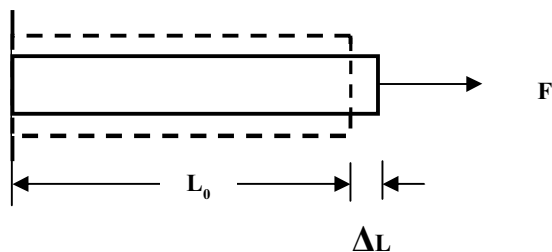
3) แรงเฉือน (Shear forces) คือแรงที่กระทำต่อวัตถุแล้วทำให้วัตถุเลื่อนไป หรือทำให้เท่งวัตถุบิดรูปร่างไปจากเดิมตามแนวยาว เรียกว่า แรงบิด (Forces of torsion)

1.3 ความเค้นและความเครียด

ความเค้น (Stress, σ) คือ อัตราส่วนของแรงที่ตั้งฉากกับผิว (F) ต่อพื้นที่ภาคตัดขวาง (A)

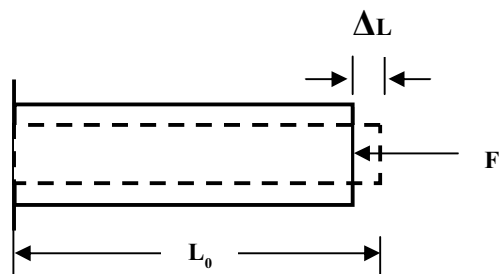
$$\sigma = F/A$$

ความเค้นดึง (Tensile stress) คือ อัตราส่วนของแรงดึงที่ตั้งฉากกับผิว (F) ต่อพื้นที่ภาคตัดขวาง (A) มีผลทำให้วัสดุยาวขึ้นดังรูปที่ ก.3



รูปที่ ก.3 ความเค้นดึง

ความเค้นอัด (Compressive stress) คือ อัตราส่วนของแรงอัดที่ตั้งฉากกับผิว (F) ต่อพื้นที่ภาคตัดขวาง (A) มีผลทำให้วัสดุหดลงดังรูปที่ ก.4



รูปที่ ก.4 ความเค้นอัด

ความเครียดตามยาว (Longitudinal strain, ϵ) คือ อัตราส่วนของความยาวที่เปลี่ยนไป (ΔL) ต่อความยาวเดิม (L_0)

$$\epsilon = \Delta L/L_0$$

ความเครียดดึง (Tensile strain) คือ อัตราส่วนของความยาวที่เพิ่มขึ้น (ΔL) ต่อความยาวเดิม (L_0)

ความเครียดอัด (Compressive strain) คือ อัตราส่วนของความยาวที่ลดลง (ΔL) ต่อความยาวเดิม (L_0)

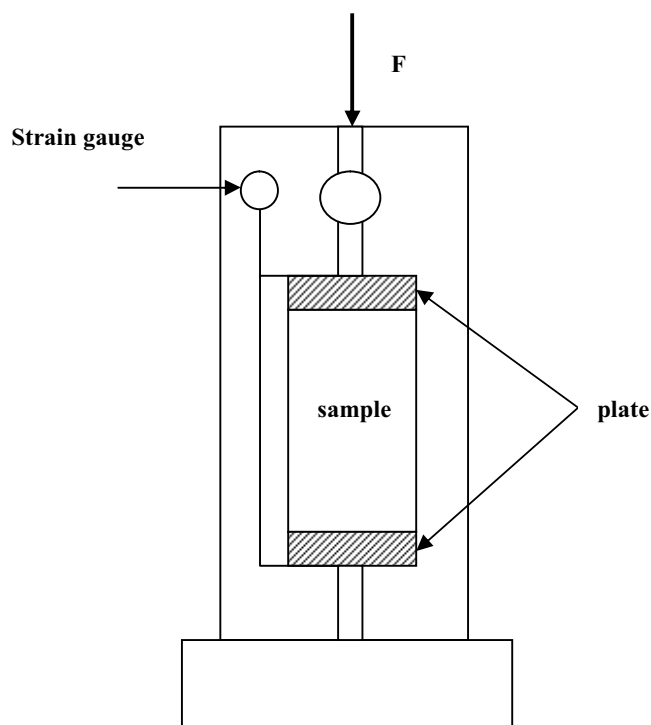
1.4 modulus of elasticity (Young's modulus)

modulus of elasticity (E) คือ อัตราส่วนของความเค้นตามยาว (σ) ต่อความเครียดตามยาว (ϵ)

$$E = \sigma / \epsilon = (F/A) / (\Delta L/L_0)$$

modulus of elasticity มีหน่วยเป็น นิวตันต่อตารางเมตร (N/m^2) หรือ นิวตันต่อตารางมิลลิเมตร (N/mm^2)

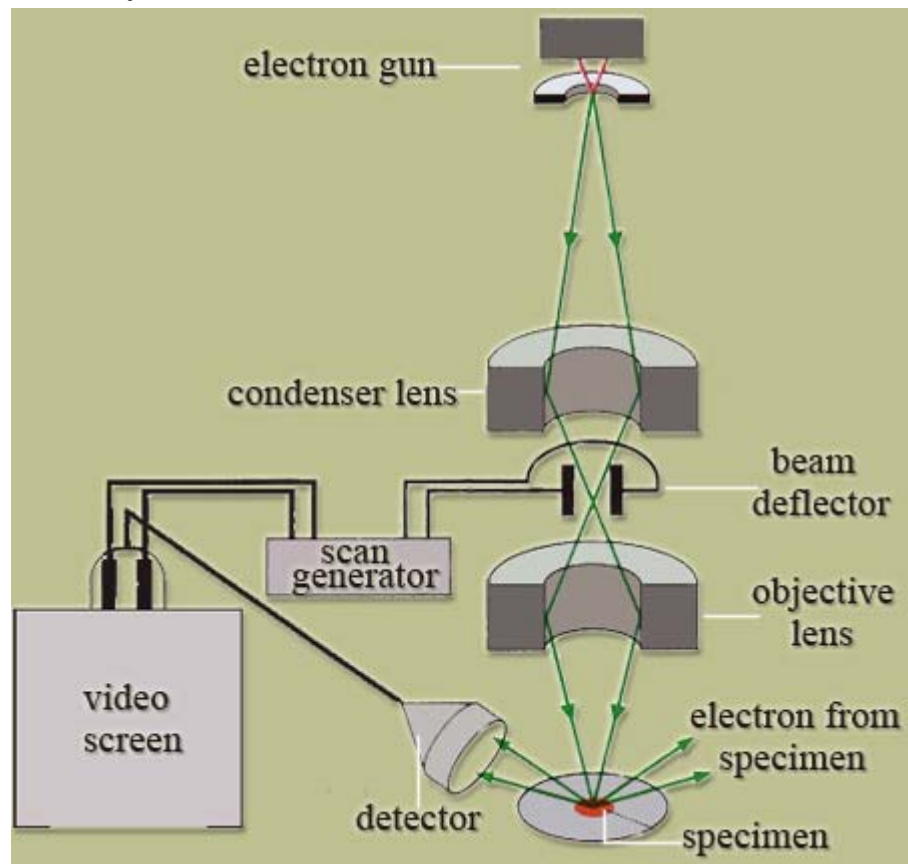
วัตถุที่มี modulus of elasticity มาก แสดงว่า วัตถุมีความทนต่อการเปลี่ยนแปลงความยาว หรือกล่าวอีกนัยหนึ่งคือ วัตถุนั้นมีการเปลี่ยนแปลงความยาวน้อย ในขณะที่มีความเค้นมาก



รูปที่ ก.5 ภาพจำลองการทดสอบแรงอัด

2. หลักการทำงานของกล้องจุลทรรศน์อิเล็กตรอน (Scanning Electron Microscope, SEM) [38]

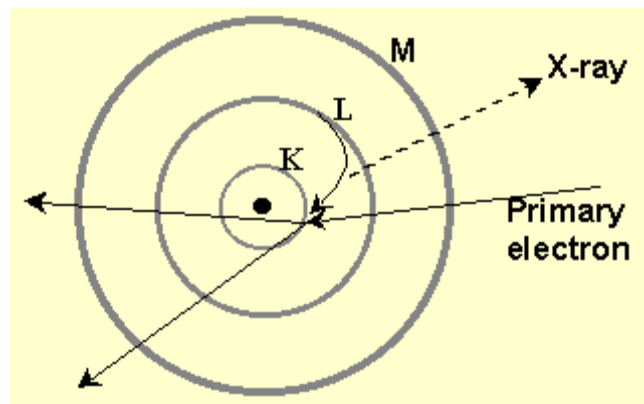
กล้องจุลทรรศน์อิเล็กตรอนจะประกอบด้วยแหล่งกำเนิดอิเล็กตรอนซึ่งทำหน้าที่ผลิตอิเล็กตรอนเพื่อป้อนให้กับระบบ โดยกลุ่มอิเล็กตรอนที่ได้จากแหล่งกำเนิดจะถูกเร่งด้วยสนามไฟฟ้า จากนั้นกลุ่มอิเล็กตรอนจะผ่านเลนส์ร่วมรังสี (condenser lens) เพื่อทำให้กลุ่มอิเล็กตรอนกล้ายเป็นลำอิเล็กตรอน ซึ่งสามารถปรับให้ขนาดของลำอิเล็กตรอนใหญ่หรือเล็ก ได้ตามต้องการ หากต้องการภาพที่มีความคมชัดจะปรับให้ลำอิเล็กตรอนมีขนาดเล็ก หลังจากนั้นลำอิเล็กตรอนจะถูกปรับระยะโฟกัสโดยเลนส์ไอกลีวัตตุ (objective lens) ลงไปบนผิวชิ้นงานที่ต้องการศึกษา หลังจากลำอิเล็กตรอนถูกกราดลงบนชิ้นงานจะทำให้เกิดอิเล็กตรอนทุติยภูมิ (secondary electron) ขึ้น ซึ่งสัญญาณจากอิเล็กตรอนทุติยภูมนี้จะถูกบันทึก และแปลงไปเป็นสัญญาณทางอิเล็กทรอนิกส์และถูกนำมาสร้างเป็นภาพบนจอโทรทัศน์ต่อไป และสามารถบันทึกภาพจากหน้าจอโทรทัศน์ได้โดย ดังรูปที่ ก.6



รูปที่ ก.6 ภาพจำลองการทำงานของกล้องจุลทรรศน์อิเล็กตรอน

3. การวิเคราะห์โครงสร้างและปริมาณธาตุด้วยเทคนิคการกระจายพลังงานของรังสีเอกซ์ (Energy Dispersive X-ray analysis; EDX) [39]

การตรวจสอบชนิดและปริมาณธาตุด้วยเทคนิคการกระจายพลังงานของรังสีเอกซ์ (energy dispersive X-ray analysis; EDX) ใช้หลักการการกระจายของอิเล็กตรอนในชิ้นงาน แล้วปลดปล่อยรังสีเอกซ์ออกมาน้ำหนักของรังสีเอกซ์ที่ปลดปล่อยออกมานั้น เป็นลักษณะเฉพาะของแต่ละธาตุที่ปล่อยออกมาน้ำหนักในอะตอมประกอบด้วยนิวเคลียสที่มีประจุบวกและอิเล็กตรอนที่มีประจุลบอยู่รอบๆ ทำให้เกิดความแตกต่างระหว่างประจุภายในอะตอม แต่ประจุทั้งสองจะต้องสมดุลกันในแต่ละธาตุ การเรียงตัวของอิเล็กตรอนรอบนิวเคลียสของอะตอมมีลักษณะเป็นวง โดยอิเล็กตรอนชั้นในสุดจะมีพลังงานต่ำสุด และมีพลังงานพันธะที่แข็งแรงที่สุด และอิเล็กตรอนชั้นนอกนั้นจะมีพลังงานศักย์สูงแต่พลังงานพันธะต่ำ และระดับชั้นพลังงานชั้นต่างๆ ของอิเล็กตรอนจะเรียงจากวงในออกไปนอกได้ดังนี้ K, L, M, N, O, P และ Q ตามลำดับ และเนื่องจากความแตกต่างของระดับพลังงานยึดเหนี่ยวของอิเล็กตรอนรอบๆ นิวเคลียส ทำให้อิเล็กตรอนตั้งต้น (primary electron) ที่มีพลังงานศักย์มากกว่า จึงมักจะไปแทนที่ในระดับพลังงานชั้น K มากกว่าชั้น L



รูปที่ ก.7 การเกิดรังสีเอกซ์

การชนของอิเล็กตรอนตั้งต้น จะเข้าไปชนอิเล็กตรอนภายในวงให้หลุดออกไปจากอะตอม จึงเกิดสภาพที่ถูกกระตุ้น คือ ไม่เสถียร จึงมีความพยายามทำให้เกิดการเสถียร โดยการที่อิเล็กตรอนในระดับชั้นพลังงานของนอกจะเข้าไปแทนที่ โดยกระบวนการ叫做 “X-ray photon” ที่อิเล็กตรอนนั้นในหลุดออกไป แล้วทำให้เกิดการปลดปล่อยพลังงานส่วนเกินออกมานอกของรังสีเอกซ์ (X-ray photon) ซึ่งมีพลังงานเท่ากับความแตกต่างของอิเล็กตรอนจากระดับชั้นพลังงานที่เข้า

มาแทนที่กันดังรูป ก. และตัวรับสัญญาณ จะรับรังสีเอกซ์ที่ถูกปลดปล่อยออกมานับจำนวนและ พลังงานที่ปลดปล่อยออกมาน้ำหนักเสนอในรูประหว่างระดับพลังงานและจำนวนที่ปลดปล่อย ออกมากซึ่ง อิเล็กตรอน ในแต่ละชั้นของชาตุต่างๆ ก็มีพลังงานที่แตกต่างกันไป ซึ่งเป็นลักษณะ เนพาะตัวดังนี้ เราสามารถวิเคราะห์ชั้นงานได้ว่า มีองค์ประกอบของชาตุใดบ้าง และมีปริมาณ สัดส่วนเท่าใด

4. การเตรียมสารละลาย phosphate buffered saline (PBS) pH 7.4 [40]

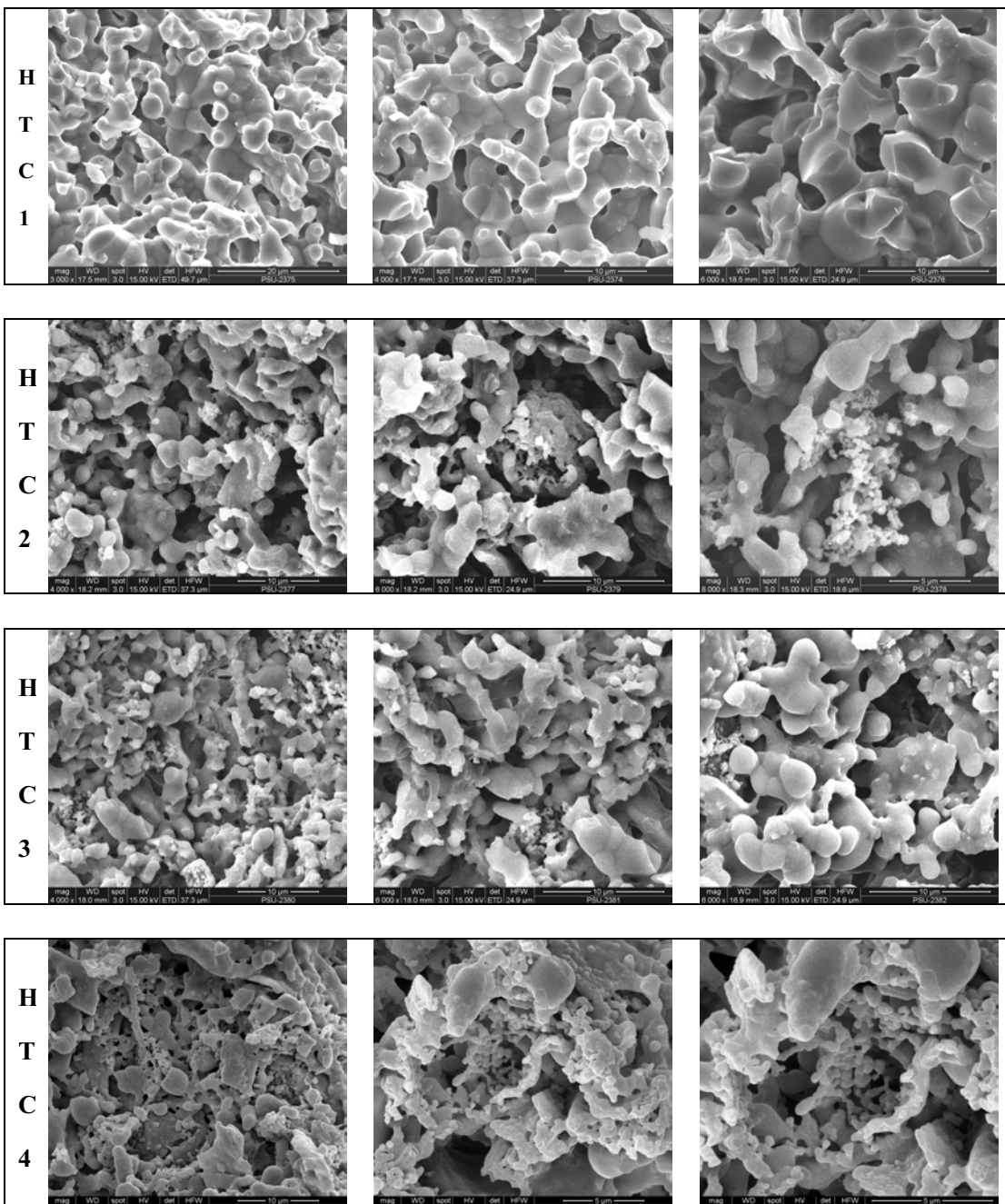
เตรียมสารละลาย PBS pH 7.4 ดังนี้ ชั้งโซเดียมคลอไรด์ (NaCl) 80 กรัม ไอโซโซเดียมไ索โตรเจนฟอสเฟตแอนไฮดรัส (Na_2HPO_4) 14.4 กรัม โพแทสเซียมคลอไรด์ (KCl) 2 กรัม และโพแทสเซียมฟอสเฟต (KH_2PO_4) 2.4 กรัม ละลายสารทั้งหมดรวมกันด้วยน้ำกลั่น ปรับปริมาตรให้ครบ 1 ลิตร ด้วยขวดปรับปริมาตร และปรับ pH เท่ากับ 7.4

ภาคผนวก ข

ข้อมูลการทดลองและการคำนวณ

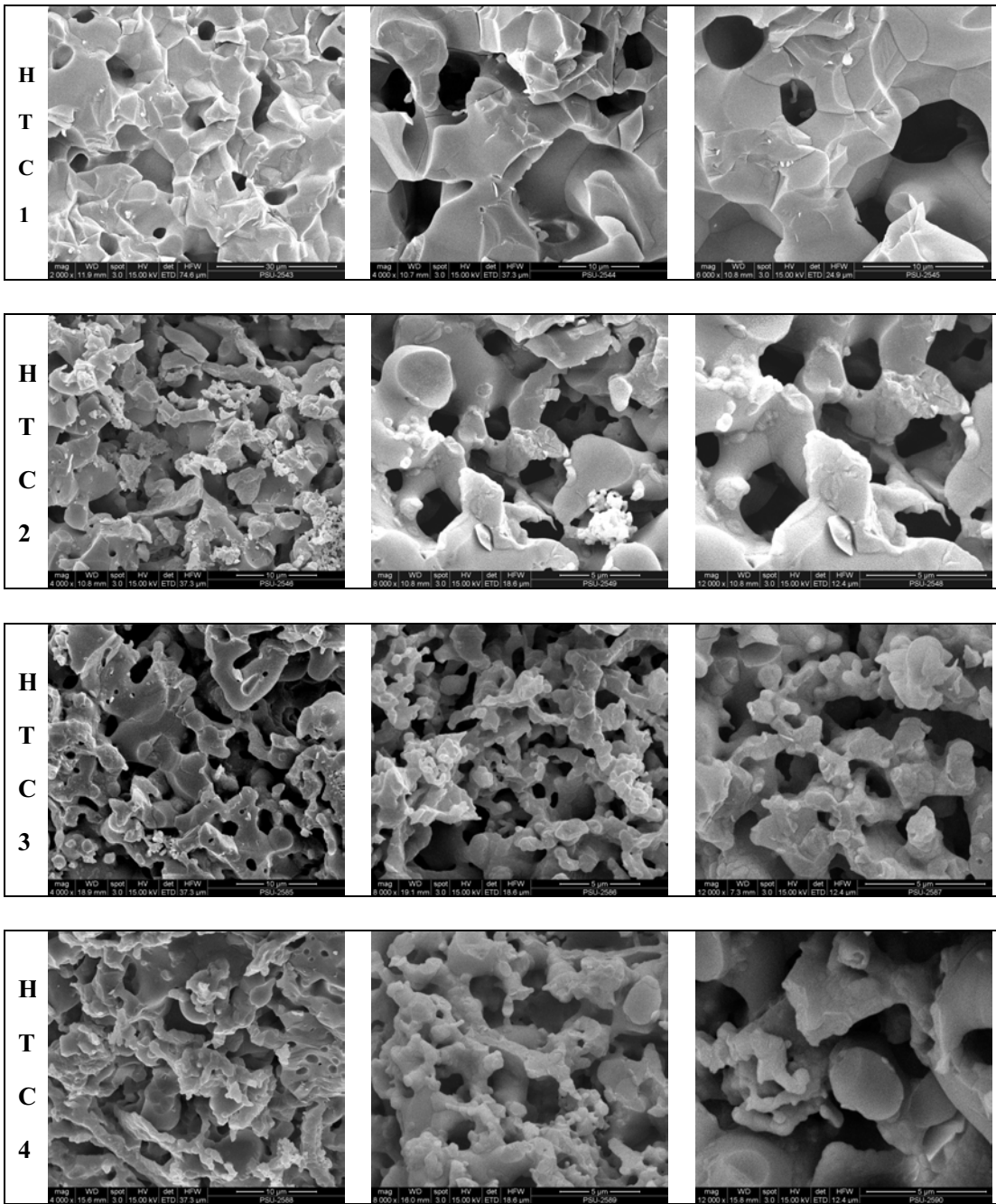
ผลการวิเคราะห์ด้วยเทคนิค SEM

1. ลักษณะทางอุลตราของโครงสร้างเลี้ยงเซลล์ชั้นในชินเทอริงที่ 1150°C เป็นเวลา 2 ชั่วโมง



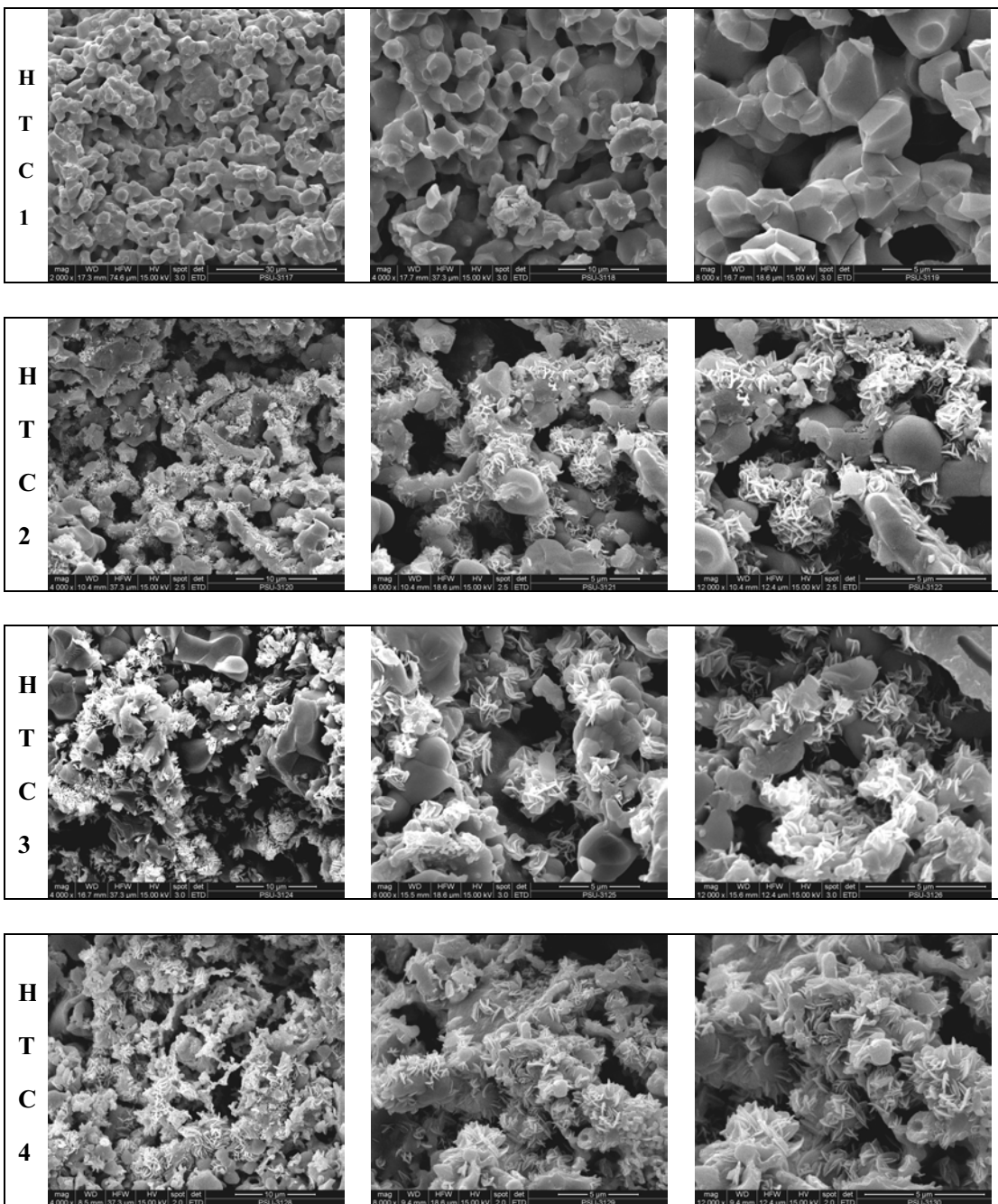
รูปที่ ข.1 ผลการวิเคราะห์ SEM ของโครงสร้างเลี้ยงเซลล์ชินเทอริงที่ 1150°C เป็นเวลา 2 ชั่วโมง

2. ลักษณะทางจุลภาคของโครงสร้างเซลล์ชั้นในชิ้นเทอริงที่ 1250°C เป็นเวลา 2 ชั่วโมง



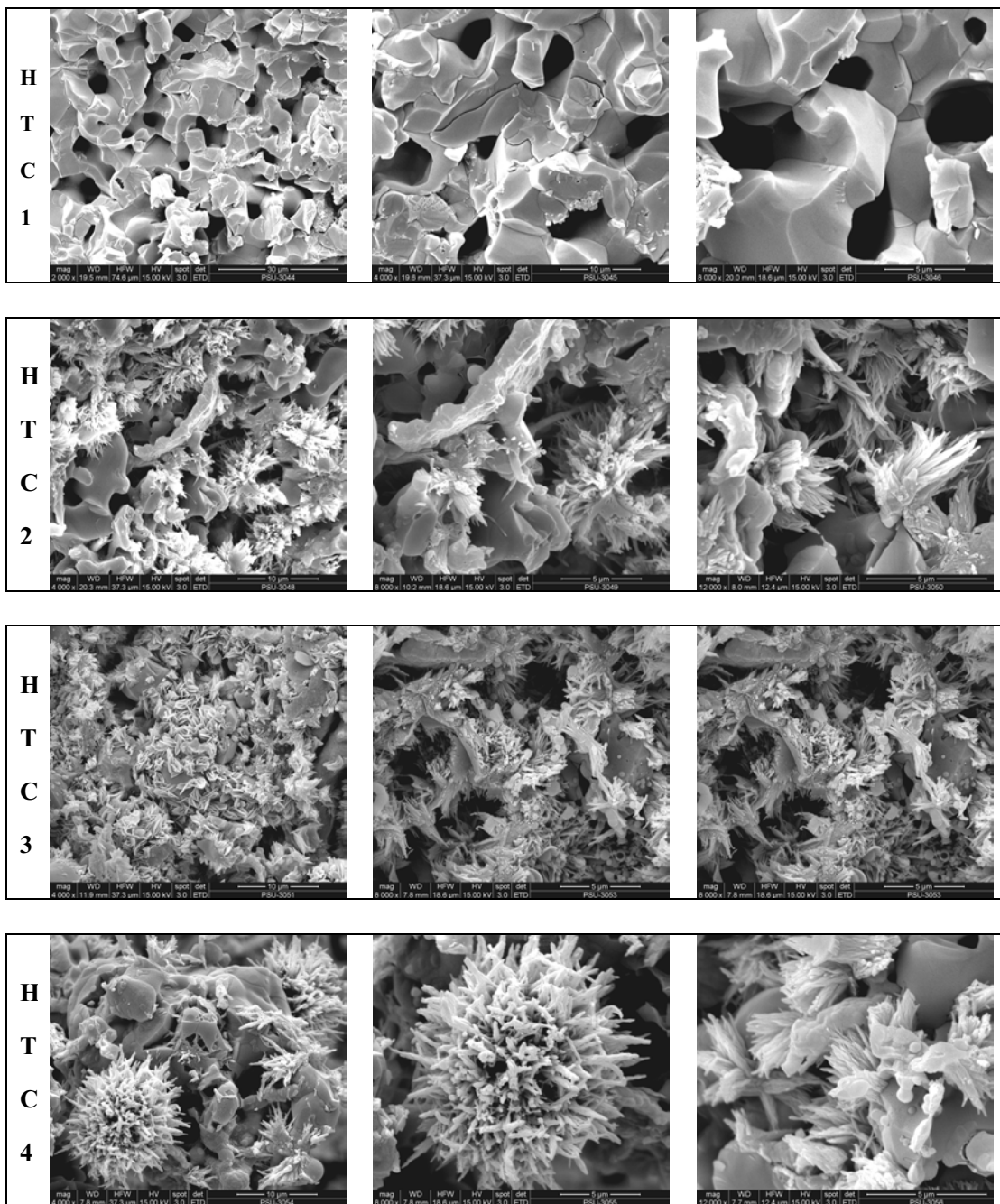
รูปที่ ข.2 ผลการวิเคราะห์ SEM ของโครงสร้างเซลล์ชิ้นเทอริงที่ 1250°C เป็นเวลา 2 ชั่วโมง

3. โครงสร้างทางจุลภาคของโครงเลี้ยงเซลล์ชั้นในชินเทอริงที่ 1150°C เป็นเวลา 2 ชั่วโมง หลังการแช่สารละลาย PBS เป็นเวลา 2 สัปดาห์



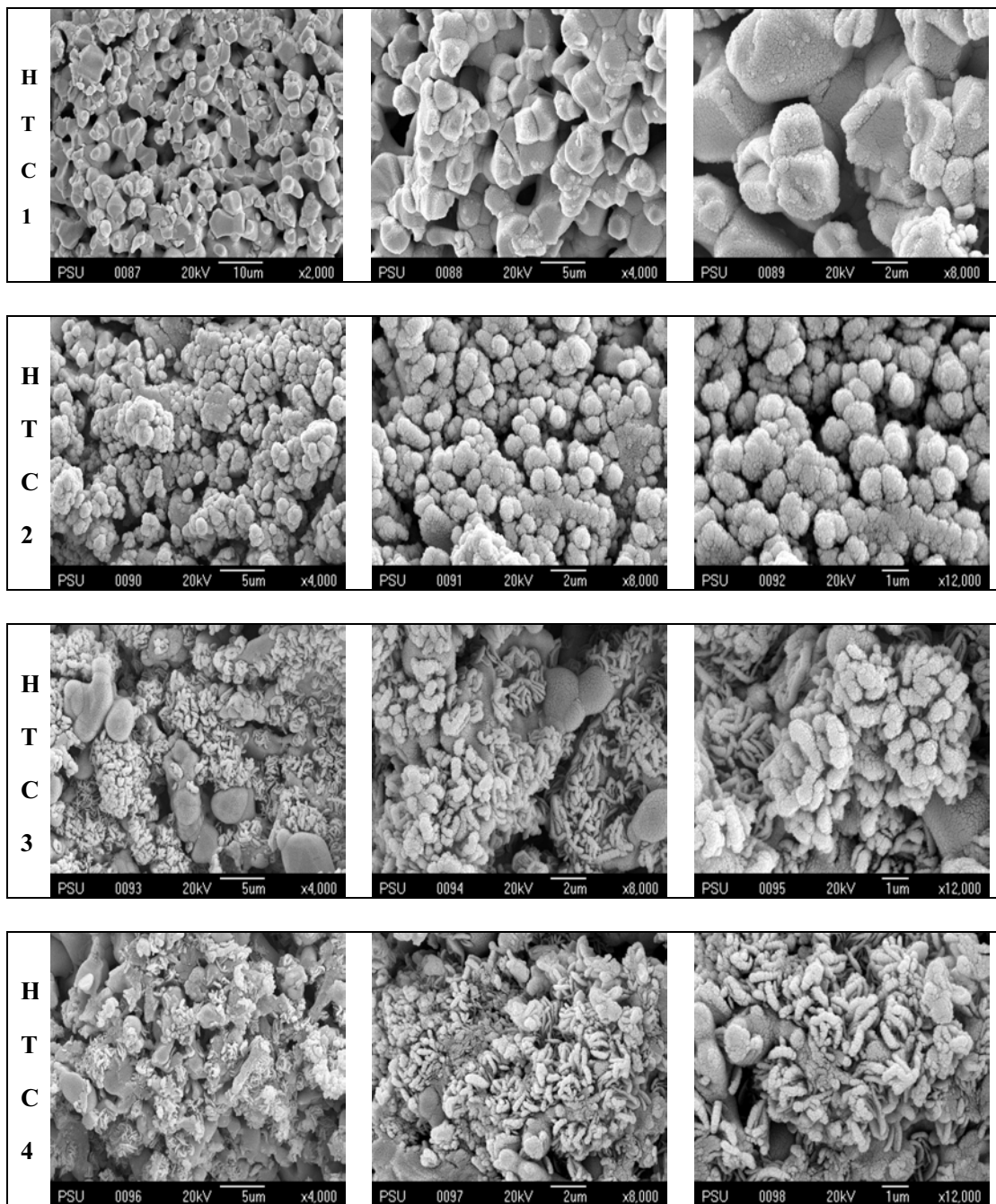
รูปที่ ข.3 ผลการวิเคราะห์ SEM หลังแช่ในสารละลาย PBS 2 สัปดาห์ ของโครงเลี้ยงเซลล์ชินเทอริงที่ 1150°C เป็นเวลา 2 ชั่วโมง

4. โครงสร้างทางจุลภาคของโครงเลี้ยงเซลล์ชั้นในชินเทอริงที่ 1250°C เป็นเวลา 2 ชั่วโมง หลังการแช่สารละลาย PBS เป็นเวลา 2 สัปดาห์



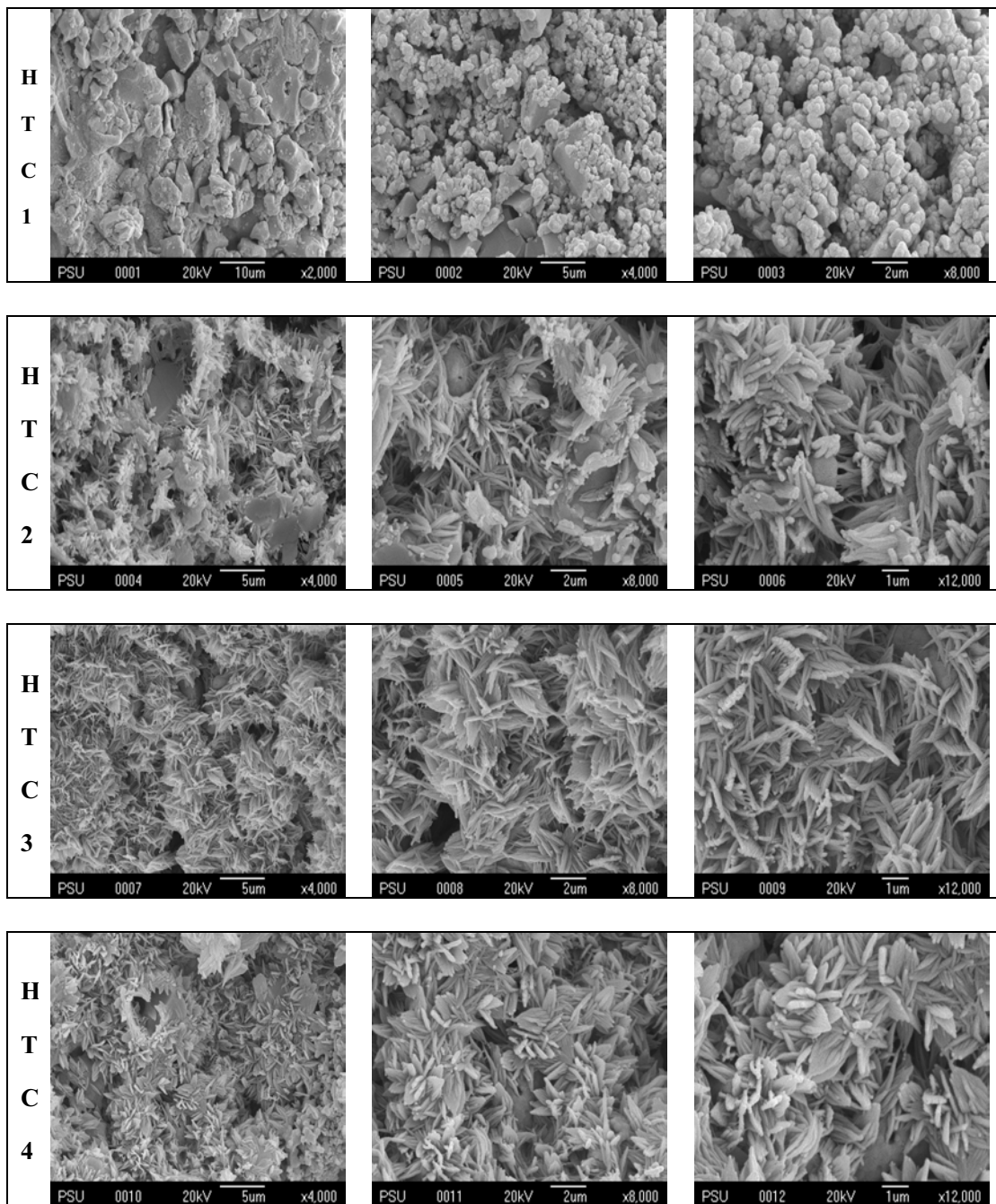
รูปที่ ข.4 ผลการวิเคราะห์ SEM หลังแช่ในสารละลาย PBS 2 สัปดาห์ ของโครงเลี้ยงเซลล์ชินเทอริงที่ 1250°C เป็นเวลา 2 ชั่วโมง

5. โครงสร้างทางอุลกาคของโครงเลี้ยงเซลล์ชั้นในชินเทอริ่งที่ 1150°C เป็นเวลา 2 ชั่วโมง หลังการแช่สารละลาย PBS เป็นเวลา 4 สัปดาห์



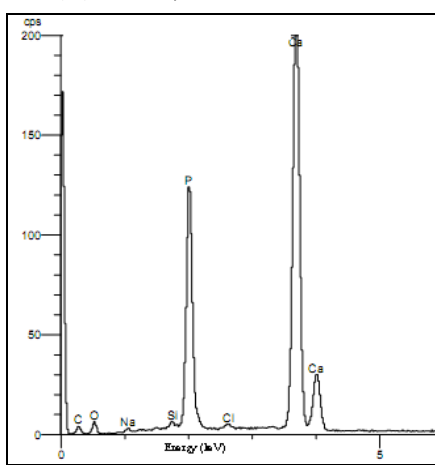
รูปที่ บ.5 ผลการวิเคราะห์ SEM หลังแช่ในสารละลาย PBS 4 สัปดาห์ ของโครงเลี้ยงเซลล์ชินเทอริ่งที่ 1150°C เป็นเวลา 2 ชั่วโมง

6. โครงสร้างทางจุลภาคของโครงเลี้ยงเซลล์ชั้นในชินเทอริ่งที่ 1250°C เป็นเวลา 2 ชั่วโมง หลังการแช่สารละลาย PBS เป็นเวลา 4 สัปดาห์



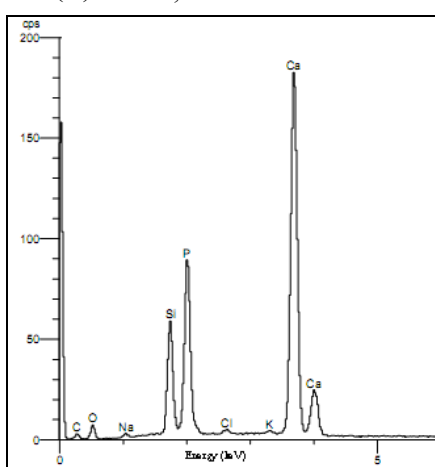
รูปที่ บ.6 ผลการวิเคราะห์ SEM หลังแช่ในสารละลาย PBS 4 สัปดาห์ ของโครงเลี้ยงเซลล์ชินเทอริ่งที่ 1250°C เป็นเวลา 2 ชั่วโมง

(A) HTC1, 1150 °C



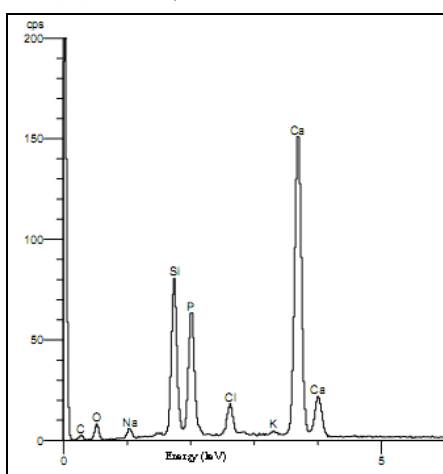
| Element | Element % |
|---------|-----------|
| C | 2.479 |
| O | 14.388 |
| Si | 0.299 |
| P | 22.029 |
| Ca | 59.146 |
| ଅନ୍ୟ | 1.659 |
| ମୋଟ | 100 |

(B) HTC2, 1150 °C



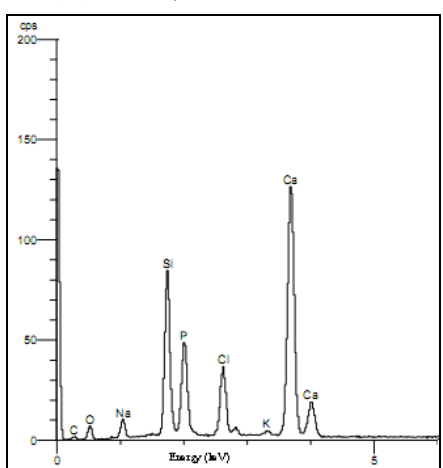
| Element | Element % |
|---------|-----------|
| C | 3.108 |
| O | 16.63 |
| Si | 8.569 |
| P | 17.581 |
| Ca | 50.95 |
| ଅନ୍ୟ | 3.162 |
| ମୋଟ | 100 |

(C) HTC3, 1150 °C



| Element | Element % |
|------------|------------|
| C | 2.918 |
| O | 18.898 |
| Si | 13.58 |
| P | 14.443 |
| Ca | 47.49 |
| อื่นๆ | 2.671 |
| รวม | 100 |

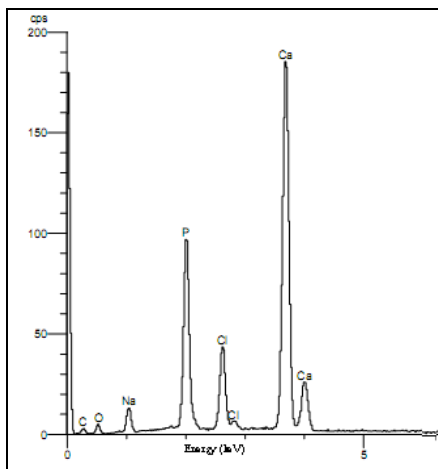
(D) HTC4, 1150 °C



| Element | Element % |
|------------|------------|
| C | 3.678 |
| O | 17.616 |
| Si | 14.69 |
| P | 11.87 |
| Ca | 44.083 |
| อื่นๆ | 8.063 |
| รวม | 100 |

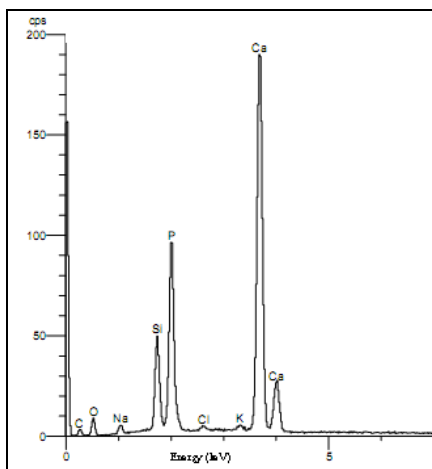
รูปที่ บ.7 ผล EDX ของชาตุองค์ประกอบบนพื้นผิวโครงเดี่ยงเซลล์หลังการแช่ในสารละลายน้ำ PBS เป็นเวลา 4 สัปดาห์ (ชินเทอริงที่อุณหภูมิ 1150 °C) (A) สูตร HTC1, (B) สูตร HTC2, (C) สูตร HTC3 และ (D) สูตร HTC4 ตามลำดับ

(A) HTC1, 1250 °C



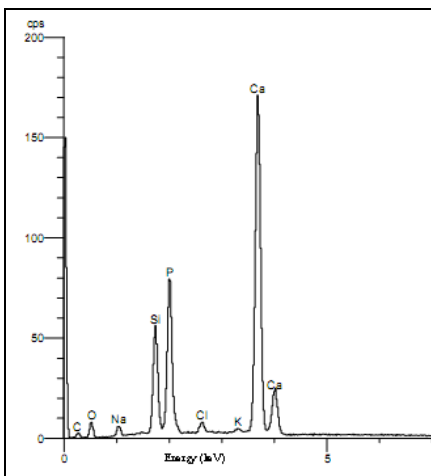
| Element | Element % |
|---------|-----------|
| C | 2.988 |
| O | 13.168 |
| Si | 0 |
| P | 18.815 |
| Ca | 51.59 |
| ତୀନି | 13.439 |
| ମୂଳ | 100 |

(B) HTC2, 1250 °C



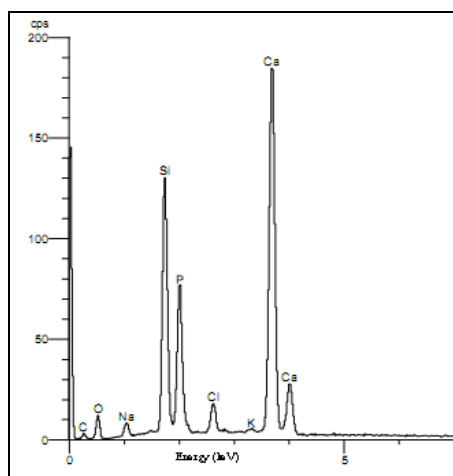
| Element | Element % |
|---------|-----------|
| C | 3.282 |
| O | 19.167 |
| Si | 7.886 |
| P | 17.827 |
| Ca | 49.591 |
| ତୀନି | 2.247 |
| ମୂଳ | 100 |

(C) HTC3, 1250 °C



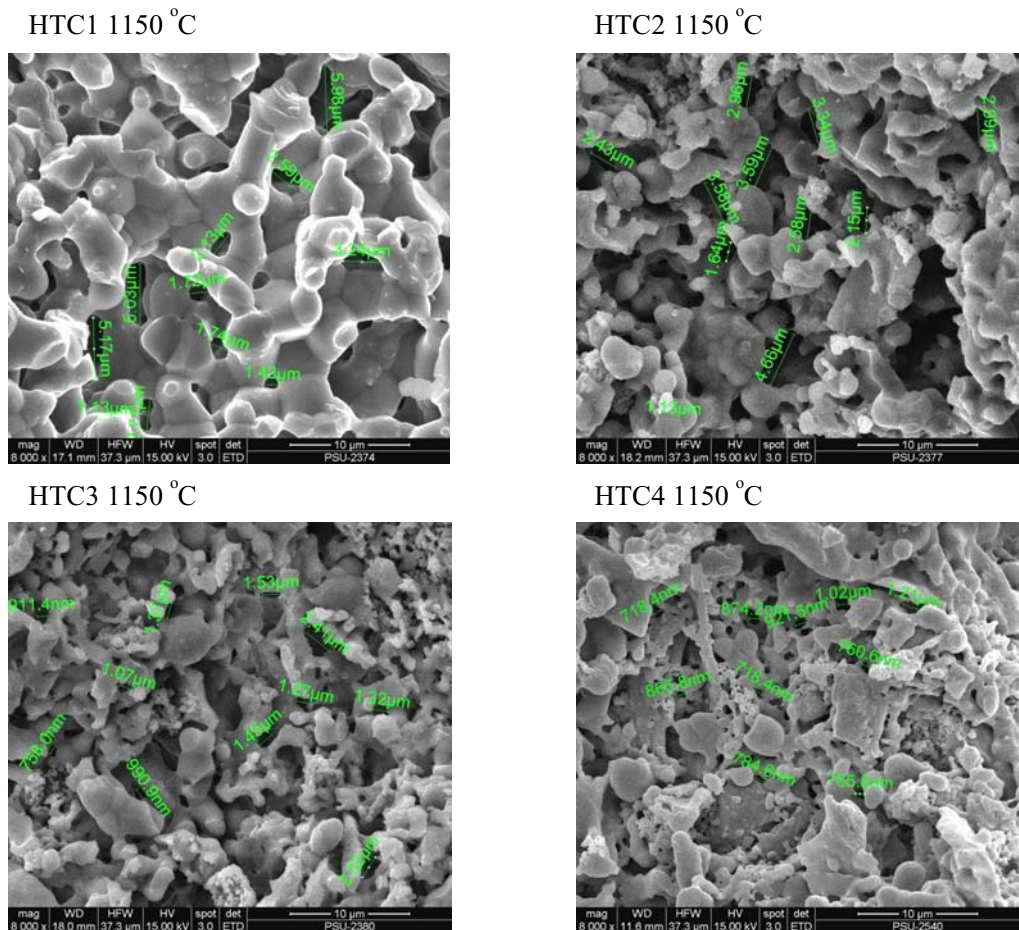
| Element | Element % |
|---------|-----------|
| C | 3.608 |
| O | 18.668 |
| Si | 8.897 |
| P | 15.876 |
| Ca | 49.056 |
| อื่นๆ | 3.895 |
| รวม | 100 |

(D) HTC4, 1250 °C



| Element | Element % |
|---------|-----------|
| C | 3.579 |
| O | 19.452 |
| Si | 14.967 |
| P | 12.321 |
| Ca | 41.064 |
| อื่นๆ | 8.617 |
| รวม | 100 |

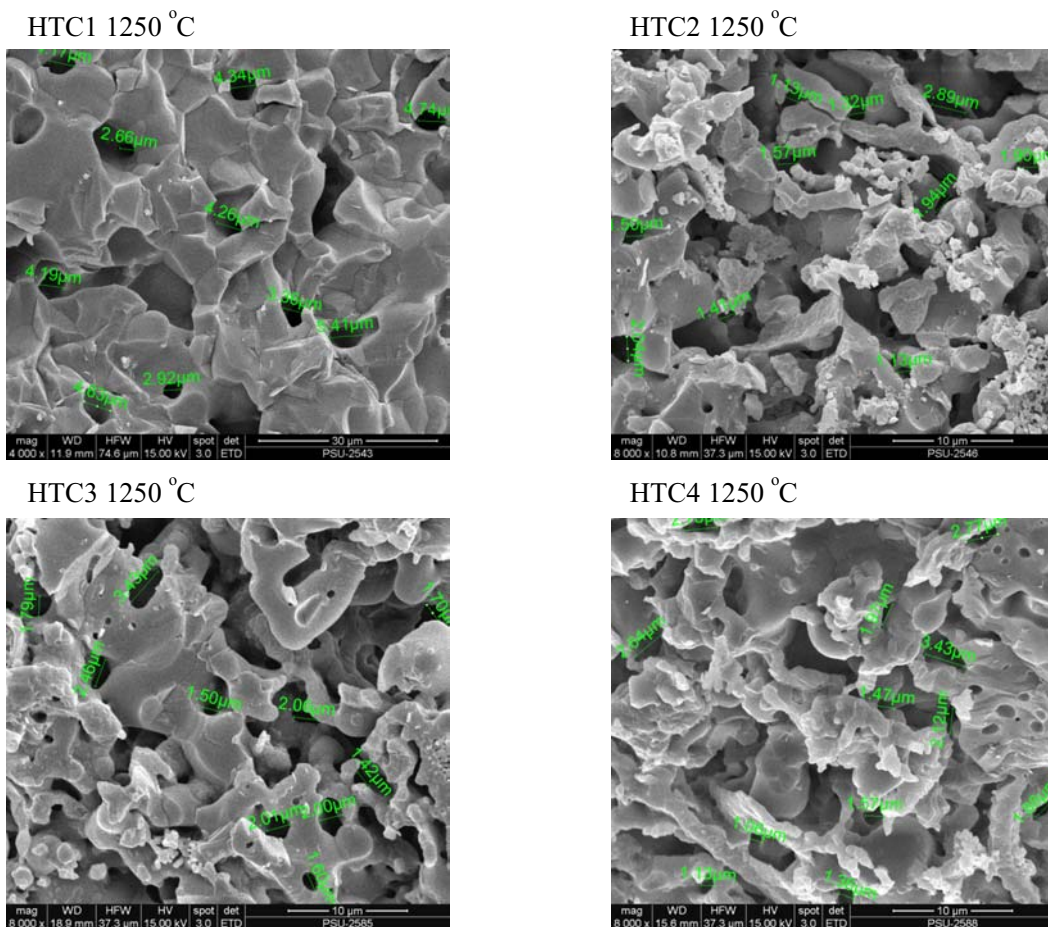
รูปที่ บ.8 ผล EDX ของชาตุองค์ประกอบบนพื้นผิวโลหะเดี่ยวที่อุณหภูมิ 1250 °C (A) สูตร HTC1, (B) สูตร HTC2, (C) สูตร HTC3 และ (D) สูตร HTC4 ตามลำดับ



รูปที่ ข.9 ขนาดรูพรุนของโครงเลี้ยงเซลล์ชั้นใน HTC1 HTC2 HTC3 และ HTC4 ชิ้นเทอริงที่ 1150 °C เป็นเวลา 2 ชั่วโมง

ตารางที่ ข.1 ขนาดรูพรุนในโครงเลี้ยงเซลล์ HTC1, HTC2, HTC3 และ HTC4 ชิ้นเทอริงที่ 1150 °C เป็นเวลา 2 ชั่วโมง

| สูตร | Pore size (μm) | | | | | | | | | |
|------|----------------|-------|-------|-------|-------|------|-------|-------|------|------|
| | HTC1 | HTC2 | HTC3 | HTC4 | HTC1 | HTC2 | HTC3 | HTC4 | HTC1 | HTC2 |
| HTC1 | 5.98 | 2.59 | 3.24 | 2.13 | 1.72 | 1.74 | 1.42 | 5.03 | 2.7 | 5.17 |
| HTC2 | 2.43 | 2.96 | 3.59 | 3.58 | 1.64 | 4.66 | 2.58 | 3.34 | 2.15 | 2.99 |
| HTC3 | 1.32 | 2.02 | 0.99 | 1.37 | 1.07 | 1.45 | 1.53 | 2.41 | 1.27 | 1.45 |
| HTC4 | 0.718 | 0.865 | 0.718 | 0.784 | 0.765 | 0.76 | 0.921 | 0.874 | 1.02 | 1.21 |



รูปที่ บ.10 ขนาดรูพรุนของโครงสร้างเซลล์ใน HTC1 HTC2 HTC3 และ HTC4 ชิ้นเทอริงที่ 1250 °C เป็นเวลา 2 ชั่วโมง

ตารางที่ บ.2 ขนาดรูพรุนในโครงสร้างเซลล์ HTC1, HTC2, HTC3 และ HTC4 ชิ้นเทอริงที่ 1250 °C เป็นเวลา 2 ชั่วโมง

| สูตร | Pore size (μm) | | | | | | | | | |
|------|----------------|------|------|------|------|------|------|------|------|------|
| | HTC1 | HTC2 | HTC3 | HTC4 | HTC1 | HTC2 | HTC3 | HTC4 | HTC1 | HTC2 |
| HTC1 | 4.17 | 2.66 | 4.34 | 4.74 | 4.26 | 3.36 | 5.41 | 4.19 | 2.92 | 4.63 |
| HTC2 | 1.13 | 1.57 | 1.32 | 2.89 | 1.94 | 1.9 | 1.13 | 1.41 | 1.5 | 2.04 |
| HTC3 | 1.79 | 2.46 | 3.43 | 1.5 | 2.06 | 2.01 | 1.6 | 2 | 1.42 | 1.7 |
| HTC4 | 2.1 | 2.64 | 1.97 | 2.77 | 3.43 | 1.47 | 1.13 | 1.06 | 1.36 | 1.57 |

2. ข้อมูลการทดสอบเชิงกล

2.1 การทดสอบแรงอัด (compression test)

1) สูตรการคำนวณ

$$\text{Compressive stress } (\sigma) = F/A \quad ; \text{ MPa, N/mm}^2 \quad (1)$$

$$\text{Compressive strain } (\epsilon) = \Delta L/L_0 \quad (2)$$

$$\text{Young's modulus } (E) = \sigma/\epsilon \quad ; \text{ MPa, N/mm}^2 \quad (3)$$

เมื่อ F = แรงสูงสุดที่ใช้กดซิ่งงานแตกหักหรือเสียรูป (N)

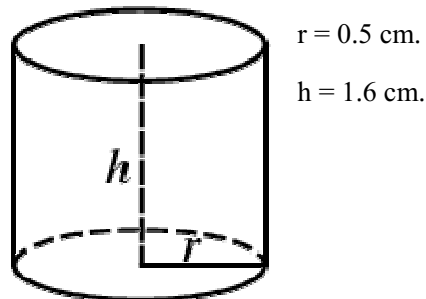
A = พื้นที่หน้าตัดของซิ่งงาน (mm^2)

ΔL = ระยะหดตัวของซิ่งงานเมื่อได้รับแรงกระทำ (mm)

L_0 = ความยาวเริ่มต้นของซิ่งงาน (mm)

2) Test Specimen (ASTM C 773-88)

ทรงกระบอกตัน เส้นผ่าศูนย์กลาง 1.0 cm. สูง 1.6 cm.



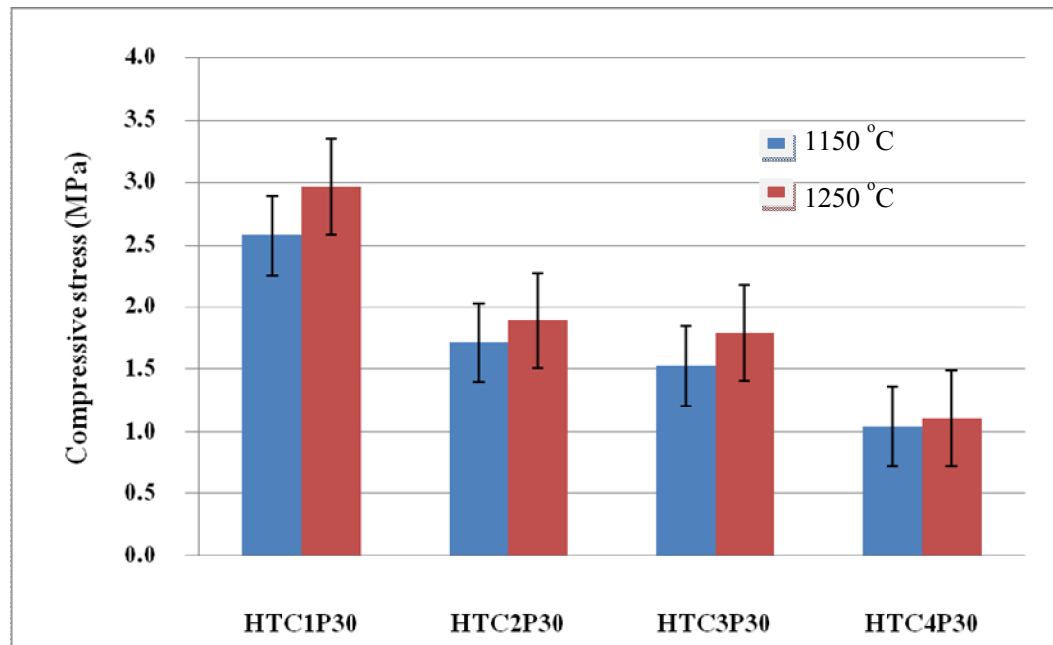
รูปที่ ข.11 ขนาดของ Test Specimen

3) เงื่อนไขการทดสอบ

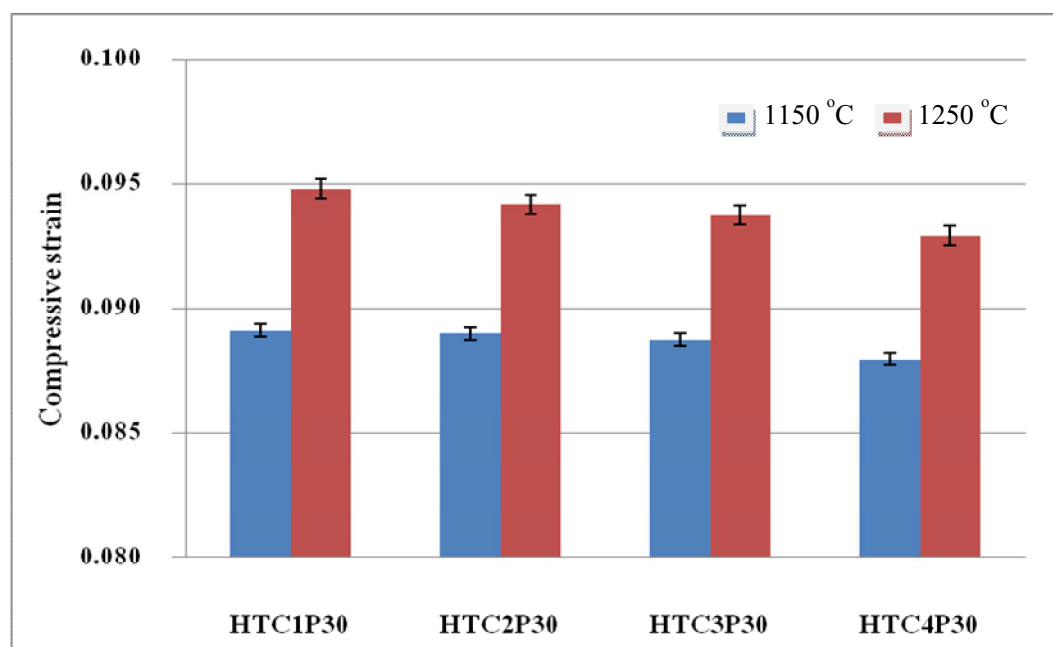
แรงกด 1 N ความเร็วในการอัด 13 mm/min.

ตารางที่ บ.3 ค่าแรงอัด (compression test) ของโครงสร้างชุดที่ต้องทดสอบตัวอย่างพลาสติก้าไบร์เมตโค ตอน 30 % wt

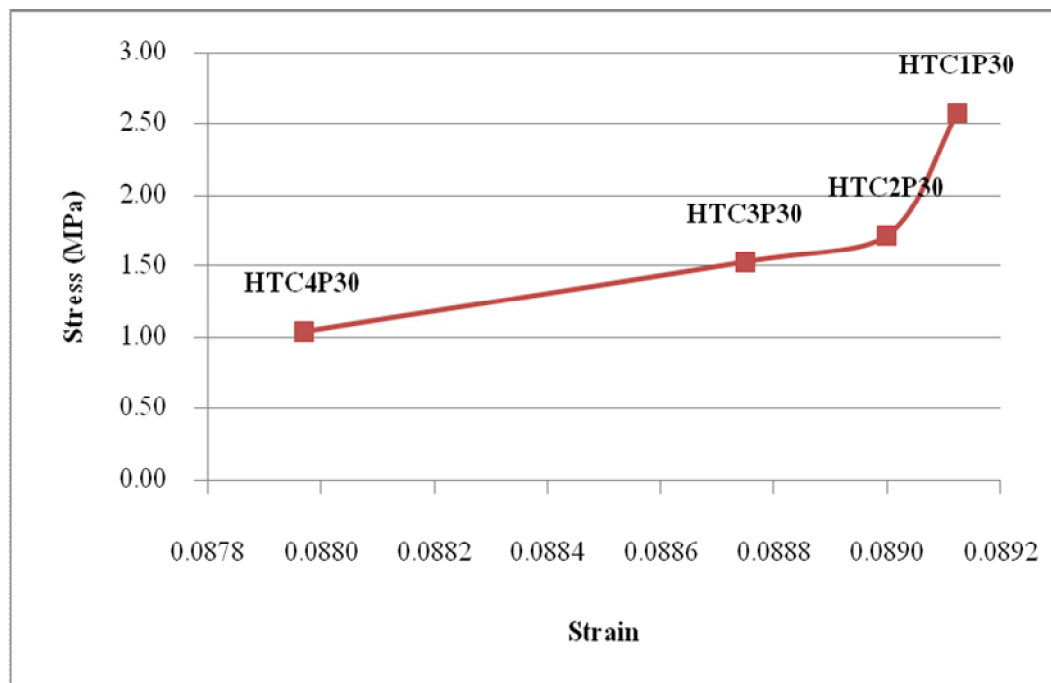
| 试样 | 1150 °C | | | | | 1250 °C | | | | |
|---------|---------|------------|-----------------|--------|---------|---------|------------|-----------------|--------|---------|
| | F(N) | ΔL (mm) | Stress (MPa) | strain | E (MPa) | F(N) | ΔL (mm) | Stress (MPa) | strain | E (MPa) |
| HTC1P30 | 40.28 | 1.42 | 2.56 | 0.0887 | 28.90 | 51.23 | 1.51 | 3.26 | 0.0944 | 34.54 |
| | 41.98 | 1.43 | 2.67 | 0.0894 | 29.87 | 43.13 | 1.53 | 2.74 | 0.0956 | 28.70 |
| | 39.25 | 1.43 | 2.50 | 0.0893 | 27.99 | 45.47 | 1.51 | 2.89 | 0.0944 | 30.66 |
| HTC2P30 | 27.65 | 1.42 | 1.76 | 0.0890 | 19.78 | 31.98 | 1.50 | 2.03 | 0.0938 | 21.71 |
| | 27.17 | 1.42 | 1.73 | 0.0889 | 19.45 | 27.54 | 1.51 | 1.75 | 0.0944 | 18.57 |
| | 26.16 | 1.43 | 1.66 | 0.0892 | 18.67 | 29.64 | 1.51 | 1.89 | 0.0944 | 19.99 |
| HTC3P30 | 24.41 | 1.42 | 1.55 | 0.0886 | 17.53 | 28.63 | 1.50 | 1.82 | 0.0938 | 19.43 |
| | 22.42 | 1.42 | 1.43 | 0.0888 | 16.07 | 28.64 | 1.50 | 1.82 | 0.0938 | 19.44 |
| | 25.38 | 1.42 | 1.62 | 0.0889 | 18.17 | 27.37 | 1.50 | 1.74 | 0.0938 | 18.58 |
| HTC4P30 | 16.83 | 1.40 | 1.07 | 0.0875 | 12.25 | 17.51 | 1.48 | 1.11 | 0.0925 | 12.04 |
| | 16.13 | 1.41 | 1.03 | 0.0881 | 11.65 | 17.18 | 1.50 | 1.09 | 0.0938 | 11.66 |
| | 16.28 | 1.41 | 1.04 | 0.0883 | 11.73 | 17.38 | 1.48 | 1.11 | 0.0925 | 11.96 |



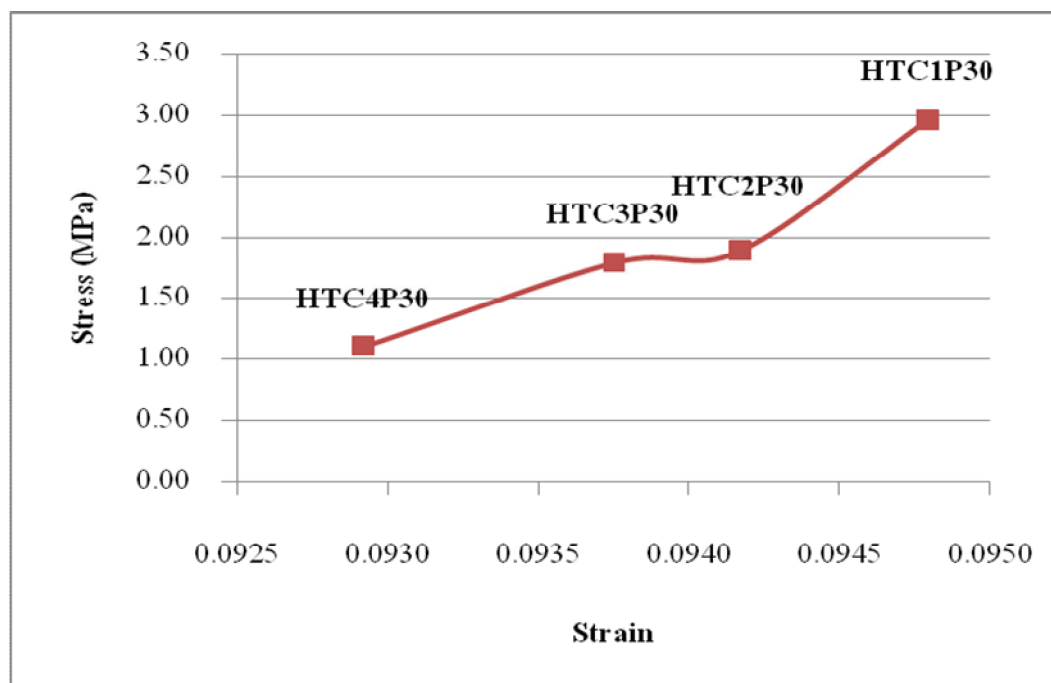
รูปที่ ๑.๑๒ ค่า Compressive Stress (MPa) ของโครงเลี้ยงเซลล์ที่เคลือบด้วยสารเคลือบพอลิเมอร์ที่มี PCL 30 %wt



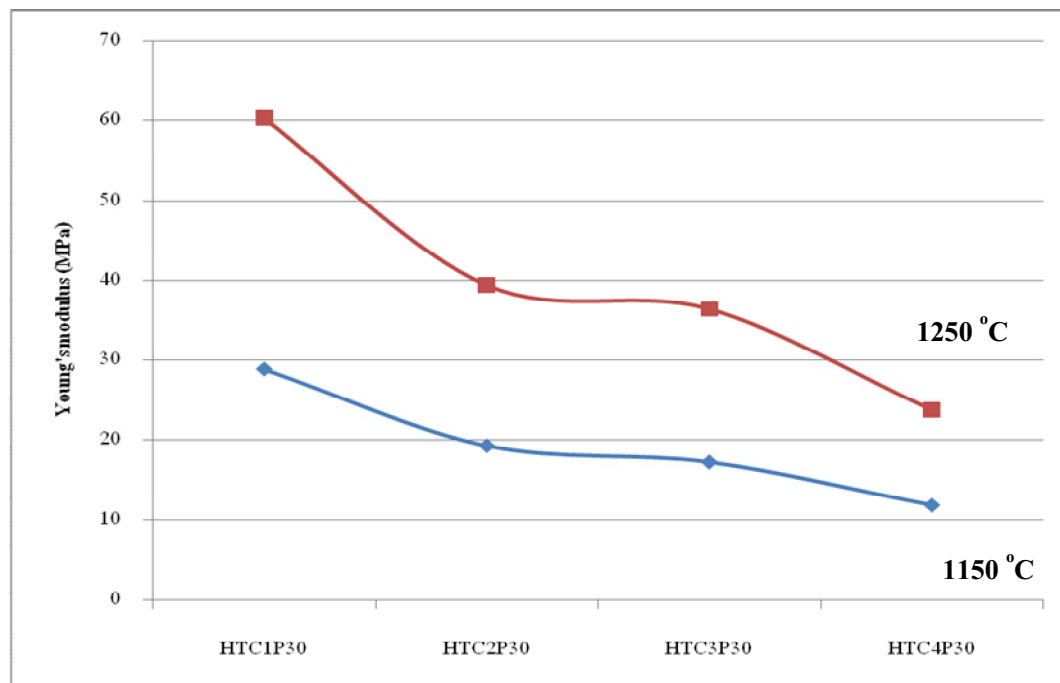
รูปที่ ๑.๑๓ ค่า Compressive Strain ของโครงเลี้ยงเซลล์ที่เคลือบด้วยสารเคลือบพอลิเมอร์ที่มี PCL 30 %wt



รูปที่ ข.14 ค่า Compressive Stress (MPa) และ Compressive Strain ของโครงเลี้ยงเซลล์ชั้นในชิ้นเทอริงที่ 1150 °C เคลือบด้วยสารเคลือบพอลิเมอร์ที่มี PCL 30 %wt



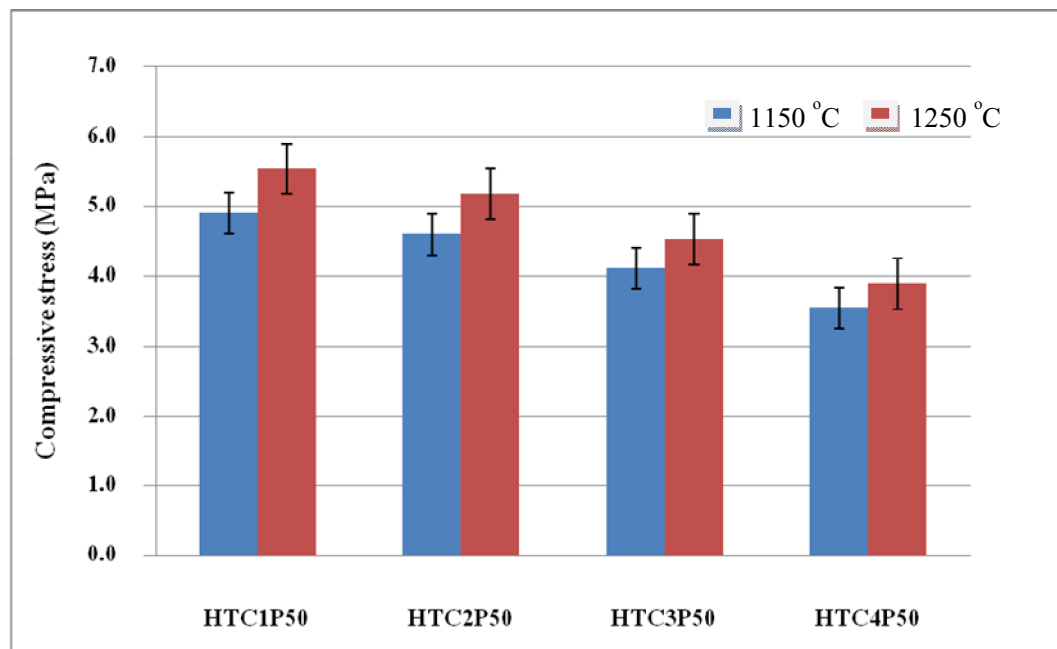
รูปที่ ข.15 ค่า Compressive Stress (MPa) และ Compressive Strain ของโครงเลี้ยงเซลล์ชั้นในชิ้นเทอริงที่ 1250 °C เคลือบด้วยสารเคลือบพอลิเมอร์ที่มี PCL 30 %wt



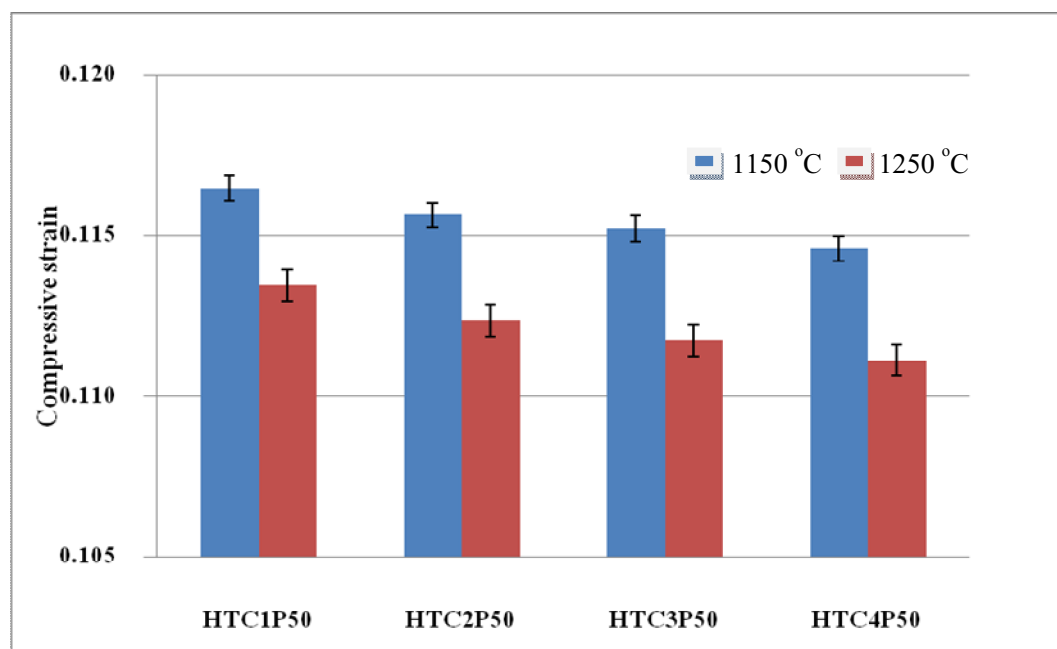
รูปที่ ॥.16 ค่า Young's Modulus (MPa) ของโครงสร้างชั้นในเคลือบด้วยสารเคลือบพอลิเมอร์ที่มี PCL 30 %wt

ตารางที่ บ.4 ค่าแรงดัน (compression test) ของโครงสร้างชุดที่ได้รับด้วยพอลิเมอร์แอลกิล 50 %wt

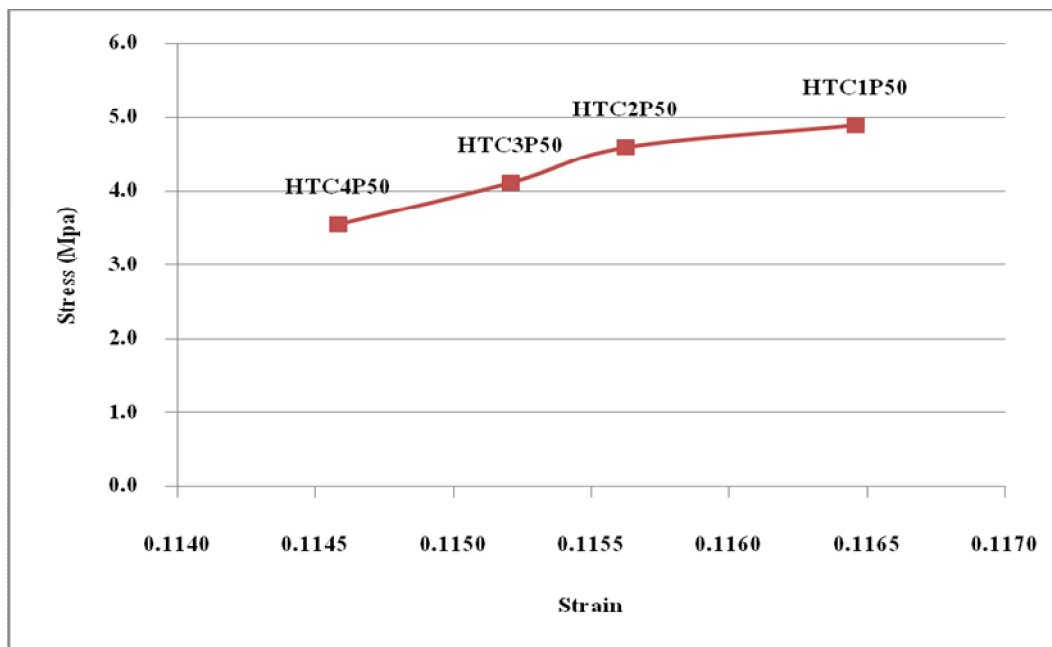
| 试样 | 1150 °C | | | | 1250 °C | | | |
|----------------|---------|------------|-----------------|--------|---------|------------|-----------------|--------|
| | F(N) | ΔL (mm) | Stress (MPa) | strain | F(N) | ΔL (mm) | Stress (MPa) | strain |
| HTC1P50 | 75.32 | 1.87 | 4.79 | 0.117 | 41.01 | 84.01 | 1.81 | 5.35 |
| | 76.64 | 1.86 | 4.88 | 0.116 | 41.95 | 88.80 | 1.82 | 5.65 |
| | 79.01 | 1.86 | 5.03 | 0.116 | 43.25 | 88.25 | 1.82 | 5.62 |
| HTC2P50 | 74.27 | 1.85 | 4.73 | 0.116 | 40.87 | 82.60 | 1.80 | 5.26 |
| | 71.95 | 1.85 | 4.58 | 0.116 | 39.60 | 80.14 | 1.80 | 5.10 |
| | 70.63 | 1.85 | 4.49 | 0.116 | 38.87 | 81.31 | 1.79 | 5.17 |
| HTC3P50 | 67.87 | 1.85 | 4.32 | 0.116 | 37.36 | 69.98 | 1.78 | 4.45 |
| | 62.32 | 1.84 | 3.97 | 0.115 | 34.48 | 69.07 | 1.79 | 4.40 |
| | 63.94 | 1.84 | 4.07 | 0.115 | 35.38 | 74.23 | 1.79 | 4.72 |
| HTC4P50 | 57.63 | 1.83 | 3.67 | 0.114 | 32.06 | 62.50 | 1.79 | 3.98 |
| | 57.98 | 1.84 | 3.69 | 0.115 | 32.08 | 61.56 | 1.78 | 3.92 |
| | 51.66 | 1.83 | 3.29 | 0.114 | 28.74 | 59.65 | 1.76 | 3.80 |



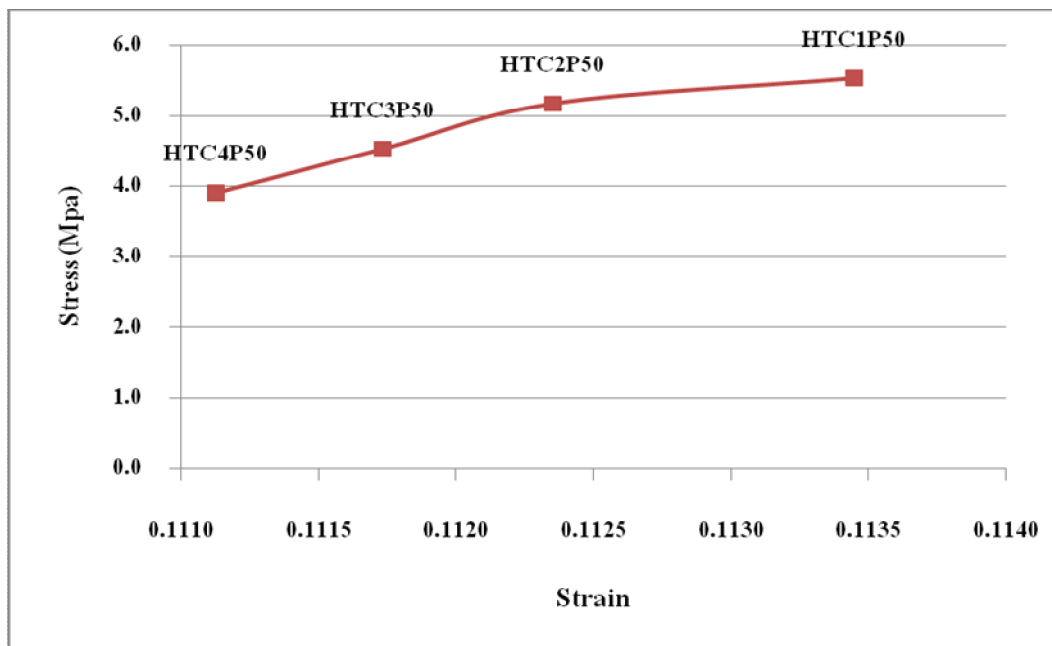
รูปที่ ข.17 ค่า Compressive Stress (MPa) ของโครงเลี้ยงเซลล์ที่เคลือบด้วยสารเคลือบพอลิเมอร์ที่มี PCL 50 %wt



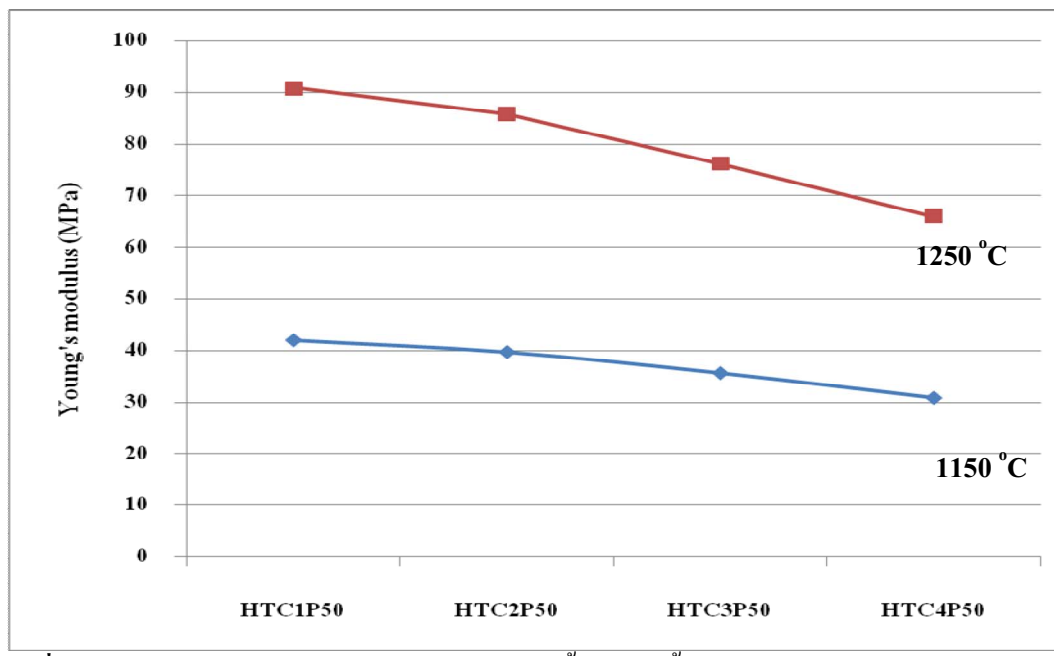
รูปที่ ข.18 ค่า Compressive Strain ของโครงเลี้ยงเซลล์ที่เคลือบด้วยสารเคลือบพอลิเมอร์ที่มี PCL 50 %wt



รูปที่ ข.19 ค่า Compressive Stress (MPa) และ Compressive Strain ของโครงเลี้ยงเซลล์ชั้นในชิ้นเทอริงที่ 1150 °C เคลือบด้วยสารเคลือบพอลิเมอร์ที่มี PCL 50 %wt



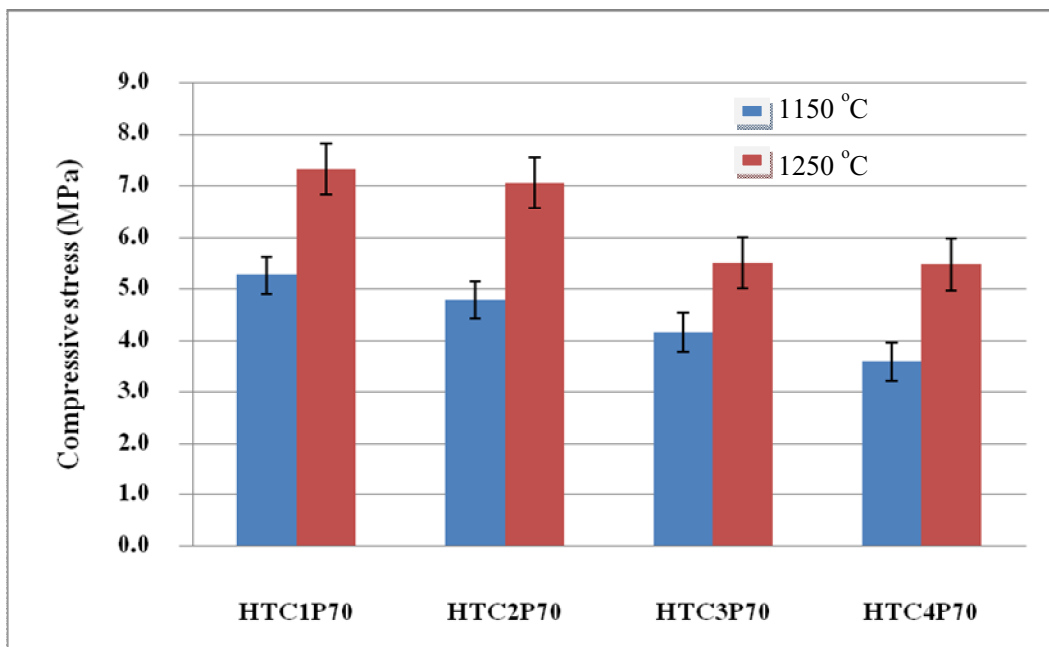
รูปที่ ข.20 ค่า Compressive Stress (MPa) และ Compressive Strain ของโครงเลี้ยงเซลล์ชั้นในชิ้นเทอริงที่ 1250 °C เคลือบด้วยสารเคลือบพอลิเมอร์ที่มี PCL 50 %wt



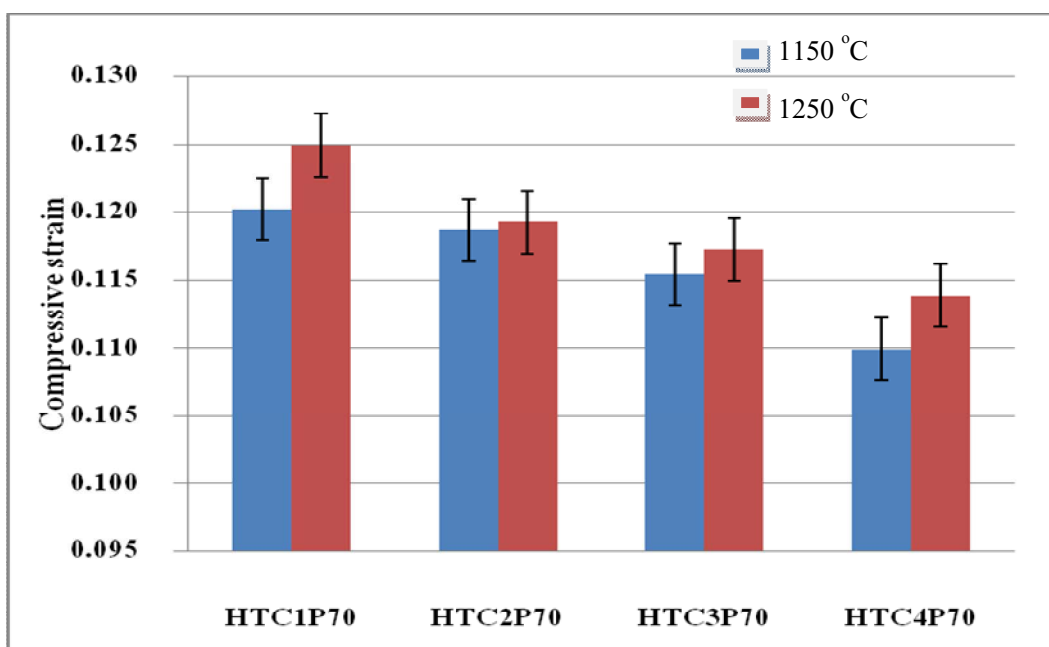
รูปที่ ॥.21 ค่า Young's Modulus (MPa) ของโครงเลี้ยงเซลล์ชั้นในเคลือบด้วยสารเคลือบพอลิเมอร์ที่มี PCL 50 %wt

ตารางที่ บ.๕ ค่าแรงอัด (compression test) ของโครงสร้างชั้นต่ำที่ได้รับการเผาต่อไปในอุณหภูมิ 70 % wt

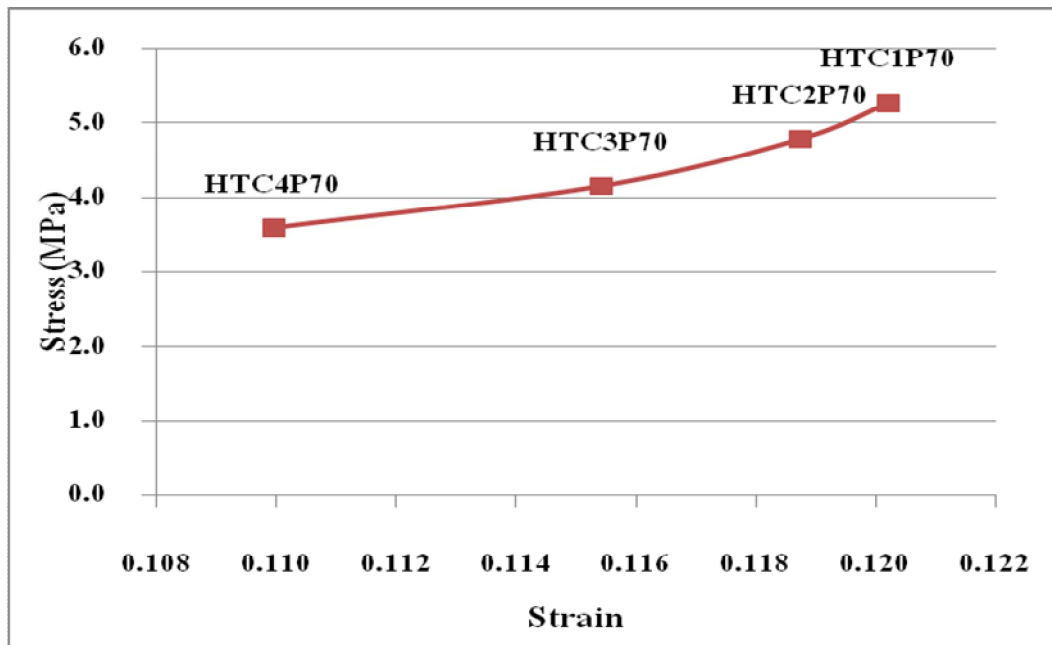
| ดูด | 1150 °C | | | | | 1250 °C | | | | |
|---------|---------|------------|-----------------|--------|---------|---------|------------|-----------------|--------|---------|
| | F(N) | ΔL (mm) | Stress (MPa) | strain | E (MPa) | F(N) | ΔL (mm) | Stress (MPa) | strain | E (MPa) |
| HTC1P70 | 83.23 | 1.90 | 5.30 | 0.12 | 44.60 | 110.72 | 2.07 | 7.05 | 0.129 | 54.57 |
| | 84.39 | 1.96 | 5.37 | 0.12 | 43.84 | 115.67 | 1.98 | 7.36 | 0.124 | 59.48 |
| | 80.62 | 1.91 | 5.13 | 0.12 | 42.98 | 118.60 | 1.95 | 7.55 | 0.122 | 61.93 |
| HTC2P70 | 72.53 | 1.90 | 4.62 | 0.12 | 38.87 | 110.77 | 1.93 | 7.05 | 0.120 | 58.59 |
| | 76.66 | 1.90 | 4.88 | 0.12 | 41.08 | 110.34 | 1.90 | 7.02 | 0.119 | 59.01 |
| | 76.23 | 1.90 | 4.85 | 0.12 | 40.87 | 111.47 | 1.90 | 7.09 | 0.118 | 59.89 |
| HTC3P70 | 66.56 | 1.89 | 4.24 | 0.12 | 35.86 | 81.78 | 1.88 | 5.20 | 0.118 | 44.19 |
| | 64.26 | 1.85 | 4.09 | 0.12 | 35.37 | 86.05 | 1.89 | 5.48 | 0.118 | 46.36 |
| | 64.87 | 1.80 | 4.13 | 0.11 | 36.70 | 91.28 | 1.85 | 5.81 | 0.116 | 50.12 |
| HTC4P70 | 56.17 | 1.81 | 3.57 | 0.11 | 31.68 | 84.43 | 1.78 | 5.37 | 0.112 | 48.19 |
| | 57.66 | 1.74 | 3.67 | 0.11 | 33.80 | 87.88 | 1.83 | 5.59 | 0.114 | 48.92 |
| | 55.19 | 1.74 | 3.51 | 0.11 | 32.39 | 85.50 | 1.85 | 5.44 | 0.116 | 46.98 |



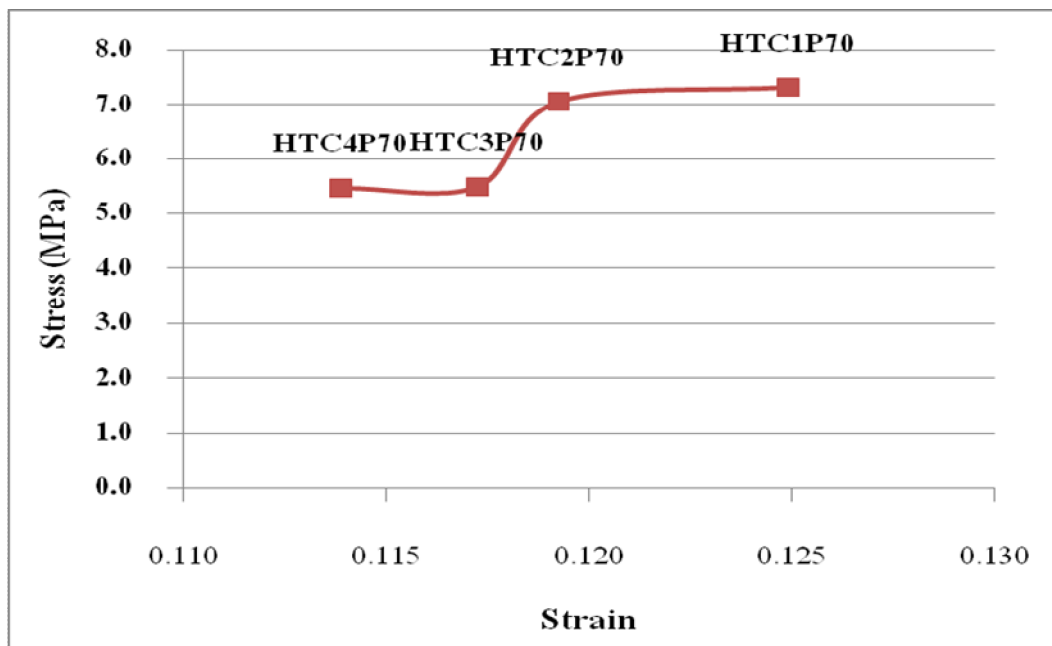
รูปที่ ข.22 ค่า Compressive Stress (MPa) ของโครงเลี้ยงเซลล์ที่เคลือบด้วยสารเคลือบพอลิเมอร์ที่มี PCL 70 %wt



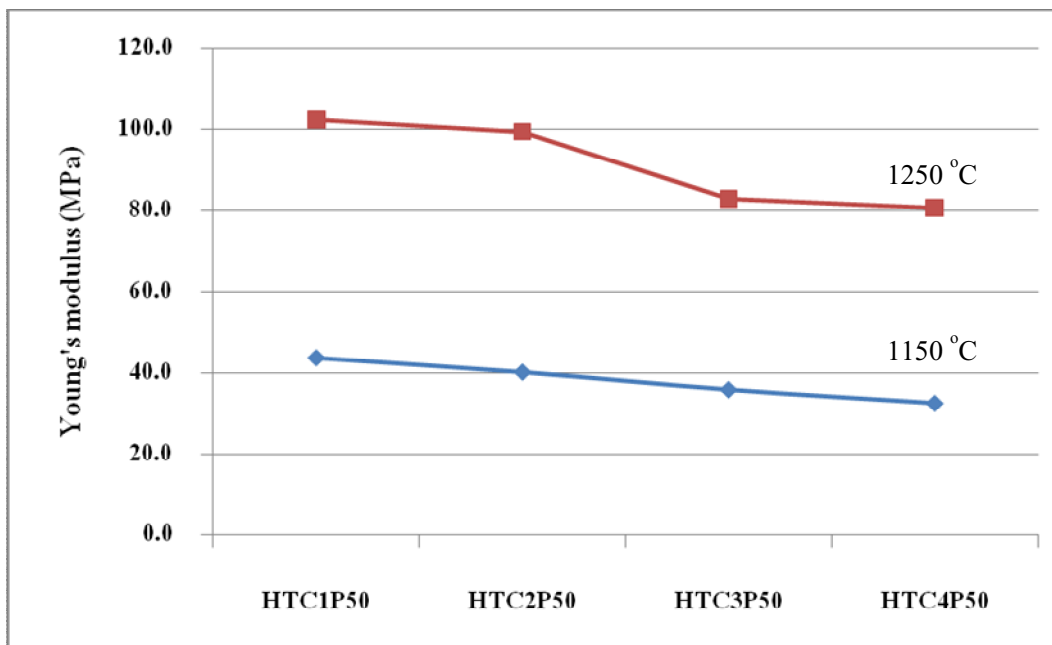
รูปที่ ข.23 ค่า Compressive Strain ของโครงเลี้ยงเซลล์ที่เคลือบด้วยสารเคลือบพอลิเมอร์ที่มี PCL 70 %wt



รูปที่ ๑.๒๔ ค่า Compressive Stress (MPa) และ Compressive Strain ของโครงเลี้ยงเซลล์ชั้นในชิ้นเทอริงที่ 1150 °C เคลือบด้วยสารเคลือบพอลิเมอร์ที่มี PCL 70 %wt



รูปที่ ๑.๒๕ ค่า Compressive Stress (MPa) และ Compressive Strain ของโครงเลี้ยงเซลล์ชั้นในชิ้นเทอริงที่ 1250 °C เคลือบด้วยสารเคลือบพอลิเมอร์ที่มี PCL 70 %wt



รูปที่ ข.26 ค่า Young's Modulus (MPa) ของโครงเลี้ยงเซลล์ชั้นในเคลือบด้วยสารเคลือบพอลิเมอร์ที่มี PCL 70 %wt

3. ผลการทดสอบนมสัมผัส

ตารางที่ ข.6 ค่านมสัมผัสของโครงเลี้ยงเซลล์ชั้นในเคลือบด้วยสารเคลือบพอลิเมอร์ที่มี PCL 30, 50 และ 70 %wt

| %PCL | Contact Angle (°) | | | Avg. Contact Angle (°) |
|------|-------------------|------|------|------------------------|
| | 1 | 2 | 3 | |
| 30 | 70.7 | 72.1 | 71.5 | 71.43 |
| 50 | 75.4 | 78.3 | 77.1 | 76.93 |
| 70 | 76.8 | 79.9 | 79.1 | 78.60 |

ประวัติผู้เขียน

| | | |
|---------------------------------------|--------------------------|---------------------|
| ชื่อ สกุล | นายสันธยา หนูเกื้อ | |
| รหัสประจำตัวนักศึกษา | 5210120098 | |
| วุฒิการศึกษา | | |
| วุฒิ | ชื่อสถาบัน | ปีที่สำเร็จการศึกษา |
| วิศวกรรมศาสตรบัณฑิต (วิศวกรรมเคมี) | มหาวิทยาลัยสงขลานครินทร์ | 2549 |

ทุนการศึกษา (ที่ได้รับในระหว่างการศึกษา)

ทุนสาขาวิชานวัตกรรมเคมี (Discipline of Excellence on Chemical Engineering, DOE) ภาควิชาวิศวกรรมเคมี คณะวิศวกรรมศาสตร์ มหาวิทยาลัยสงขลานครินทร์